

**Efnasamsetning, rennsli og aurburður  
straumvatna á Suðurlandi XVIII.  
Gagnagrunnur Jarðvísindastofnunar og Veðurstofunnar**

**RH-03-2015**

Eydís Salome Eiríksdóttir<sup>1</sup>, Svava Björk Þorláksdóttir<sup>2</sup>, Jórunn  
Harðardóttir<sup>2</sup> og Sigurður Reynir Gíslason<sup>1</sup>

<sup>1</sup>Jarðvísindastofnun Háskólans, Sturlugata 7, 101 Reykjavík.

<sup>2</sup>Veðurstofa Íslands, Bústaðavegi 7-9, 150 Reykjavík.



**Júní 2015**



## EFNISYFIRLIT

|  |    |
|--|----|
| 1. INNGANGUR   | 5  |
| 1.1 Tilgangur  | 5  |
| 1.2 Rannsóknin 1996-2014   | 6  |
| 2. AÐFERÐIR  | 7  |
| 2.1 Mælingar á rennsli   | 7  |
| 2.2 Söfnun og meðhöndlun sýna  | 7  |
| 2.3 Greiningar á uppleystum efnum og svifaur.  | 9  |
| 2.4 Reikningar á efnaframburði   | 11 |
| 3. NIÐURSTÖÐUR MÆLINGA   | 12 |
| 3.1 Um efnagreiningarnar.  | 12 |
| 3.2 Meðalstyrkur svifaurs og uppleystra efna í vatnsföllunum.                            | 15 |
| 3.3 Árlegur framburður vaktaðra vatnsfalla á Suðurlandi.                                 | 17 |
| 3.4 Niðurstöður úr einstökum vatnsföllum.  | 19 |
| 4. ÞAKKARORÐ   | 25 |
| HEIMILDIR  | 26 |
| <br>   |    |
| Tafla 1. Meðalefnasamsetning straumvatna á Suðurlandi 1998-2012.....                     | 32 |
| Tafla 2. Árlegur framburður straumvatna á Suðurlandi .....                               | 33 |
| Tafla 3a. Niðurstöður mælinga á Suðurlandi í tímaröð 2010-2012.....                      | 34 |
| Tafla 3b. Niðurstöður mælinga á Suðurlandi í tímaröð 2010-2012 .....                     | 37 |
| Tafla 4. Efnasamsetning, rennsli og aurburður Sogs við Þrastarlund 2008-2012 .....       | 35 |
| Tafla 5. Efnasamsetning, rennsli og aurburður Ölfusár við Selfoss 2008-2012.....         | 43 |
| Tafla 6. Efnasamsetning, rennsli og aurburður Þjórsár við Urriðafoss 2008-2012 .....     | 49 |
| Tafla 7. Efnasamsetning, rennsli og aurburður Tungnár í útfalli Hrauneyjafossv. ....     | 55 |
| Tafla 8. Næmi efnagreiningaraðferða og hlutfallsleg skekkja mælinga .....                | 58 |
| <br>   |    |
| Mynd 1. Staðsetning sýnatökustaða .....  | 4  |
| Mynd 3.1. Tímasearía: styrkur brennisteinssambanda .....                                 | 19 |
| Mynd 3.1 Hlutfallslegur styrkur brennisteinssambanda og samsætur brennisteins í Sogi ... | 20 |
| Mynd 2. Sporðöldulón og Búðarhálsvirkjun.....  | 23 |
| Mynd 4. Niðurstöður mælinga í Sogi við Þrastarlund í tímaröð 1998-2013 .....             | 38 |
| Mynd 5. Niðurstöður mælinga í Sogi við Þrastarlund í tímaröð 1998-2013 .....             | 39 |
| Mynd 6. Efnalyklar fyrir Sog við Þrastarlund 1998-2013.....                              | 40 |
| Mynd 7. Efnalyklar fyrir Sog við Þrastarlund 1998-2013.....                              | 41 |
| Mynd 8. Niðurstöður mælinga í Ölfusá við Selfoss í tímaröð 1996-2013 .....               | 44 |
| Mynd 9. Niðurstöður mælinga í Ölfusá við Selfoss í tímaröð 1996-2013 .....               | 45 |
| Mynd 10. Efnalyklar fyrir Ölfusá við Selfoss 1996-2013 .....                             | 46 |
| Mynd 11. Efnalyklar fyrir Ölfusá við Selfoss 1996-2013 .....                             | 47 |
| Mynd 12. Niðurstöður mælinga í Þjórsá við Urriðafoss í tímaröð 1996-2013.....            | 50 |
| Mynd 13. Niðurstöður mælinga í Þjórsá við Urriðafoss í tímaröð 1996-2013.....            | 51 |
| Mynd 14. Efnalyklar fyrir Þjórsá við Urriðafoss 1996-2013.....                           | 52 |
| Mynd 15. Efnalyklar fyrir Þjórsá við Urriðafoss 1996-2013.....                           | 53 |
| Mynd 15. Efnalyklar fyrir Þjórsá við Urriðafoss 1996-2013.....                           | 53 |
| Mynd 16. Niðurstöður mælinga á vatni við Búðarháls .....                                 | 53 |
| Mynd 17. Niðurstöður mælinga á vatni við Búðarháls .....                                 | 54 |



| VHM  | Nafn                  | Vatnasvið í km <sup>2</sup> | þar af á jökli (km <sup>2</sup> ) |
|------|-----------------------|-----------------------------|-----------------------------------|
| 30   | Þjórsá                | 7.378                       | 969                               |
| 64   | Ölfusá                | 5.676                       | 643                               |
| 66   | Hvítá                 | 1.668                       | 361                               |
| 70   | Skaftá í Skaftárdal   | 1.468                       | 494                               |
| 128  | Norðurá               | 507                         |                                   |
| 166  | Skaftá við Sveinstind | 714                         | 494                               |
| 271  | Sog                   | 1.092                       | 33,9                              |
| 328  | Eldvatn við Ása       | 1.714                       | 494                               |
| 330  | Eldvatn               | 134                         |                                   |
| 339  | Grenlækur             | 22,2                        |                                   |
| 401  | Útfall Langasjávar    | 83,5                        |                                   |
| 486  | Víðidalsá             | 396                         |                                   |
| 502  | Andakilsá             | 146                         |                                   |
| 1250 | Tungnaá, Botnaver     | 239                         | 156                               |

**30** C Sýnatökustaður

Vatnasvið

Vatnasvið á jökli

ThJ/MT/SMO - Júní 2007

Mynd 1. Vatnasvið og staðsetningar sýnatökustaða á Suðurlandi.

# 1. INNGANGUR

## 1.1 Tilgangur

Tilgangurinn með þeim rannsóknum sem hér er greint frá er að:

- skilgreina rennsli og styrk uppleystra og fastra efna í Sogi, Ölfusá og Þjórsá og hvernig þessir þættir breytast með árstíðum og rennsli. Þessi gögn gera m.a. kleift að reikna meðalefnasamsetningu úrkomu á vatnasviðunum, hraða efnahvarfarofs, hraða aflræns rofs lífræns og ólífræns efnis og upptöku koltvíoxíðs úr andrúmslofti vegna efnahvarfarofs.
- reikna árlegan framburð straumvatnanna á uppleystum og föstum efnum á rannsóknartímabilinu.
- skilgreina líkingar sem lýsa styrk uppleystra og fastra efna sem falli af rennsli, svokallaða efnalykla miðað við gögn frá 1996 til 2013 úr Ölfusá og Þjórsá og frá 1998 til 2013 úr Soginu.
- gera grein fyrir árstíðabundnum breytingum á styrk efna í straumvötnunum. Tímaraðir Sogs eru miðaðar við gögn frá 1998 – 2012 fyrir Sog en 1996 – 2012 fyrir Ölfusá og Þjórsá.

Sýni voru tekin fjórum sinnum árið 2014 á eftirfarandi stöðum: (1. mynd); Ölfusá við Selfoss, Sog við Þrastarlund, og Þjórsá við Urriðafoss. Einnig var safnað tveimur sýnum í útfallinu við Hrauneyjafossvirkjun. Verkefnið er kostað af Landsvirkjun og Umhverfisráðuneytinu (AMSUM). Rannsóknin er framhald rannsókna sem gerðar voru á Suðurlandi 1996 til 2011 (Davíð Egilsson o.fl. 1999; Sigurður R. Gíslason o.fl. 1997, 1998, 2000, 2001, 2002a; 2003; 2004; 2005; 2006; 2007; Eydís Salome Eiríksdóttir o.fl. 1999; 2008; 2009; 2010a; 2011a, 2012a, 2013). Rannsóknin hefur víðtækt vísindalegt gildi, ekki síst vegna þess hve margir þættir eru athugaðir samtímis og hve löng samfella hefur verið á söfnun úr vatnsföllunum.

Að ósk Landsvirkjunar var fjórum sýnum safnað úr útfalli Hrauneyjafossvirkjunar árið 2012 - 2013. Framkvæmdir við Búðarhálsvirkjun hafa staðið yfir undanfarin misseri og í tengslum við þær er orðið til nýtt lón, Sporðöldulón (myndir 2 og 3). Gerð er grein fyrir þessum sýnum í töflu og myndum þar sem við á.

Þessi áfangaskýrsla er fyrst og fremst ætluð til þess að gera grein fyrir aðferðum og niðurstöðum mælinga rannsóknartímabilsins. Í lok sýrslunnar er viðauki þar sem

gerð er grein fyrir árstíðabundnum breytingum í efnastyrk í Sogi við Þrastarlund, Hvítá við Brúarhlöð, Ölfusá við Selfoss og Þjórsá við Urriðafoss.

## 1.2 Rannsóknin 1996-2014

Í október 1996 hófu Raunvísindastofnun, Orkustofnun og Hafrannsóknastofnun vöktun á styrk uppleystra og fastra efna í nokkrum straumvötnum á Suðurlandi. Umhverfisráðuneytið (AMSUM) kostaði rannsóknina. Rannsóknunum á Suðurlandi svipar til rannsóknar sem gerð var á árunum 1972-1973 á Suðurlandi (Halldór Ármannsson o.fl. 1973, Sigurjón Rist 1974). Sýni voru tekin úr Ölfusá af brú á Selfossi, Þjórsá af brú á Þjóðvegi 1, Ytri-Rangá ofan við Árbæjarfoss, Þjórsá af brú við Sandafell, Hvítá af brú við Brúarhlöð, Tungufljót af brú við Faxe og Brúará af brú við Efstadal. Sog við Þrastarlund bættist við í apríl 1998 og kostaði Landsvirkjun þann hluta rannsóknarinnar. Sýnum var safnað mánaðarlega í 24 mánuði. Þessum þætti vöktunar lauk í október 1998. Á því tímabili voru 7 sýni tekin úr Soginu og 24 sýni úr hinum vatnsföllunum sem vöktuð voru.

Í desember 1998 hófst annar áfangi vöktunar Raunvísindastofnunar og Orkustofnunar á styrk uppleystra og fastra efna Ölfusár við Selfoss, Sogs við Þrastarlund, Hvítár við Brúarhlöð og Þjórsár við Urriðafoss. Nokkur óvissa var um verkið á fyrri hluta tímabilsins en Landsvirkjun kostaði rannsókn Sogs við Þrastarlund og Þjórsár við Urriðafoss. Raunvísindastofnun og Orkustofnun báru annan kostnað af verkinu. Landsvirkjun og Umhverfisráðuneytið (AMSUM) kostuðu rannsóknina frá 2001 til 2002 og var tuttugu sýnum safnað úr hverju ofangreindra straumvatna frá 18. desember 1998 til 31. janúar 2002.

Þriðji og yfirstandandi áfangi vöktunar á Suðurlandi hófst í apríl 2002 með vöktun í Ölfusá, Sogi og Þjórsá, en vöktun Hvítár við Brúarhlöð var hætt. Straumvatnanna var vitjað fimm sinnum á ári til 3. apríl 2003 þegar tíðni sýnatöku var lækkuð enn frekar, í fjögur skipti á ári.

Vöktunin miðar að því að skilgreina styrk lífræns og ólífræns svifaus og uppleystra aðal- og snefilefna í vatnsföllunum, ásamt því að vakta rennsli þeirra til að hægt sé að meta framburð efnanna sem berast með vatnföllunum um sýnatökusniðið. Þannig er hægt að leggja mat á þau efni sem berast með vatnsföllum til sjávar. Frekari lýsing á vöktuninni má sjá í fyrri skýrslum (t.d. Eydís Salome Eiríksdóttir o.fl. 2014)

## 2. AÐFERÐIR

### 2.1 Mælingar á rennsli

Aurburðar- og efnasýni voru tekin nærri síritandi vatnshæðarmælum í rekstri Veðurstofu Íslands. Vatnshæðarmælarnir eru reknar samkvæmt samningi fyrir hvern stað. Rennsli fyrir hvert sýni var reiknað út frá rennslislykli, sem segir fyrir um vensl vatnshæðar og rennslis. Á veturnum kunna að vera tímabil þar sem vatnshæð er trufluð vegna íss í farvegi. Þá er rennsli við sýnatöku áætlað út frá samanburði við lofthita og úrkomu á hverjum tíma og rennsli nálægra vatnsfalla.

Öll sýni, sem hér eru til umfjöllunar, voru tekin nærri síritandi vatnshæðarmælum og rennslið gefið upp sem augnabliksgildi þegar sýnataka fór fram. Augnabliksrennsli er gefið í töflum yfir tímaraðir fyrir einstök vatnsföll og meðaltal augnabliksrennslis þegar sýnum er safnað er birt í töflu 1. Augnabliksrennsli getur verið töluvert frábrugðið dagsmeðalrennsli. Langtímameðalrennsli sem notað er til reikninga á framburði Ölfusár og Þjórsár er frá vatnsárunum 1996 til 2014 og 1998 – 2014 í Sogi.

### 2.2 Söfnun og meðhöndlun sýna

Sýni til efnarannsóknna voru tekin af brú úr meginál ána með plastfötu og hellt í 5 l brúsa. Áður höfðu fatan og brúsinn verið þvegin vandlega með árvatninu. Hitastig árvatsins var mælt með „thermistor“ hitamæli og var hitaneminn látinn síga ofan af brú niður í meginál ána. Vatnssýni úr Þjórsá við Urriðafoss voru tekin af gömlu brú frá október 1996 til apríl 2003 en þá var fyrsta vatnssýnið tekið af bakka neðan við gömlu brú. Sýnatöku af gömlu Þjórsárbrú var hætt vegna slyshættu.

Svifaurssýni voru tekin á Suðurlandi með tvenns konar sýnatökum. Í Þjórsá við Urriðafoss voru sýnin tekin með handsýnataka (DH48) sem festur var á stöng, og sýnið tekið ýmist af eystri eða vestari bakka undir brúnni við Þjóðveg 1. Vitað er að sýnatakinn nær ekki út í meginál árinna þar sem aurstyrkur er mestur og því vanmeta þessi sýni heildaraurstyrk árinna (t.d. Jórunn Harðardóttir og Svava Björk Þorlákssdóttir, 2002; 2005; Esther Hlíðar Jenssen o.fl. 2013). Aurburðarsýnin, sem tekin voru úr Sogi og Ölfusá voru tekin með aurburðarfiski (S49) á spili úr mesta streng ána, en hann safnar heilduðu sýni frá vatnsborði að botni og að vatnsborði á nýjan leik.

Svifaurssýni til mælinga á lífrænum svifaur (POC) var tekið með sama hætti og fyrir ólífrænan aurburð. Það var ávallt tekið eftir að búið var að taka sýni fyrir ólífrænan aurburð til að minnka líkur á mengun. Sýninu var safnað í aurburðarflöskur sem höfðu verið þvegnar í 4 klst. í 1 N HCl sýru fyrir sýnatöku. Flöskurnar voru merktar að utan, en ekki með pappírsmarki inni í flöskuhálsinum eins og tíðkast fyrir ólífrænan svifaur.

Vatnssýni til rannsókna á uppleystum efnum voru meðhöndluð strax á sýnatökustað. Vatnið var síað í gegnum 142 mm sellulósa asetat-síu með 0,2 µm porustærð. Peristaltik dæla með sílikon slöngum var notuð til að dæla sýninu í gegnum Sartorius® („in line pressure filter holder, SM16540“) teflon síuhaldara. Búnaðurinn var lofttæmdur og þveginnt með a.m.k. einum lítra af árvatni áður en söfnun sýnis hófst. Sýnaflöskurnar voru allar þvegnar þrisvar sinnum með síuðu árvatni áður en sýninu var safnað.

Öll sýni til mælinga á uppleystum efnum voru síuð og var sýnasöfnunin framkvæmd á eftirfarandi hátt:

1. Sýnum til mælinga á reikulum efnum (pH, leiðni og basavirkni) var safnað í tvær dökkar glerflöskur, 275 ml og 60 ml.
2. Sýnum til mælinga á brennisteinssamsætum var safnað í 1000 ml HDPE flösku.
3. Sýnum til mælinga á anjónum var safnað í 200 ml HDPE plastflösku.
4. Sýnum til mælinga á katjónum og snefilefnum var safnað í tvær 125 ml HDPE sýruþvegnar flöskur. Þessar flöskur voru sýruþvegnar af rannsóknaraðilanum ALS Scandinavia, sem annaðist greiningar á þessum efnum. Að síun lokinni var einum millilíter af fullsterkri hreinsaðri saltpéturssýru bætt út í sýnin.
5. Sýnum til mælinga á næringarsöltunum NO<sub>3</sub>, NO<sub>2</sub>, NH<sub>4</sub>, PO<sub>4</sub> var safnað á fjórar sýruþvegnar 20 ml HDPE flöskur. Sýnin voru geymd í kæli á meðan leiðangri stóð og fryst í lok hvers leiðangurs.
6. Sýnum til mælinga heildarmagni köfnunarefnis (N-total) var safnað í sýruþvegna 100 ml flösku. Sýnin voru geymd í kæli á meðan leiðangri stóð og fryst í lok hvers leiðangurs.
7. Sýnum til mælinga á uppleystu lífrænu kolefni (DOC) var síað í 30 ml sýruþvegna polycarbonate flösku. Flöskurnar voru sýruþvegnar í a.m.k. 4 klst fyrir söfnun. Þessi sýni voru sýrð með 0,4 ml af 1,2 N HCl og geymd í kæli þar til þau voru send til Svíþjóðar þar sem þau voru greind.

## 2.3 Greiningar á uppleystum efnum og svifaur.

Efnagreiningar voru gerðar á Jarðvísindastofnun, ALS Scandinavia í Luleå í Svíþjóð, Umeå Marine Sciences Center, í Umeå í Svíþjóð og við Stokkhólmsháskóla. Magngreining á svifaur var framkvæmd á Veðurstofu Íslands.

### 2.3.1 Mælingar á styrk uppleystra efna.

Basavirkni („alkalinity“), leiðni og pH var mælt með titrun, rafskauti og leiðnimæli á Jarðvísindastofnun að loknum sýnatökuleiðangri. Endapunktur titrunar var ákvarðaður með Gran-falli (Stumm og Morgan, 1996).

Aðalefni og snefilefni voru mæld af ALS Scandinavia með ICP-AES (Inductively coupled plasma with atomic emission spectroscopy), ICP-MS (Inductively Coupled Plasma with Mass Spectrometry ) og AF (Atomic Fluorescence). Kalíum (K) var greint með ICP-AES en styrkur þess var stundum undir greiningarmörkum á ICP-AES og voru þau sýni mæld með litgleypnimælingu (AA) á Íslenskum orkurannsóknnum til ársins 2008 en eftir það, á katjónaskilju Jarðvísindastofnunar.

Styrkur flúors, klórs og súlfats var mældur með anjónaskilju á Jarðvísindastofnun á rannsóknartímabilinu. Alþjóðlegu staðlarnir BIGMOOSE-02 og MAURI 09 hafa verið notaður til kvörðunar á greiningunum síðan árið 2011.

Næringarsöltin  $\text{NO}_3$ ,  $\text{NO}_2$ ,  $\text{NH}_4$  og heildarmagn af uppleystu lífrænu og ólífrænu nitri,  $\text{N}_{\text{total}}$ , voru upphaflega greind með sjálfvirkum litrófsmæli Jarðvísindastofnunar („autoanalyzer“). Frá 2007 – 2012 var styrkur  $\text{PO}_4$  greindur með jónaskilju og frá 2009 til 2012 var styrkur  $\text{NO}_3$  einnig greindur með jónaskilju. Árið 2013 var aftur farið að nota autoanalyser til greininga þessara efna eftir yfirhalningu á litrófsmælinum, þar sem þær mælingar eru næmari. Sýni til mælinga á heildastyrk köfnunarefnis ( $\text{N}_{\text{total}}$ ) voru geisluð í kísilstautum í útfjólubláu ljósi á Jarðvísindastofnun til að brjóta niður lífrænt efni. Fyrir geislun voru settir 10  $\mu\text{l}$  af fullsterku vetnisperoxíði og 1 ml af 1000 ppm bórsýrubuffer (pH 9) í 11 millilítra af sýni. Þessi sýni voru greind innan tveggja daga eftir geislun. Nauðsynlegt er að stilla pH sýnanna við 8,5 – 9 því að við geislun klofnar vatn og peroxíð niður í  $\text{H}^+$  jónir, sem veldur sýringu sýnisins, og OH radikala, sem hvarfast við lífrænt efni í sýninu og brýtur það niður (Koroleff, 1983; Roig et al., 1999). Oxun efna er mjög háð pH í umhverfinu og hún gengur auðveldar

fyrir sig við hátt pH en lágt (Koroleff, 1983; Roig et al., 1999). Sýnin voru leiðrétt fyrir N sem bættist við með bórsýrubuffernum.

Sýnum til mælinga á brennisteinssamsætum hefur verið safnað en þau hafa ekki verið greind síðan 2009.

Heildarmagn uppleysts kolefnis (DOC) var mælt greind hjá Umeå Marine Sciences Center í Umeå í Svíþjóð. Notaður var Shimadzu TOC-5000 kolefnisgreinir sem staðlaður var með kalium hydrogen phtalate. Fram til ársins 2012 var heildarmagn lífræns svifaur (POC og PON) einnig greint þar. POC og PON sýni frá 2013 hafa ekki verið greind enn sem komið er.

### 2.3.2 Magngreining á svifaur.

Magn svifaur og heildarmagn uppleystra efna ( $TDS_{mælt}$ ) var mælt á Veðurstofu Íslands samkvæmt staðlaðri aðferð (Svanur Pálsson og Guðmundur Vigfússon, 2000).

Sýni til mælinga á lífrænum aurburði (POC, Particle Organic Carbon og PON, Particle Organic Nitrogen) sem safnað var í sýrupvegnar aurburðarflöskur, voru síuð í gegnum glersíur með  $0,7\mu m$  porustærð. Glersíurnar og álpappír sem notaður var til þess að geyma síurnar í voru „brennd“ við  $450\text{ }^{\circ}C$  í 4 klukkustundir fyrir síun. Síuhaldarar sem notaðar voru við síunina voru þvegnar í 4 klukkustundir í 1 N HCl. Allt vatn og svifaur sem var í aurburðarflöskunum var síað í gegnum glersíurnar og magn vatns og aurburðar mælt með því að vigta flöskurnar fyrir og eftir síun. Síurnar voru þurrkaðar í álumslögum við um  $50\text{ }^{\circ}C$  í einn sólarhring áður en þær voru sendar til Umeå Marine Sciences Center í Svíþjóð þar sem þær voru greindar til ársins 2012.

## 2.4 Reikningar á efnaframburði

Árlegur framburður straumvatna,  $F$ , er reiknaður með eftirfarandi jöfnu eins og ráðlagt er í viðauka 2 við Óslóar- og Parísarsamþykktina (Oslo and Paris Commissions, 1995: Implementation of the Joint Assessment and Monitoring Programme, Appendix 2, Principles of the Comprehensive Study on Riverine Inputs, bls. 22-27) en þar er notast við rennslisvegin meðalstyrk efna og langtíma meðalrennsli hvers vatnsfalls:

$$F = \frac{Q_r \cdot \sum_{i=1}^n (C_i Q_i)}{\sum_{i=1}^n Q_i} \quad (1)$$

þar sem  $C_i$  er styrkur aurburðar eða uppleystra efna fyrir sýnið  $i$  (mg/kg),  $Q_i$  er rennsli straumvatns þegar sýnið  $i$  var tekið ( $\text{m}^3/\text{sek}$ ),  $Q_r$  er langtímameðalrennsli fyrir vatnsföllin ( $\text{m}^3/\text{sek}$ ),  $n$  er fjöldi sýna sem safnað var á tímabilinu.

### 3. NIÐURSTÖÐUR MÆLINGA

Hér verður gerð grein fyrir niðurstöðum mælinga á vatni úr Sogi við Prastarlund, Ölfusá við Selfoss og Þjórsá við Þjóðveg 1, á árabílinu 2010 – 2014 og úr inntaksvatni (Tungná) og útfalli Búðarhálsvirkjunar frá 2012 – 2014.

Í töflu 1 er meðalstyrkur uppleystra efna í vatnsföllunum gefin upp. Í töflu 2 er gert grein fyrir reikningum á árframburði á svifaur og uppleystum efnum. Niðurstöður mælinga frá árunum 2013 og 2014 í tímaröð er í töflum 3a og 3b. Niðurstöður frá árunum 2010 - 2014 hvers vatnsfall eru gefnar í töflum 4 – 6. Í töflu 7 má sjá niðurstöður mælinga á sýnum sem safnað hefur verið í útfalli Hrauneyjafossvirkjunar og í inntaki og útfalli Búðarhálsvirkjunar. Að lokum eru næmi og samkvæmni mælinga gefin í Töflu 8. Eldri gögn er að finna í forverum þessarar skýrslu (Sigurður Reynir Gíslason o.fl. 1997; 1998; 2000; 2001; 2002a; 2003; 2004; 2005; 2006; 2007; Eydís Salome Eiríksdóttir o.fl. 2008; 2009; 2010a; 2011a; 2012,2013,2014).

#### 3.1 Um efnagreiningarnar.

Í þessum kafla er fjallað almennt um mælingar á uppleystum efnum og vandkvæðum á mælingum ef einhverjar eru. Mælieiningar eru útskýrðar og breytingar á þeim.

Styrkur uppleystra aðalefna er gefinn í millimólum í lítra vatns (mmól/l), styrkur næringarefna og snefilefna sem míkromól ( $\mu\text{mól/l}$ ) eða nanómól í lítra vatns (nmól/l). Basavirkni eða „alkalinity“ (skammstöfuð Alk í töflum 1, 3, - 7), er gefin upp sem „milliequivalent“ í kílógrammi vatns, sem jafngildir efnahleðslu. Meðalstyrkur svifaurs í árvatninu er gefinn í milligrömmum í lítra (mg/l). Til að breyta mólum í grömm þarf að margfalda með mólmassa efnanna sem um er að ræða.

Leiðni og pH vatns er hitastigsháð, þess vegna er getið um hitastig vatnsins þegar leiðni og pH voru mæld á rannsóknarstofu,  $T_{\text{ref}}$  (Töflur 3 – 7).

Basavirkni (Alkalinity, skammstafað Alk í töflum í skýrslunni) í vatni ræðst að mestu leyti á magni uppleysts ólífræns kolefnis, og er óbein mælinga á því hve mikil efnaskipti hafa orðið á milli vatns og bergs. Basavirkni er einnig mælikvarði á það

hve mikla sýringu þarf til að brjóta niður „búffer“ eiginleika vatnsins. Kolefni í andrúmslofti leysist upp í yfirborðsvatni og myndar anjónina bíkarbonat ( $\text{HCO}_3^-$ ) sem er sú anjón sem er í mestum styrk í fersku yfirborðsvatni. Bíkarbonat er veik sýra sem hvarfast við berggrunninn og leysir út þær jónir sem eru leysanlegastar á hverjum tíma. Þær jónir fara í upplausn í vatnið og berast með því af veðrunarstaðnum. Bíkarbonat er sú anjón sem er í mestum styrk í fersku yfirborðsvatni og er yfirleitt reiknuð út frá basavirkni eins og útskýrt er hér að neðan.

Heildarmagn uppleysts ólífræns kolefnis (Dissolved Inorganic Carbon, DIC) er gefið sem millimól C í hverju kíló vatns í Töflum 1, 3 - 7. Reiknað er samkvæmt eftirfarandi jöfnu út frá mælingum á pH, hitastigi sem pH-mælingin var gerð við, basavirkni og styrk kísils. Gert er ráð fyrir að virkni („activity“) og efnastyrkur („concentration“) sé eitt og hið sama.

$$\text{DIC} = 1000 * \frac{\left( \text{Alk} - \frac{K_w}{10^{-\text{pH}}} - \frac{\text{Si}_T}{\left( \frac{10^{-\text{pH}}}{K_{\text{Si}}} + 1 \right)} \right)}{\left( \left( \frac{10^{-\text{pH}}}{K_1} + 1 + \frac{K_1}{10^{-\text{pH}}} \right) + 2 \left( \frac{(10^{-\text{pH}})^2}{K_1 K_2} + \frac{10^{-\text{pH}}}{K_2} + 1 \right) \right)} \quad (2)$$

$K_1$  er hitastigsháður kleyfnistuðull kolsýru (Plummer og Busenberg 1982),  $K_2$  er hitastigsháður kleyfnistuðull bíkarbonats (Plummer og Busenberg 1982),  $K_{\text{Si}}$  er hitastigsháður kleyfnistuðull kísilsýru (Stefán Arnórsson og Hörður Svavarsson, 1982),  $K_w$  er hitastigsháður kleyfnistuðull vatns (Sweeton o.fl. 1974) og  $\text{Si}_T$  er mældur styrkur Si (Töflur 1, 3 - 7). Allar styrktölur eru í mólum á lítra nema „alkalinity“ sem er í „equivalentum“ á lítra. Þessi jafna gildir svo lengi sem pH vatnsins er lægra en 9 og heildarstyrkur uppleystra efna (TDS) er minni en u.þ.b. 100 mg/l. Við herra pH þarf að taka tillit til fleiri efnasambanda við reikningana og við mikinn heildarstyrk þarf að nota virknistuðla til að leiðrétta fyrir mismun á virkni og efnastyrk.

Heildarmagn uppleystra efna (TDS: „total dissolved solids“) er samanlagður styrkur uppleystra aðalefna í milligrömmum í lítra vatns (mg/l) reiknaður á eftirfarandi hátt;

$$\text{TDS}_{\text{reiknað}} = \text{Na} + \text{K} + \text{Ca} + \text{Mg} + \text{SiO}_2 + \text{Cl} + \text{SO}_4 + \text{CO}_3 \quad (3)$$

Heildarmagn uppleysts ólífræns kolefnis sem gefið er í millimólum DIC í hverjum lítra vatns í Töflum 1, 3, 4 - 7 er umreiknað í mg/l af karbónati ( $\text{CO}_3$ ) í jöfnu 3. Ástæðan fyrir þessu er að þegar heildarmagn uppleystra efna er mælt eftir síun í gegnum 0,45  $\mu\text{m}$  porur með því að láta ákveðið magn sýnis gufa upp breytist

uppleyst ólífrænt kolefni að mestu í karbónat áður en það fellur út sem kalsít ( $\text{CaCO}_3$ ) og loks sem tróna ( $\text{Na}_2\text{CO}_3\text{NaHCO}_3$ ). Áður en að útfellingu trónu kemur tapast yfirleitt töluvert af  $\text{CO}_2$  úr vatninu til andrúmslofts (Eugster 1970, Jones o.fl., 1977 og Hardy og Eugster, 1970). Vegna þess að  $\text{CO}_2$  tapast til andrúmslofts er  $\text{TDS}_{\text{mælt}}$  yfirleitt alltaf minna en  $\text{TDS}_{\text{reikn}}$  í efnagreiningartöflunum.

Kísill ( $\text{SiO}_2$ ) var endurmældur í sýnum frá 2007 til 2012. Það vöknudu grunsemdir um að kísilstyrkurinn gæti verið of hár í sumum tilfellum og því var farið í þessar endurmælingar. Styrkur kísils í þessum endurmældu sýnum var alltaf lægri en áður hafði verið mælt og nam munurinn frá 2 – 14%. Mestur var munurinn á sýnum frá 2005 – 2006 og 2009 – 2010. Árið 2005 – 2006 var tekið í notkun nýr massagreininir hjá ALS, sem sér um efnagreiningarnar á þessum sýnum, sem virðist hafa gefið of há gildi fyrir kísil. Þrátt fyrir það var þessu ekki veitt eftirtekt innan ALS þar sem gæðastaðallinn sem notaður er hjá ALS var alltaf innan við þau 10% sem þeir gefa sér. Nú hefur verið skipt um tæki og eftir það hefur styrkur kísils í gæðastaðlinum lækkað aftur, til samræmis sem hann var áður.

Á rannsóknartímabilinu 1998-2014 var styrkur brennisteins mældur með tveimur aðferðum í straumvötnum á Suðurlandi. Styrkur brennisteins var mældur annars vegar með ICP-AES og hins vegar með jónaskilju. ICP-AES mælir heildarstyrk brennisteins en jónaskiljan mælir algengasta efnasamband brennisteins í köldu súrefnisríku vatni, sulfat ( $\text{SO}_4$ ). Mælingum ber vel saman (Töflur 1, 3 - 7), sem gefur til kynna að önnur efnasambönd en  $\text{SO}_4$  eru í lágum styrk í vatninu. Þó var frávik á þessu í Sogi frá 2005 til 2010 þegar heildarstyrkur brennisteins var allt að 24% hærri en  $\text{SO}_4$  (mynd 5). Í Töflu 2 er framburður brennisteins reiknaður miðað við báðar aðferðir og eru niðurstöðurnar sambærilegar.

Hægt er að leggja mat á gæði mælinga á aðalefnum eða hvort mælingar vanti á aðalefnum eða ráðandi efnasamböndum með því að skoða hleðslujafnvægi í lausn (Töflur 3-6). Ef öll höfuðefni og ríkjandi efnasambönd eru greind og styrkur þeirra er réttur er styrkur neikvætt hlaðinna efnasambanda og jákvætt hlaðinna efnasambanda jafn. Hleðslujafnvægið (katjónir – anjónir) og hlutfallsleg skekkja er reiknað með eftirfarandi jöfnu:

o

$$\text{Hleðslujafnvægi} = (Na + K + 2 * Ca + 2 * Mg) - (Alk + Cl + 2 * SO4 + F) \quad (4)$$

$$\text{Mismunur (\%)} = \frac{\text{Hleðslujafnvægi}}{(\text{k atjónir} + \text{anjónir})} * 100 \quad (5)$$

Niðurstöður þessara reikninga eru sýndar í Töflu 3 og Töflum 4 til 7. Mismunurinn er lítil, að meðaltali um 1,8%, sem verður að teljast gott þar sem skekkja milli einstakra mælinga er oft yfir 3%.

Næmi efnagreiningaraðferða er sýnd í Töflu 8. Þegar styrkur efna mælist minni en næmi efnagreiningaraðferðarinnar er hann skráður sem minni en (<) tölugildið. Öll sýni eru tvímæld á Jarðvísindastofnun. Meðalsamkvæmni milli mælinga er gefin í Töflu 8 sem hlutfallsleg skekkja milli mælinganna. Hún er breytileg milli mælinga og eftir styrk efnanna. Hún er hlutfallslega meiri fyrir lágan efnastyrk en háan. Styrkur næringarsalta er oft við greiningarmörk efnagreiningaraðferðanna. Af þessum sökum er skekkja mjög breytileg eftir styrk efnanna. Næmi og skekkja fyrir heildarmagn lífræns og ólífræns niturs, og  $N_{\text{total}}$ , er lakari en fyrir aðrar næringasaltgreiningar (Tafla 8). Þetta stafar af meðhöndlun sýna og geislun í útfjólubláu ljósi fyrir efnagreiningu. Þegar styrkur efna er undir greiningarmörkum aðferðarinnar er tölugildi greiningarmarkanna tekið með í meðaltal- og framburðareikninga, niðurstaðan er þá gefin upp sem minna en (<) tölugildi meðaltalsins.

### 3.2 Meðalstyrkur svifaurs og uppleystra efna í vatnsföllum.

Vatnssýnum hefur verið safnað í Sogi við Þrastarlund (frá 1998), Ölfusá við Selfoss og Þjórsá við Urriðafoss (frá 1996). Einnig hafa verið tekin nokkur sýni úr Tungná við Hrauneyjafossvirkjun (2012 – 2014) og í innflæði og útrennsli Búðarhálsvirkjunar (2013 – 2014). Meðaltal mældra þátta, fyrir tímabilið 1998 til 2013 er sýnt í Töflu 1. Niðurstöður allra mælinga eru notaðar í meðaltalsreikningna utan einstakra útlaga sem hafa verið teknir út. Fjöldi sýna í reikningunum eru eftirfarandi: Sog,  $n = 83$ ; Ölfusá,  $n = 108$ ; Þjórsá,  $n = 108$ .

Sogið er lindá með stöðugt rennsli og styrkur uppleystra efna er mjög stöðugur yfir árið (myndir 4 – 5). Það hefur áhrif á styrk efna í Ölfusá sem er einnig tiltölulega svipaður yfir árið (8 – 9). Styrkur uppleystra efna í þessum vatnsföllum vísar því lítið frá meðalstyrk. Hins vegar er styrkur uppleystra efna í Þjórsá mun breytilegri yfir árið (myndir 12 – 13) og vísar því meira frá meðalstyrk.

Meðalstyrkur flestra uppleystra aðalefna var yfirleitt hæstur í Þjórsá; Na, Ca, Mg og  $\text{CO}_3$  var um 20% hærri í Þjórsá en í Ölfusá og Sogi og meðalstyrkur  $\text{SO}_4$  og F var ríflega tvöfalt hærri. Meðalstyrkur  $\text{SiO}_2$  var hæstur í Ölfusá og meðalstyrkur Cl var hæstur í Sogi. Tungná, sem er á vatnasviði Þjórsár, rennur um jarðhitasvæði á Torfajökulssvæðinu og litast öll efnafræði Tungnár af því og þar með Þjórsár, en jarðhitavatn er sérstaklega ríkt af brennisteini. Styrkur F breytist landfræðilega og er hæstur næst gosbeltunum (Sigríður Magnea Óskarsdóttir og Sigurður Reynir Gíslason, 2011).

Meðalstyrkur næringarefnisins  $\text{PO}_4$  og P-total var um tvöfalt hærri í Þjórsá en í Sogi og Ölfusá en önnur næringarefni voru hæst í Ölfusá. Styrkur  $\text{NO}_3$  var lægstur í Sogi en hann var aðeins um þriðjungur styrksins í Ölfusá og Þjórsá.  $\text{NO}_3$  er takmarkandi fyrir frumframleiðendur í Þingvallavatni og er nýtt til hins ítrasta af ljóstillífangi lífverum í Þingvallavatni (Eydís Salome Eiríksdóttir o.fl. 2014b).

Meðalstyrkur snefilefna var yfirleitt hæstur í Ölfusá nema meðalstyrkur B og Mo sem var hæstur í Þjórsá og meðalstyrkur Cr og As sem var hæstur í Sogi. Efnin B og Mo eiga uppruna sinn í bergi og hár styrkur þeirra í Þjórsá kemur því líklega til vegna jarðhitaáhrifa sem gætir á því vatnasviði. Háan styrk Cr í Sogi má rekja til mikils styrks Cr í Silfru sem er ein aðalvatnsæð Þingvallavatns (Eydís Salome Eiríksdóttir o.fl. 2014b). Það vatn er ættað frá Langjökli. Styrkur Cr er einnig hár í Hvítá í Borgarfirði sem er að stórum hluta ættaður frá Langjökulssvæðinu (Eydís Salome Eiríksdóttir o.fl., 2011c). Má því leiða að því líkur að þar sé Cr ríkt berg í snertingu við vatnið sem rennur síðan fram í þessum tveimur vatnsföllum. Meðalstyrkur As í Sogi er lítillega hærra en í hinum vatnsföllunum en As er m.a. upprunnið í jarðhitagufum.

Ekki er ljóst hvaðan hlutfallslega hár styrkur snefilefna í Ölfusá, miðað við hin vatnsföllin, kemur. Meðastyrkurinn er hærri en í Sogi og Hvítá við Brúarhlöð (Sigurður Reynir Gíslason o.fl. 2003) og er því ljóst að viðbótin kemur eftir að Hvítá rennur um Brúarhlöð og áður en vatnið rennur um sýnatökurstaðinn á brúnni yfir Ölfusá á Selfossi. Á þessu svæði rennur Hvítá um mikil votlendi sem gæti allt eins skýrt þessa hækkun, en mýrarvatn er oft ríkt af lífrænum sýrum og uppleystum málum. Lífrænt kolefni (DOC) er óbein mæling á lífrænum sýrum en styrkur þess er hæstur í Ölfusá.

Ólífrænn svifaur var í mestum styrk í Þjórsá, þá í Ölfusá og minnstur var styrkurinn í Sogi. Lífrænn svifaur (POC) var lítil miðað við þann ólífræna en hluti hans var mestur í Sogi, eða 2,22% af heildarstyrk aurburðar. Meðalstyrkur á uppleystu lífrænu kolefni (DOC) var hæstur í Ölfusá, 0,035 mmól/l (0,42 mg/l C).

### 3.3 Árlegur framburður vaktaðra vatnsfalla á Suðurlandi.

Árlegur framburður straumvatnanna er reiknaður með jöfnu 1 og er sýndur í Töflu 2. Reikningarnir miðast við tímabilið 1998 til 2014. Þar sem styrkur uppleystra efna hefur í einhverju tilfelli eða tilfellum mælst minni en næmi aðferðarinnar er meðalframburður á rannsóknartímabilinu gefinn upp sem minni en (<) reiknaður framburður (jafna 1). Framburður svifaurs og uppleystra efna er reiknaður á sama hátt, en aðferðin er góð fyrir reikninga á framburði flestra uppleystra efna en vanmetur framburð svifaurs.

Í þessari samantekt hefur gögnum frá Þjórsá og Ölfusá frá 1996 – 1998 verið bætt við framburðarreikninga og því ná reikningarnir yfir lengra tímabil í fyrri skýrslum. Fjöldi sýna í reikningunum eru eftirfarandi: Sog, n = 83; Ölfusá, n = 108; Þjórsá, n = 108.

Framburður uppleystra efna er til kominn vegna salta sem berast með loftstraumum og úrkomu á land, vegna efnahvarfarofs, rotnunar lífrænna leifa í jarðvegi og/eða vötnum, svo og mengunar.

Framburður vatnsfalla fer fyrst og fremst eftir rennsli þeirra. Vatnsföll með mikið rennsli bera því yfirleitt meira fram en lítil vatnsföll, þó svo að efnastyrkur litlu vatnsfallanna væri meiri. Við reikninga á framburði straumvatnanna var notað langtímameðalrennsli. Það miðaðist við vatnsárin 1996 – 2014.

Þjórsá rennur um eystra gosbeltið og er ríkt af ýmsum uppleystum efnum. Það er hins vegar með lægri styrk og minni framburð snefilefna en Ölfusá. Meðalrennsli Ölfusár og Þjórsár er svipað og því er munurinn á efnaframburði til kominn vegna mismunar á efnainnihaldi vatnsfallanna. Samanlagður framburður uppleystra efna (TDS) Ölfusár og Þjórsár er 1,4 milljónir tonna á ári sem skiptist nánast til helminga á þessi tvö vatnsföll. Samanlagður árlegur heildarframburður uppleystra efna (TDS) í Ölfusá og Þjórsá er 78% af heildarframburði uppleystra efna í Grímsvatnahlaupinu

1996, sem var 1,8 milljónir tonna og stóð í tæpa tvo sólarhringa eftir Gjálpargosið 1996 (Sigurður R. Gíslason o.fl. 2002b).

Samanlagt magn uppleystra þungmálma sem berst fram með Ölfusá er 50 tonn/ári en Þjórsá ber 33 tonn/ári af þungmálmum. Mestur munur er á framburði Fe, Ba og Cr og er framburður Ölfusár á jární um fjórum sinnum hærri en framburður Þjórsár. Framburður Ölfusár á Ba er sexfaldur á við Þjórsá. Þessi munur getur verið náttúrulegur, t.d. vegna jarðhita eða votlendis, eða manngerður.

Vanadíum, V, er ekki tekið með í þungmálmaframburðinum. Vanadíum er léttara en járn og telst því ekki með þungmálmum. Byrjað var að mæla vanadíum 2004 þar sem það er mikilvægur málmur fyrir ensím í bakteríum sem binda köfnunarefni og þar með aukið frumframleiðni í vötnum (Sigurður R. Gíslason og Eydís S. Eiríksdóttir 2003).

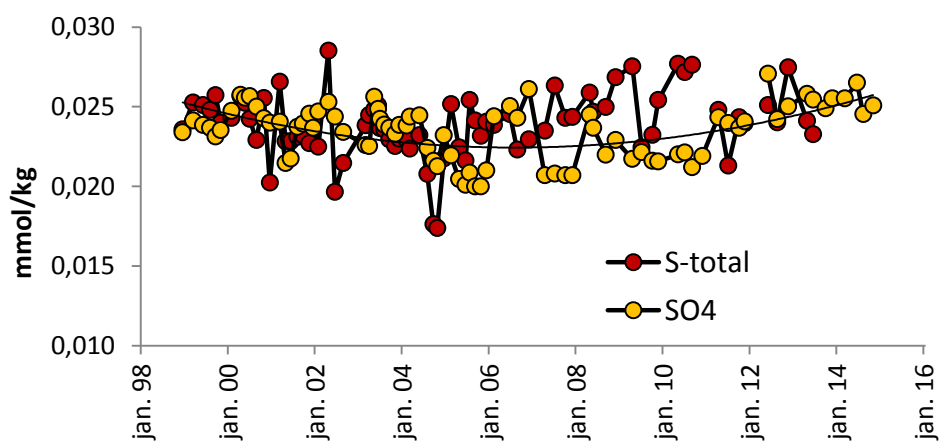
Styrkur svifaurs í Þjórsá breyttist mjög hratt byggingu Búrfellsvirkjunar. Fyrir 1970, áður en virkjunarframkvæmdir hófust, var áætlað að framburður Þjórsár af svifaurlæmi um 3 milljónir tonna á ári en árið 1987 var framburðurinn um 1,7 milljónir tonna (Haukur Tómasson 1987). Heildar framburður svifaurs á tímabilinu 2001 – 2010 í neðri hluta Þjórsár (við Krók) var 1,63 tonn ár ári (Esther Hlíðar Jensen o.fl. 2013). Samkvæmt jöfnu 1 er framburður svifaurs í Þjórsá við Urriðafoss 1.30 tonn á ári. Það er ekki fjarri framburði svifaurs í Þjórsá við Krók, sem reiknað er með því að nota rennslis og samband rennslis og svifaurs (Esther Hlíðar Jensen o.fl. 2013). Mest af svifaurnum er fínkornóttur og því er sambandið á milli rennslis og magns svifaurs ekki mjög sterkt í sýnum sem safnað hefur verið í þessari rannsókn (mynd 14, veldisvísir 1,4 og  $R^2=0,19$ ).

### 3.4 Niðurstöður úr einstökum vatnsföllum.

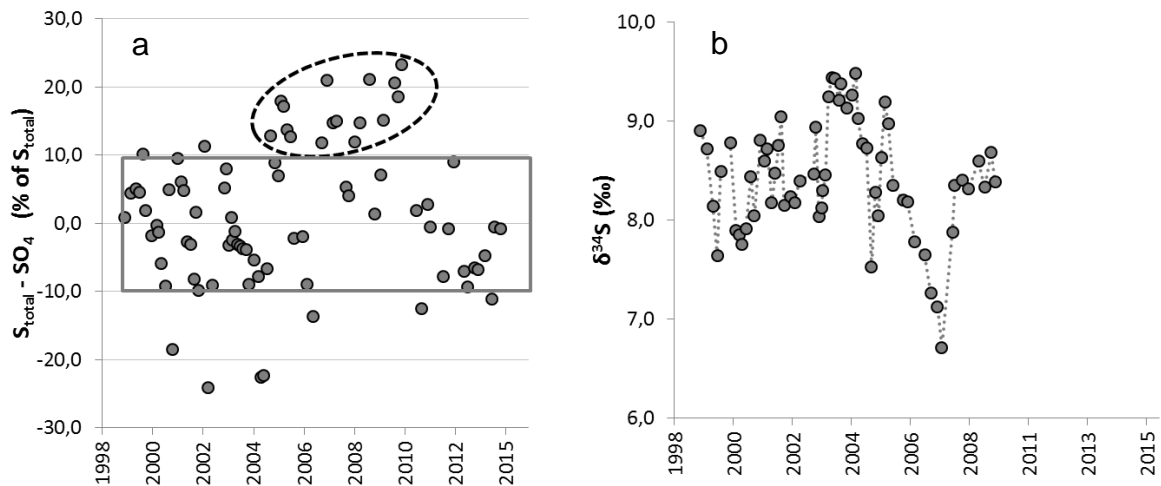
#### 3.4.1 Sog við Þrastarlund.

Niðurstöður mælinga frá 2009 – 2014 úr sýnum úr Sogi eru í Töflu 4. Styrkur uppleystra efna var stöðugur yfir árið í Sogi við Þrastarlund (myndir 4 og 5) líkt og þekkist fyrir lindár. Þó hækkar pH yfir sumartímamann vegna ljóstillífunar á vatnasviðinu. Á sama tíma lækkaði styrkur næringarefnanna  $P_{total}$ ,  $PO_4$ ,  $NO_3$ , styrkur snefilefnanna Al, Fe og Cr hækkaði en Mn og Co lækkaði.

Á mynd 3.1 (sem er líka sýnd á mynd 4) er sýndur heildarstyrkur brennisteins ( $S_{total}$ ) og  $SO_4$ , sem er algengasta form brennisteins í ferskvatni. Ef heildarstyrkur brennisteins ( $S_{total}$ ) er hærri en  $SO_4$  þýðir það að um fleiri brennisteinssambönd en  $SO_4$  eru til staðar í vatninu. Styrkur  $S_{total}$  og  $SO_4$  var sambærilegur í Sogi, sem og öðrum vöktuðum vatnsföllum á Íslandi, fram til ársins 2005. Þá varð vart við allt að 24% aukningu á  $S_{total}$  miðað við  $SO_4$  fram til ársins 2010. Á sama tíma varð vart við áberandi lækkun á S-samsættum sem stóð frá árinu 2005 til 2007. Það má betur sjá á mynd 3.2 hér að neðan sem sýnir hlutfallslegan mismun  $S_{total}$  og  $SO_4$  ásamt brennisteinssamsættum.



Mynd 3.1. Heildarstyrkur brennisteins og styrkur  $SO_4$ , algengasta efnasambands brennisteins, í Sogi við Þrastarlund frá 1998 til 2014.



Mynd 3.2. Munur S-total og SO<sub>4</sub> sem hlutfall af S-total. Ferhyrningurinn á mynd a tákna 10% efnagreiningaskekkju. Flest gildin liggja innan kassans sem þýðir að yfirleitt er ekki munur á þessum efnasamböndum. Á tímabilinu 2005 til 2010 var hins vegar aukning á heildarstyrk brennisteins miðað við SO<sub>4</sub>. Um það leiti lækkaði hlutfall δ<sup>34</sup>S (brennisteinssamsætur) í átt að bergættuð/jarðhitaættuðum brennisteini.

Á mynd 3.2a má sjá mismun á heildarstyrk brennisteins (S-total) og SO<sub>4</sub> sem hlutfall af S-total. Gert er ráð fyrir 10% greiningarskekkju sem rammast inn í kassanum sem dreginn er á grafið. Á mynd b eru brennisteinssamsætur sem endurspeglar uppruna brennisteinsins í sýnunum. Hlutföll stöðugu brennisteinssamsætanna <sup>32</sup>S og <sup>34</sup>S geta hjálpað til við að rekja uppruna brennisteins í straumvötnum en sjávarættaður brennisteinn er með samsætu hlutföllin 21‰, basalt er með 2‰ og súlfíðsteindir hafa neikvæð hlutföll, allt að -10‰ (Marini o.fl. 2011). Ef brennisteinninn er að uppruna fyrst og fremst frá basalti og sjó, þ.e. sjávarættaður brennisteinn í úrkomu, ættu hlutföll brennisteinsins að vera á milli 2‰ og 20‰. Á árinu 2007 varð hlutfall urðu brennisteinssamsætna í Sogi léttari en áður hafði. Leiða má líkur að því að lækkinun stafi af aukningu á jarðhita- eða bergættuðum brennisteini en á sama tíma var verið að vinna að undirbúningi Hellisheiðarvirkjunar, með tilheyrandi borunum og prófunum á jarðhitaborholum (Eydís Salome Eiríksdóttir o.fl. 2014).

Fosfór (P) og köfnunarefni (N) eru næringarefni sem eru nauðsynleg ljóstíllífandi lífverum í hlutföllunum 1P:16N. Skortur á öðru hvoru leiðir til takmörkunar á frumframleiðni. Köfnunarefni er komið úr andrúmslofti en fosfór er bergættað. Á vatnasviði Sogs er berggrunnurinn ungur og glerkerndur og er því auðleystur. Leystur fosfór er því í nægu magni í Þingvallavatni (Eydís Salome Eiríksdóttir o.fl. 2013) og Sogi á meðan köfnunarefni er í minna magni. Frumframleiðni er því takmörkuð af köfnunarefni. Aukning á köfnunarefni leiðir því til aukinnar

frumframleiðni þörunga á vatnasviðinu. Þar sem köfnunarefni er takmarkandi nær það oftast að klárast úr upplausn á dvalartíma vatnsins í Þingvallavatni á meðan fosfór er enn til staðar í nokkru magni. Breytingar á frumframleiðni kemur því ekki fram í styrkbreytingum á köfnunarefni í útfalli Þingvallavatns en gæti hins vegar sést í styrkbreytingum á fosfór. Eins og sjá má á mynd 4 er nokkuð eindregin lækkun á fosfórstyrk ( $P_{total}$ ) í Sogi á rannsóknartímabilinu 1998 til 2014 sem gæti verið merki um aukna frumframleiðni innan vatnasviðsins.

Kísill var endurmældur í sýnum frá 2005 – 2012 þar sem efasemdir vöknudu varðandi eldri greiningar. Það kom í ljós að eldri kísilmælingar á sýnum frá 2005 og frá 2008 til 2011 gáfu allt að 14% of háa niðurstöðu. Ef rýnt er í grafið sem sýnir styrk  $SiO_2$  á mynd 4 má sjá að styrkurinn er töluvert sveiflukenndur. Á tímabilinu 2000 til 2003 var styrkurinn um 170  $\mu\text{mól/kg}$ . Á árunum 2005 til 2008 var styrkurinn hærri og þá mátti greina nokkra árstíðasveiflu, lækkun að sumri og hækkun að vetri, vegna upptöku kísilþörunga á aðalbyggingarefni sínu. Frá árinu 2009 til 2014 hefur styrkur kísils verið lækkandi, með nokkrum óreglum þó.

Á myndum 6 og 7 er beint samband rennslis og efnastyrks sýndur. Ekki er neitt samband á milli rennslis og ólífræns svifaurs en nokkur fylgni er á milli rennslis og lífræns svifs (POC). Til að meta áhrif rennslis á bergættuð efni er sambandið milli rennslis og efnanna Na, K, Ca, Mg og  $SO_4$  er sýnt á tvennan hátt, annarsvegar miðað við heildarstyrk efnanna og hins vegar eftir að sá hluti sem upprunninn er úr úrkomu hefur verið dreginn frá. Rennsli Sogs við Þrastarlund var stöðugt og hefur flestum sýnum verið safnað á rennslisbilinu 80 – 140  $\text{m}^3/\text{s}$  en nokkrum hefur þó verið safnað við lítilsháttar hærra rennslis. Eitt sýni var tekið í flóði við 181  $\text{m}^3/\text{s}$ . Rennslið hafði lítil áhrif á styrk efna í Sogi, en það er dæmigert fyrir lindár. Útrennslið úr Þingvallavatni, þaðan sem Sogið er ættað, er stöðugt, bæði með tilliti til rennslis og efnastyrks (Eydís Salome Eiríksdóttir, 2012).

### 3.4.2 Ölfusá við Selfoss.

Niðurstöður mælinga frá 2009 – 2014 úr sýnum úr Ölfusá eru í Töflu 5. Ölfusá er blanda tveggja vatnsfalla, Sogs og Hvítár, og ber merki beggja (Myndir 8 og 9; viðauki). Rennsli Sogs getur verið allt að helmingur rennslis í Ölfusá við lágrennsli að vetri en er að meðaltali um 30% af meðalrennsli Ölfusár (Tafla 1). Ölfusá er því að stórum hluta lindá og áhrif rennslis á styrk uppleystra efna voru fremur lítil í Ölfusá

(myndir 10 og 11) sem er í samræmi við aðrar lindár, t.d. Brúará og Tungufljót (Sigurður R. Gíslason o.fl. 2003).

Árstíðasveifla í Ölfusá er ekki áberandi en þó meiri en í Soginu (myndir 8 og 9, Viðauki 1). Aukið rennsli veldur því að styrkur svifaurs hækkar, vegna aukinnar burðargetu vatnsins, og styrkur uppleystra efna lækkar, vegna þynningaráhrifa (myndir 10 og 11). Rennsli Ölfusár eykst yfir sumartímann og þar af leiðir eykst styrkur svifaurs en styrkur uppleystra efna lækkaði. Einnig má sjá lækkun í styrk  $\text{NO}_3$  yfir sumartímann vegna næringarefnanáms ljóstillífandi lífvera og hækkun Fe á vorin. Sýni af tveimur flóðum hefur náðst. Það fyrra var í mars 2004 og það seinna, sem var álíka stórt, í febrúar 2013 (Tafla 5). Þessi flóðasýni vega þungt á myndum 10 og 11 og sýnir vel áhrif flóða á efnaframburð Ölfusár.

Frá 1996 mátti sjá hnattræna brennisteinslækkun í andrúmslofti endurspeglast í styrk brennisteins í Ölfusá en, eins og í Sogi, hefur brennisteinn verið að aukast í Ölfusá frá því ~2006 (mynd 8). Aukningin frá 2006 til 2014 nemur ríflega þeirri lækkun sem varð á árunum 1996 til 2005.

### 3.4.3 Þjósá við Urriðafoss.

Árstíðabundin sveifla í styrk uppleystra aðalefna og svifaurs gætir í Þjósá við Urriðafoss (myndir 12 og 13). Aukið rennsli veldur auknum styrk svifaurs, vegna aukinnar burðargetu vatnsins, og lækkun á styrk uppleystra efna, vegna þynningaráhrifa (myndir 14 og 15). Fylgni ( $R^2$ ) á milli rennslis og styrks uppleystra aðalefna var yfirleitt á milli 0,3 – 0,4 en lakari á milli rennslis og svifaurs.

Rennsli Þjósár er meira á sumrin en á veturna og, vegna áhrifa rennslis á styrk efna, eykst svifaurstyrkurinn á sumrin og styrkur aðalefna lækkar. Einnig má sjá árstíðabundnar breytingar í styrk snefilefna sem eru ýmist vegna rennslisáhrifa ( $Sr$ ) eða annarra breytinga af völdum árstíðanna. Til dæmis var styrkur Fe, Al, Co og Pb hæstur að á vorin sem bendir hugsanlega til frost/þýðu áhrifa, en leysni þessara málma er mjög háður oxunarstigi umhverfisins. Eftir því sem minna verður af lausu súrefni, því leysanlegri eru málmanir (Stumm og Morgan, 1996). Upptaka ljóstillífandi lífvera á uppleystum næringarefnum veldur styrklækkun á næringarefnum  $\text{PO}_4$  og  $\text{NO}_3$  í árvatninu.

### 3.4.4 Sporðöldulón og Búðarhálsvirkjun.

Þjórsá er lengsta vatnsfall landsins og er blanda af jökul-, lind- og dragám. Á vatnasviðinu eru margar vatnsaflsvirkjanir og sú nýjasta er Búðarhálsvirkjun. Miðlunarlónið við hana er kallað Sporðöldulón sem fær vatn sitt úr affalli Hrauneyjafossvirkjunar (Tungná) og Kaldaklofskvísl. Vatninu er veitt í gegn um Búðaháls og fer affall virkjunarinnar í Sultartangalón og nýtist til að knýja hverflana í Sultartangavirkjun. Búðarhálsvirkjun var gangsett í mars 2014 og er nýjasta aflstöðin á Íslandi. Uppsett afl hennar er 95 MW sem gerir hana að sjöundu stærstu vatnsaflsvirkjun landsins (<http://www.landsvirkjun.is>). Lón Búðarhálsvirkjunar er kallað Sporðöldulón og er 7 km<sup>2</sup> í hæstu stöðu. Vatni úr því er veitt í gegn um fjögurra km göng um Búðarháls, þar sem stöðvarhúsið er staðsett (mynd 3).



Mynd 2. Sporðöldulón og næsta nágrenni þess. Kaldakvísl og frárennsli Hrauneyjafossvirkjunar falla í lónið. Stjörnurnar sýna staðsetningu söfnunarstaða í affalli Hrauneyjafosstöðvar, Sporðöldulóni við inntak Búðarhálsstöðvar og í affalli Búðarhálsstöðvar. Kortið er í grunninn mynd af upplýsingaskilti á virkjanasvæðinu og er í eigu Landsvirkjunar.

Í tengslum við þessar virkjunarframkvæmdir hefur sýnum verið safnað í útfalli Hrauneyjafossvirkjunar, í Sporðöldulóni við inntak Búðarhálsvirkjunar og í útfalli Búðarhálsvirkjunar. Tilgangur rannsóknarinnar var að meta hugsanleg áhrif Búðahálsvirkjunar á efnastyrk í vatninu. Myndun lóna veldur losun efna úr lónastæðinu sem fara í upplausn og berast fram með vatnsföllunum. Losunin verður því meiri eftir því sem jarðvegurinn í lónastæðinu er lífrænni. Niðurstöður úr þeim

sýnum má sjá í Töflu 7 og myndum 16 og 17, auk þess sem sjá má niðurstöður úr Tungná á myndum sem sýna niðurstöður úr Þjórsá við Urriðafoss. Ástæða söfnunar í inntaki og útfalli Búðarhálsvirkjunar var að sjá hvort styrkur uppleystra efna breyttist við það að fara um göngin og túrbínurnar.

Á myndum 16 og 17 má sjá mælda þætti í vatni í inntaki og útfalli Sporðöldulóns og útfalli Búðarhálsvirkjunar. Vatnið í inntakinu er sama vatn og kemur úr útfalli Hrauneyjafossvirkjunar (Tungná), en það rennur beint inn í Sporðöldulón eftir að það kemur úr Hrauneyjafossvirkjun. Með Búðarhálsvirkjun er búið að virkja nánast allt fall vatnsins sem rennur frá Hofsjökli og Vatnajökli frá Þórisvatni niður fyrir Búrfell, eða um 450 m fallhæð (<http://www.landsvirkjun.is>).

Þegar sýni 14H010 var safnað var áberandi litamismunur á vatninu sem streymdi inn í aðrennslisgöngin í Búðarhálsi. Sýni 14H010a var tekið norðan megin á brúnni yfir aðrennslisgöngin og var ljósara á litin en sýni 14H010b sem var tekið sunnan megin á brúnni. Því var ákveðið að taka tvö sýni, a og b. Þetta var á leysingatíma og greinilega tveir straumar á yfirborðinu. Styrkur aðalefna var svo til sá sami en styrkur snefilefna var ólíkur í sýnunum. Snefilefnastyrkurinn í 14H010b var yfirleitt 50 – 90% af 14H010a nema styrkur Ti og Fe sem var um 30% og styrkur Zn sem var ekki nema 14% af styrk þeirra í nyrðra sýninu.

Niðurstöður mælinga á sýnunum tveimur sem safnað var í júní af brúnni yfir aðrennslisgöngin eru sýnd á mynd 17 sem meðaltal þeirra. Annað sýnið var með háan málmstyrk og það sést á háum toppi í Al, Fe, Zn og Ti miðað við styrk þessara efna í útfallinu úr Búðarhálsvirkjun. Það bendir til þess að nyrðri straumurinn (sá ljósari) hafi verið yfirborðsstraumur sem hefur verið lítill hluti af heildarvatnsmagninu sem fór í gegn um göngin. Styrkur uppleystra aðal- og snefilefna (annarra en framantaldra í sýni 14H010) er svo til hinn sami. Líklega er því réttara að miða frekar við útfallið úr Búðarhálsvirkjun heldur en inntakið. Sýnataka er einnig auðveldari við útfall virkjunarinnar vegna mikilla snjóalaga á Búðarhálsi sem geta hamlað söfnun við inntakið.

Með því að bera saman styrk uppleystra efna í inn- og útflæði Sporðöldulóns má greina hvort efni úr jarðvegi skolist úr lónastæðinu í vatnið. Gögnin á mynd 16 sýna styrk uppleystra aðal- og næringarefna í sýnunum sem safnað var. Einnig er sýndur styrkur uppleysts lífræns kolefnis. Þau efni sem ættu helst að skolest út úr jarðvegi eru kolefni (lífrænt og ólífrænt) og næringarefni. Ef litið er á grafið sem sýnir DIC

(dissolved inorganic carbon) sést að það er lítillega hærra (~20%) í útfallinu en í innflæðinu í Sporðöldulón. Styrkur DOC (dissolved organic carbon) var hæst í fyrsta sýninu sem safnað var í mars 2014 og það var tvöfalt hærra í útfalli Sporðöldulóns en í innflæðinu við Hrauneyjafossvirkjun. Styrkur næringarefnisins  $\text{NO}_3$  var lægstur í Sporðöldulóni (við aðrennslisgöngin og í útfalli Búðarhálsvirkjun) í júní 2014. Það getur bent til aukinnar frumframleiðni yfir sumartímamann í Sporðöldulóni, meiri en í lónunum sem eru ofar á vatnasviðinu.

Áður en vatni var hleypt á lónastæði Sporðöldulóns voru allmörg jarðvegssýni tekin og eiginleikar þeirra mældir (Guðrún Gísladóttir o.fl., 2014). Niðurstöður þeirrar rannsóknar voru þær að jarðvegurinn væri óþroskaður og lítt frjósamur. Skoltilraunir leiddu í ljós litla losun á nýtanlegum næringarefnum fyrir plöntur. Eins, að losun  $\text{CO}_2$  úr jarðveginum væri í réttu hlutfalli við magn lífræns efnis í jarðveginum sem var lágt. Þar af leiðandi var losun  $\text{CO}_2$  lág. Eftir 80 daga tilraun hafði um 0,5% af heildarkolefni jarðvegsins farið í upplausn. Jarðvegsgerðin veldur því að lítið skolast úr lónastæðinu í Sporðöldulóni og því mælist lítil sem engin breyting á innrennslinu í Sporðöldulón og í útfalli Búðarhálsvirkjunar (myndir 16 og 17) eins og fyrstu mælingar á vatni í innflæði lónsins og útfalli úr virkjun gefa til kynna. Dvölin í lóninu virðist ekki heldur hafa mikil áhrif á styrk svifaus í vatninu (mynd 17).

## 4. ÞAKKARORÐ

Landsvirkjun og Umhverfissráðuneytið (AMSUM) kostuðu rannsóknina og hafa fulltrúar hennar sýnt verkefninu mikinn áhuga og stuðning. Sérstaklega viljum við þakka Hákonni Aðalsteinssyni frá Landsvirkjun og Helga Jenssyni frá Umhverfisstofnun (AMSUM).

## HEIMILDIR

- Davíð Egilsson, Elísabet D. Ólafsdóttir, Eva Yngvadóttir, Helga Halldórsdóttir, Flosi Hrafn Sigurðsson, Gunnar Steinn Jónsson, Helgi Jensson, Karl Gunnarsson, Sigurður A. Práinsson, Andri Stefánsson, Hallgrímur Daði Indriðason, Hreinn Hjartarson, Jóhanna Thorlacíus, Krístín Ólafsdóttir, Sigurður R. Gíslason og Jörundur Svavarsson 1999. Mælingar á mengandi efnunum á og við Ísland. Niðurstöður vöktunarmælinga. Starfshópur um mengunarmælingar, mars 1999, Reykjavík. 138 bls.
- Eugster, H. P. 1970. Chemistry and origin of the brines of Lake Magadi, Kenya. Mineral. Soc. Am. Spec. Paper 3, bls. 213-235.
- Eydís Salome Eiríksdóttir, Sigurður Reynir Gíslason og Ingvi Gunnarsson 1999. Næringarefni straumvatna á Suðurlandi. Gagnagrunnur Raunvísindastofnunar, Hafrannsóknarstofnunar og Orkustofnunar. Raunvísindastofnun Háskólans, RH-18-99, 36 bls.
- Eydís Salome Eiríksdóttir, Sigurður Reynir Gíslason, Árni Snorrason, Jórunn Harðardóttir, Kristjana G. Eypórsdóttir, Svava Björk Þorláksdóttir og Peter Torssander 2008. Efnasamsetning, rennsli og aurburður straumvatna á Suðurlandi XI. RH-05-2008, 50 bls.
- Eydís Salome Eiríksdóttir, Sigurður Reynir Gíslason, Árni Snorrason, Jórunn Harðardóttir, Sigríður Magnea Óskarsdóttir, Njáll Fannar Reynisson og Peter Torssander 2009. Efnasamsetning, rennsli og aurburður straumvatna á Suðurlandi XII. RH-21-2009, 52 bls.
- Eydís Salome Eiríksdóttir, Sigurður Reynir Gíslason, Árni Snorrason, Jórunn Harðardóttir, Svava Björk Þorláksdóttir og Peter Torssander 2010a. Efnasamsetning, rennsli og aurburður straumvatna á Suðurlandi XIII. RH-22-2010, 45 bls.
- Eydís Salome Eiríksdóttir, Sigurður Reynir Gíslason, 2010b. Efnasamsetning Þingvallavatns 2007 – 2009. RH-21-2010, 20 bls.
- Eydís Salome Eiríksdóttir, Sigurður Reynir Gíslason, Árni Snorrason, Jórunn Harðardóttir, Svava Björk Þorláksdóttir og Peter Torssander 2011a. Efnasamsetning, rennsli og aurburður straumvatna á Suðurlandi XIV. RH-05-2011, 46 bls.
- Eydís Salome Eiríksdóttir og Sigurður Reynir Gíslason 2011b. Efnasamsetning Þingvallavatns 2007 – 2010. RH-07-2011, 27 bls.
- Eydís Salome Eiríksdóttir, Sigurður Reynir Gíslason, Árni Snorrason, Jórunn Harðardóttir, Svava Björk Þorláksdóttir, Kristjana G. Eypórsdóttir 2011c. Efnasamsetning, rennsli og aurburður straumvatna á Vesturlandi V. Gagnagrunnur Jarðvísindastofnunar og Veðurstofunnar. RH-06-2011, 46 bls.
- Eydís Salome Eiríksdóttir, Sigurður Reynir Gíslason, Árni Snorrason, Jórunn Harðardóttir, Svava Björk Þorláksdóttir, Egill Axelsson og Árný E. Sveinbjörnsdóttir 2011d. Efnasamsetning, rennsli og aurburður straumvatna á Austurlandi VIII. Gagnagrunnur Jarðvísindastofnunar og Veðurstofunnar. RH-04-2011, 24 bls.
- Eydís Salome Eiríksdóttir, Sigurður Reynir Gíslason, Árni Snorrason, Jórunn Harðardóttir, Svava Björk Þorláksdóttir, Kristjana G. Eypórsdóttir, 2011. Efnasamsetning, rennsli og aurburður straumvatna á Vesturlandi V., Gagnagrunnur Jarðvísindastofnunar og Veðurstofunnar. RH-06-2011.
- Eydís Salome Eiríksdóttir, Sigurður Reynir Gíslason, Árni Snorrason, Jórunn Harðardóttir, Svava Björk Þorláksdóttir, Peter Torssander 2012a. Efnasamsetning, rennsli og aurburður straumvatna á Suðurlandi XV. Gagnagrunnur Jarðvísindastofnunar og Veðurstofunnar. RH-06-2012, 52 bls.
- Eydís Salome Eiríksdóttir, Sigurður Reynir Gíslason, 2012b. Efnasamsetning Þingvallavatns 2007 – 2011. RH-04-2012, 29 bls.
- Eydís Salome Eiríksdóttir, Sigurður Reynir Gíslason, 2013. Efnasamsetning Þingvallavatns 2007 – 2012. RH-16-2013, 36 bls.

- Eydís Salome Eiríksdóttir, Svava Björk Þorlákssdóttir, Jórunn Harðardóttir, Sigurður Reynir Gíslason, 2013. Efnasamsetning, rennsli og aurburður straumvatna á Suðurlandi XVI. Gagnagrunnur Jarðvísindastofnunar og Veðurstofunnar. RH-14-2013, 70 bls.
- Eydís Salome Eiríksdóttir, Svava Björk Þorlákssdóttir, Jórunn Harðardóttir, Sigurður Reynir Gíslason, 2014a. Efnasamsetning, rennsli og aurburður straumvatna á Suðurlandi XVII. Gagnagrunnur Jarðvísindastofnunar og Veðurstofunnar. RH-03-2014, 67 bls.
- Eydís Salome Eiríksdóttir, Sigurður Reynir Gíslason, 2014b. Efnasamsetning Pingvallavatns 2007 – 2013. RH-04-2014, 36 bls.
- Eydís Salome Eiríksdóttir, Árni Sigurdsson, Sigurdur Reynir Gíslason and Peter Torssander. 2014 Chemical composition of precipitation and river water in southern Iceland: effects of Eyjafjallajökull volcanic eruptions and geothermal power plants. *Procedia Earth and Planetary Science*, 10, 358–364
- Esther Hlíðar Jensen, Jórunn Harðardóttir, Svava Björk Þorlákssdóttir, Snorri Zóphóníasson, Sigríður Magna Óskarsdóttir, 2013. Heildarframburður í neðri hluta Þjórsár árin 2001-2010. VÍ 2013-007, 103 bls.
- Flaathen, Therese and Sigurdur R. Gíslason 2007. The effect of volcanic eruptions on the chemistry of surface waters: The 1991 and 2000 eruptions of Mt. Hekla, Iceland. *Journal of Volcanology and Geothermal Research* 164, bls 293–316
- Flaathen Therese, Sigurður R. Gíslason, Eric H. Oelkers, Árný E. Sveinbjörnsdóttir 2009. Chemical evolution of the Mt. Hekla, Iceland, groundwaters: A natural analogue for CO<sub>2</sub> sequestration in basaltic rocks. *Applied Geochemistry*, 24(2), 463-474.
- Guðrún Gísladóttir, Utra Mankasingh og Jóhann Þórsson, 2014. Physical and chemical soil properties of different land cover types, related to soil carbon, at Sporðöldulón. RH-06-2014, 27 bls.
- Halldór Ármannsson, Helgi R. Magnússon, Pétur Sigurðsson og Sigurjón Rist 1973. Efnarannsókn vatna. Vatnasvið Hvítár - Ölfusár; einnig Þjórsár við Urriðafoss: Orkustofnun, OS - RI, Reykjavík, 28 bls.
- Haukur Tómasson, Hrefna Kristmannsdóttir, Svanur Pálsson og Páll Ingólfsson 1974. Efnisflutningar í Skeiðarárhlaupi 1972, Orkustofnun, OS-ROD-7407, 20 bls.
- Haukur Tómasson, 1987. Áhrif virkjunarframkvæmda á aurburð í Þjórsá. OS82044/VOD07. 40 bls.
- Hardy, L. A. og Eugster, H. P. 1970. The evolution of closed-basin brines. *Mineral. Soc. Am. Spec. Pub.* 3, bls. 273-290.
- Jón Ólafsson 1992. Chemical characteristics and trace elements of Thingvallavatn. *Oikos*, 64, 151-161.
- Jórunn Harðardóttir & Svava Björk Þorlákssdóttir 2002. Total sediment transport in the lower reaches of Þjórsá at Krókur. Orkustofnun, OS-2002/020, 50 bls.
- Jórunn Harðardóttir og Svava Björk Þorlákssdóttir 2005. Total sediment transport in the lower reaches of river Þjórsá. Results from the year 2004. Orkustofnun, OS-2005/010, 59 bls.
- Koroleff F. 1983. *Methods of Seawater Analysis*. Grasshoff K, Ehrhardt M. Kremling K. (Eds.). 2nd edition Verlag Chemie GmbH, Weinheim. Bls. 163-173.
- Marini L., Moretti R., Accornero M. 2011. Sulfur isotopes in magmatic-hydrothermal systems, melts, and magmas. *Reviews in Mineralogy and Geochemistry*, 73, 423 – 492.
- Martin, J.M., og Meybeck, M. 1979. Elemental mass-balance of material carried by world major rivers: *Marine Chemistry*, v. 7, bls. 173-206.
- Martin, J.M., og Whitfield, M. 1983. The significance of the river input of chemical elements to the ocean, Í Wong, S.S., ritstj., *Trace Metals in Seawater*, Proceedings of the NATO Advanced Research Institute on Trace Metals in Seawater, March 1981: Erice, Plenum Press, bls. 265-296.
- Meybeck, M. 1979. Concentrations des eaux fluviales en éléments majeurs et apports en solution aux océans: *Rev. Geologie Dynamique et Géographie Physique* 21, bls. 215-246.

- Meybeck, M. 1982. Carbon, nitrogen, and phosphorus transport by world rivers: American Journal of Science 282, bls. 401-450.
- Plummer, N.L., og Busenberg, E. 1982. The solubility of calcite, aragonite and vaterite in CO<sub>2</sub>-H<sub>2</sub>O solutions between 0 and 90°C, and an evaluation of the aqueous model for the system CaCO<sub>3</sub>-CO<sub>2</sub>-H<sub>2</sub>O: Geochimica et Cosmochimica Acta 46, 1011-1040.
- Roig B., Gonzalez C., Thomas O. 1999. Measurement of dissolved total nitrogen in wastewater by UV photooxidation with peroxodisulphate. Analytica Chimica Acta 389, 267-274.
- Sigríður Magnea Óskarsdóttir, Sigurdur Reynir Gíslason, Árni Snorrason, Stefanía Guðrún Halldórsdóttir, Guðrún Gísladóttir, 2011. Spatial distribution of dissolved constituents in Icelandic river waters. Journal of Hydrology, 397, 175 – 190.
- Sigurður R. Gíslason, Auður Andrésdóttir, Árný E. Sveinbjörnsdóttir, Niels Óskarsson, Þorvaldur Þórðarson, Peter Torssander, Martin Novák og Karel Zák 1992. Local effects of volcanoes on the hydrosphere: Example from Hekla, southern Iceland. Í; Water-Rock Interaction, Kharaka, Y. K og Maest, A. S. (ritstj.). Balkema, Rotterdam, bls. 477-481.
- Sigurður Reynir Gíslason, Stefán Arnórsson og Halldór Ármannsson, 1996. Chemical weathering of basalt in southwest Iceland: Effects of runoff, age of rocks and vegetative/glacial cover. American Journal of Science, 296, 837 – 907.
- Sigurður R. Gíslason, Jón Ólafsson og Árni Snorrason 1997. Efnasamsetning, rennsli og aurburður straumvatna á Suðurlandi. Gagnagrunnur Raunvísindastofnunar, Hafrannsóknastofnunar og Orkustofnunar. RH-25-97, 28 bls.
- Sigurður Reynir Gíslason, Jón Ólafsson, Árni Snorrason, Ingvi Gunnarsson og Snorri Zóphóníasson 1998. Efnasamsetning, rennsli og aurburður straumvatna á Suðurlandi, II. Gagnagrunnur Raunvísindastofnunar, Hafrannsóknarstofnunar og Orkustofnunar. RH-20-98, 39 bls.
- Sigurður Reynir Gíslason, Árni Snorrason, Eydís Salome Eiríksdóttir, Sverrir Óskar Elefsen, Ásgeir Gunnarsson og Peter Torssander 2000. Efnasamsetning, rennsli og aurburður straumvatna á Suðurlandi, III. Gagnagrunnur Raunvísindastofnunar og Orkustofnunar. RH-13-2000, 32 bls.
- Sigurður Reynir Gíslason, Árni Snorrason, Eydís Salome Eiríksdóttir, Sverrir Óskar Elefsen, Ásgeir Gunnarsson og Peter Torssander, 2001. Efnasamsetning, rennsli og aurburður straumvatna á Suðurlandi, IV. Gagnagrunnur Raunvísindastofnunar og Orkustofnunar. RH-06-2001, 36 bls.
- Sigurður Reynir Gíslason, Árni Snorrason, Eydís Salome Eiríksdóttir, Bergur Sigfússon, Sverrir Óskar Elefsen, Jórunn Harðardóttir, Ásgeir Gunnarsson, og Peter Torssander 2002. Efnasamsetning, rennsli og aurburður straumvatna á Suðurlandi, V. Gagnagrunnur Raunvísindastofnunar og Orkustofnunar. RH-12-2002, 36 bls.
- Sigurður Reynir Gíslason, Árni Snorrason, Hrefna Kristmannsdóttir, Árný E. Sveinbjörnsdóttir, Peter Torssander, Jón Ólafsson, Silvie Castet, og Bernard Durpé (2002b). Effects of volcanic eruptions on the CO<sub>2</sub> content of the atmosphere and the oceans: the 1996 eruption and flood within the Vatnajökull Glacier, Iceland. Chemical Geology 190, 181-205. Editors' Choice, Science 298, bls. 1681.
- Sigurður Reynir Gíslason, Árni Snorrason, Eydís Salome Eiríksdóttir, Bergur Sigfússon, Sverrir Óskar Elefsen, Jórunn Harðardóttir, Ásgeir Gunnarsson, og Peter Torssander 2003. Efnasamsetning, rennsli og aurburður straumvatna á Suðurlandi, VI. Gagnagrunnur Raunvísindastofnunar og Orkustofnunar. RH-03-2003, 85 bls.
- Sigurður Reynir Gíslason, Árni Snorrason, Eydís Salome Eiríksdóttir, Bergur Sigfússon, Sverrir Óskar Elefsen, Jórunn Harðardóttir, Ásgeir Gunnarsson, Einar Örn Hreinsson og Peter Torssander 2004. Efnasamsetning, rennsli og aurburður straumvatna á Suðurlandi, VII. Gagnagrunnur Raunvísindastofnunar og Orkustofnunar. RH-06-2004, 40 bls.

- Sigurður Reynir Gíslason, Árni Snorrason, Guðmundur Bjarki Ingvarsson, Eydís Salome Eiríksdóttir, Bergur Sigfússon, Sverrir Óskar Elefsen, Jórunn Harðardóttir, Ásgeir Gunnarsson, Bjarni Kristinsson, Svava Björk Þorláksdóttir og Peter Torssander 2005. Efnasamsetning, rennsli og aurburður straumvatna á Suðurlandi VIII. Gagnagrunnur Raunvísindastofnunar og Orkustofnunar. RH-11-2005, 46 p.
- Sigurður Reynir Gíslason, Árni Snorrason, Guðmundur Bjarki Ingvarsson, Luiz Gabriel Quinn Camargo, Eydís Salome Eiríksdóttir, Sverrir Óskar Elefsen, Jórunn Harðardóttir, Svava Björk Þorláksdóttir og Peter Torssander 2006. Efnasamsetning, rennsli og aurburður straumvatna á Suðurlandi IX. Gagnagrunnur Raunvísindastofnunar og Orkustofnunar. RH-05-2006.
- Sigurður R. Gíslason og Peter Torssander 2006. The response of Icelandic river sulfate concentration and isotope composition, to the decline in global atmospheric SO<sub>2</sub> emission to the North Atlantic region. *Environmental Science and Technology* 40, 680-686.
- Sigurður Reynir Gíslason, Árni Snorrason, Guðmundur Bjarki Ingvarsson, Luiz Gabriel Quinn Camargo, Eydís Salome Eiríksdóttir, Jórunn Harðardóttir, Kristjana G. Eyþórsdóttir og Svava Björk Þorláksdóttir, 2007. Efnasamsetning, rennsli og aurburður straumvatna á Suðurlandi X. Gagnagrunnur Raunvísindastofnunar og Orkustofnunar. RH-12-2007, 52 bls.
- Sigurjón Rist 1974. Efnarannsókn vatna. Vatnasvið Hvítár - Ölfusár; einnig Þjórsár við Urriðafoss: Reykjavík, Orkustofnun, OSV7405, 29 bls.
- Stefán Arnórsson og Hörður Svavarsson, 1982. The chemistry of geothermal waters in Iceland. I. Calculation of aqueous speciation from 0°C to 370°C. *Geochimica et Cosmochimica Acta*, vol. 46, pp. 1513 - 1532.
- Stumm, W. og Morgan, J. 1996. *Aquatic Chemistry. Chemical Equilibria and Rates in Natural Waters*, 3rd ed. John Wiley & sons, New York, 1022 bls.
- Svanur Pálsson og Guðmundur H. Vigfússon 1996. Gagnasafn aurburðarmælinga 1963-1995, Orkustofnun OS-96032/VOD-05 B, 270 bls.
- Svanur Pálsson og Guðmundur H. Vigfússon 2000. Leiðbeiningar um mælingar á svifaur og úrvinnslu gagna. Greinargerð, SvP-GHV-2000-2, Orkustofnun, Reykjavík.
- Sweeton R. H., Mesmer R. E. og Baes C. R. Jr. 1974. Acidity measurements at elevated temperatures. VII. Dissociation of water. *J. Soln. Chem.* 3, nr. 3 bls. 191-214.



## **TÖFLUR OG MYNDIR**

Tafla 1. Meðalefnasamsetning og langtíma meðalrennsli vaktaðra straumvatna á Suðurlandi.

| Vatnsfall                  | Rennsli*<br>m <sup>3</sup> /sek | Vatns-<br>hiti °C | Loft-<br>hiti °C | pH           | Leiðni<br>µS/sm | SiO <sub>2</sub><br>mmól/l   | Na<br>mmól/l                 | K<br>mmól/l                     | Ca<br>mmól/l | Mg<br>mmól/l  | Alkalinity<br>meq/kg<br>(a)  | DIC<br>mmól/l                | SO <sub>4</sub><br>mmól/l<br>ICP-AES | SO <sub>4</sub><br>mmól/l<br>I.chrom | δ <sup>34</sup> S<br>‰<br>(b) | Cl<br>mmól/l<br>I.chrom | F<br>µmól/l<br>I.chrom | TDS<br>mg/l<br>mælt    | TDS<br>mg/l<br>reikn.        |
|----------------------------|---------------------------------|-------------------|------------------|--------------|-----------------|------------------------------|------------------------------|---------------------------------|--------------|---------------|------------------------------|------------------------------|--------------------------------------|--------------------------------------|-------------------------------|-------------------------|------------------------|------------------------|------------------------------|
| Sog                        | 109                             | 6,50              | 7,87             | 7,75         | 74,0            | 0,194                        | 0,366                        | 0,0150                          | 0,104        | 0,059         | 0,483                        | 0,493                        | 0,024                                | 0,023                                | 8,42                          | 0,180                   | 3,59                   | 52                     | 64                           |
| Ölfusá                     | 378                             | 5,22              | 6,38             | 7,51         | 20,1            | 68,8                         | 0,228                        | 0,334                           | 0,014        | 0,099         | 0,060                        | 0,471                        | 0,504                                | 0,026                                | 0,025                         | 7,66                    | 0,146                  | 55                     | 65                           |
| Þjórsá                     | 370                             | 5,04              | 6,76             | 7,62         | 20,0            | 78,9                         | 0,222                        | 0,403                           | 0,013        | 0,121         | 0,072                        | 0,574                        | 0,607                                | 0,058                                | 2,88                          | 0,1089                  | 8,38                   | 64                     | 74                           |
| <b>Heims-<br/>meðaltal</b> |                                 |                   |                  |              |                 | 0,173                        | 0,224                        | 0,033                           | 0,334        | 0,138         |                              | 0,853                        | 0,090                                | 0,090                                |                               | 0,162                   | 5,26                   | 100                    | 100                          |
| Vatnsfall                  | DOC<br>mmól/l                   | POC<br>µg/kg      | PON<br>µg/kg     | C/N          | Svifaur<br>mg/l | P <sub>total</sub><br>µmól/l | PO <sub>4</sub> -P<br>µmól/l | P <sub>tot</sub> -DIP<br>µmól/l | DIP/<br>DOP  | TDN<br>µmól/l | NO <sub>3</sub> -N<br>µmól/l | NO <sub>2</sub> -N<br>µmól/l | NH <sub>4</sub> -N<br>µmól/l         | DIN<br>µmól/l                        | DON<br>µmól/l                 | DIN/<br>DON             | POC/<br>Svifaur<br>%   | DOC/<br>(DOC+POC)<br>% | DOC/<br>(DOC+POC)<br>reiknað |
| Sog                        | <0,027                          | 303               | 33,8             | 12,6         | 13,6            | 0,317                        | 0,224                        | 0,077                           | 4,12         | 3,73          | <0,47                        | 0,054                        | <0,544                               | <1,07                                | >2,67                         | <0,400                  | 2,28                   | <52                    |                              |
| Ölfusá                     | <0,037                          | 529               | 62,5             | 12,4         | 55,6            | 0,396                        | 0,288                        | 0,108                           | 3,67         | 4,59          | <1,79                        | <0,072                       | <0,749                               | <2,61                                | >1,98                         | <1,32                   | 0,95                   | <46                    |                              |
| Þjórsá                     | <0,029                          | 347               | 36,2             | 12,8         | 104,5           | 1,02                         | 0,728                        | 0,291                           | 3,50         | 3,90          | <1,53                        | <0,069                       | <0,719                               | <2,32                                | >1,58                         | <1,47                   | 0,33                   | <50                    |                              |
| <b>Heims-<br/>meðaltal</b> |                                 |                   |                  |              |                 | 0,323                        |                              |                                 | 0,67         |               | 7,14                         | 0,065                        | 1,14                                 | 8,57                                 | 18,60                         | 0,46                    | 1                      | 60                     |                              |
| Vatnsfall                  | Al<br>µmól/l                    | Fe<br>µmól/l      | B<br>µmól/l      | Mn<br>µmól/l | Sr<br>µmól/l    | As<br>nmól/l                 | Ba<br>nmól/l                 | Cd<br>nmól/l                    | Co<br>nmól/l | Cr<br>nmól/l  | Cu<br>nmól/l                 | Ni<br>nmól/l                 | Pb<br>nmól/l                         | Zn<br>nmól/l                         | Hg<br>nmól/l                  | Mo<br>nmól/l            | Ti<br>nmól/l           | V<br>µmól/l            |                              |
| Sog                        | 0,398                           | 0,268             | 0,653            | 0,034        | 0,060           | <1,40                        | 0,845                        | <0,027                          | 0,236        | 16,3          | <2,97                        | <2,28                        | <0,088                               | <10,3                                | <0,011                        | 1,50                    | <2,50                  | 0,326                  |                              |
| Ölfusá                     | 0,798                           | 1,094             | 0,499            | 0,119        | 0,068           | <0,995                       | 0,885                        | <0,036                          | 0,550        | 11,5          | 5,57                         | <3,35                        | 0,120                                | <15,0                                | <0,010                        | 2,17                    | 29,3                   | 0,251                  |                              |
| Þjórsá                     | 0,734                           | <0,396            | 0,979            | 0,068        | 0,066           | <1,279                       | 0,669                        | <0,048                          | 0,334        | 4,09          | 4,33                         | <2,92                        | <0,096                               | <9,01                                | <0,013                        | 4,23                    | <34,9                  | 0,265                  |                              |
| <b>Heims-<br/>meðaltal</b> | 1,85                            | 0,716             |                  | 1,85         | 0,716           |                              |                              |                                 |              |               |                              |                              |                                      |                                      |                               |                         | 209                    |                        |                              |

Sog, n = 83; Ölfusá, n = 108; Þjórsá, n = 108.

Rennsli\*: langtíma meðalrennsli frá 1996 til 2014 (Ölfusá og Þjórsá) 1998 til 2014 (Sog).

a) Alkalinity eða basavirkni, (b) gögn fyrir δ<sup>34</sup>S eru frá 1998-2009, (c) gögnum frá ágúst 2006 til febrúar 2007 sleppt, (d) Vanadium (V) frá 2004.

Tafla 2. Árlegur framburður straumvatna (tonn/ár) á Suðurlandi miðað við gögn frá árunum 1996 til 2014 (Ölfusá og Þjórsá) og 1998 til 2014 (Sog).

| Vatnsfall                | Rennsli*          | SiO <sub>2</sub> | Na        | K      | Ca                 | Mg                 | CO <sub>2</sub>    | S total            | SO <sub>4</sub>  | Cl      | F     | TDS       | TDS       | DOC        |
|--------------------------|-------------------|------------------|-----------|--------|--------------------|--------------------|--------------------|--------------------|------------------|---------|-------|-----------|-----------|------------|
|                          | m <sup>3</sup> /s |                  |           |        |                    |                    |                    | ICP-AES            | IC               |         |       | mælt      | reiknað   |            |
| Sog við Þrastarlund      | 109               | 40.034           | 28.983    | 2.024  | 14.276             | 4.934              | 74.504             | 7.901              | 7.667            | 21.816  | 230   | 183.356   | 220.994   | 1.103      |
| Ölfusá við Selfoss       | 378               | 157.302          | 86.980    | 6.206  | 45.346             | 16.718             | 258.974            | 28.310             | 25.093           | 60.506  | 961   | 583.791   | 676.319   | 7.571      |
| Þjórsá við Urriðafoss    | 370               | 146.487          | 100.684   | 5.722  | 53.189             | 19.034             | 295.006            | 60.257             | 53.847           | 40.967  | 1.742 | 702.376   | 734.579   | 4.370      |
| Samtals Ölfusá og Þjórsá | 748               | 303.789          | 187.664   | 11.927 | 98.535             | 35.751             | 553.980            | 88.567             | 78.940           | 101.473 | 2.702 | 1.286.167 | 1.410.898 | 11.941     |
|                          | POC               | PON              | Svifaur   | P      | PO <sub>4</sub> -P | NO <sub>3</sub> -N | NO <sub>2</sub> -N | NH <sub>4</sub> -N | N <sub>tot</sub> | Al      | Fe    | B         | Mn        | Sr         |
| Sog við Þrastarlund      | 1.054             | 119              | 55.123    | 33,2   | 28,9               | 22,2               | 2,6                | 58,1               | 184              | 36,7    | 51,7  | 23,7      | 6,5       | 18,0       |
| Ölfusá við Selfoss       | 7.345             | 767              | 856.453   | 126    | 108                | 308                | 12                 | 158                | 787              | 262     | 767   | 60,3      | 83,5      | 68,9       |
| Þjórsá við Urriðafoss    | 3.589             | 340              | 1.301.326 | 302    | 249                | 239                | 11                 | 108                | 621              | 185     | 197   | 103       | 40,6      | 62,0       |
| Samtals Ölfusá og Þjórsá | 10.934            | 1.107            | 2.157.779 | 428    | 357                | 547                | 23                 | 265                | 1.408            | 447     | 964   | 164       | 124       | 131        |
|                          | As                | Ba               | Cd        | Co     | Cr                 | Cu                 | Ni                 | Pb                 | Zn               | Hg      | Mo    | Ti        | V         | þungmálmar |
| Sog við Þrastarlund      | 0,37              | 1,67             | 0,010     | 0,046  | 2,90               | 0,659              | 0,449              | 0,062              | 2,85             | 0,007   | 0,514 | 0,425     | 42,0      | 10,0       |
| Ölfusá við Selfoss       | 0,92              | 4,90             | 0,045     | 0,377  | 6,55               | 4,30               | 2,28               | 0,286              | 11,6             | 0,025   | 2,35  | 16        | 137       | 49,7       |
| Þjórsá við Urriðafoss    | 1,03              | 0,86             | 0,030     | 0,220  | 2,30               | 2,99               | 1,88               | 0,221              | 6,18             | 0,024   | 4,55  | 13        | 208       | 33,3       |
| Samtals Ölfusá og Þjórsá | 1,95              | 5,76             | 0,075     | 0,596  | 8,85               | 7,30               | 4,16               | 0,506              | 17,7             | 0,049   | 6,90  | 29,1      | 345       | 83         |

skáletraðar tölur tákna framburð sem er minni en tölugildið segir til um.

\*Langtímameðalrennsli 1998 – 2014.

Þungmálmar eru As, Ba, Cd, Co, Cr, Cu, Ni, Pb, Zn, Hg, Mo og Ti. V er ekki reiknað með þungmálmmum.

Tafla 3a. Niðurstöður vatnssýna af Suðurlandi í tímaröð: aðalefni, lífrænt kolefni og lífrænn og ólífrænn svifaur.

| Sýna númer | Staðsetning               | Dagsetning | kl.   | Rennslí Vatns- m <sup>3</sup> /sek | Vatns- hiti °C | Loft- hiti °C | pH   | T °C (pH/leidd) | Leiddi m <sup>3</sup> /sm | SiO <sub>2</sub> µM | Na µM | K µM | Ca µM | Mg µM | Alk (a) µeq/kg | DIC µM | S <sub>total</sub> µM | SO <sub>4</sub> µM | Cl µM | F µM | Hleðslu- jafnvagi | % skekkja | TDS mg/l | TDS mg/kg | DOC mmól/l | POC µg/kg | PON µg/kg | C/N mól | Svifaur mg/l |
|------------|---------------------------|------------|-------|------------------------------------|----------------|---------------|------|-----------------|---------------------------|---------------------|-------|------|-------|-------|----------------|--------|-----------------------|--------------------|-------|------|-------------------|-----------|----------|-----------|------------|-----------|-----------|---------|--------------|
| 10H001     | Þjórsá, Urriðafooss       | 12.5.2010  | 10:30 | 341                                | 6,8            | 9,1           | 7,57 | 22,4            | 69,4                      | 184                 | 323   | 11,3 | 100   | 60,1  | 443            | 442    | 56,4                  | 52,6               | 87    | 6,81 | 0,01              | 0,94      | 49       | 62        | 37,5       | 480       | 29        | 19      | 22           |
| 10H002     | Ölfusá, Selfoss           | 12.5.2010  | 11:30 | 304                                | 8,1            | 9,3           | 7,62 | 22,4            | 61,2                      | 219                 | 318   | 14,1 | 93    | 51,8  | 450            | 449    | 26,4                  | 22,7               | 131   | 3,53 | 0,01              | 0,61      | 48       | 67        | 53,3       | 424       | 39        | 13      | 25           |
| 10H003     | Sog, Prastartundur        | 12.5.2010  | 13:25 | 99,8                               | 6,6            | 10,1          | 7,73 | 22,1            | 70,3                      | 193                 | 371   | 15,3 | 108   | 58,0  | 502            | 501    | 27,7                  | 22,0               | 180   | 3,11 | 0,01              | 0,75      | 53       | 76        | 43,3       | 269       | 33        | 9       | 19           |
| 10H004     | Ölfusá, Selfoss           | 6.7.2010   | 10:35 | 307                                | 11,5           | 14,1          | 7,53 | 21,9            |                           | 207                 | 301   | 11,9 | 96    | 48,5  | 426            | 425    | 31,8                  | 24,5               | 113   | 3,28 | 0,01              | 1,03      | 45       | 63        | 45,0       | 377       | 49        | 9       | 39           |
| 10H005     | Þjórsá, Urriðafooss       | 6.7.2010   | 11:30 | 292                                | 11,8           | 13,0          | 7,62 | 21,1            |                           | 143                 | 243   | 8,8  | 99    | 41,6  | 429            | 336    | 30,8                  | 24,9               | 46    | 5,71 | 0,01              | 0,92      | 46       | 46        | 68,3       | 481       | 63        | 9       | 221          |
| 10H006     | Sog, Prastartundur        | 6.7.2010   | 13:45 | 97                                 | 12,0           | 13,4          | 8,14 | 20,7            |                           | 192                 | 373   | 15,9 | 107   | 57,2  | 468            | 465    | 27,2                  | 22,1               | 179   | 3,15 | 0,02              | 1,65      | 55       | 74        | 37,5       | 160       | 18        | 11      | 9            |
| 10H007     | Ölfusá, Selfoss           | 6.9.2010   | 10:00 | 320                                | 8,9            | 9,2           | 7,56 | 22,2            | 67,9                      | 230                 | 328   | 12,9 | 113   | 58,8  | 507            | 506    | 31,8                  | 25,5               | 129   | 3,50 | 0,01              | 0,39      | 59       | 73        | 22,5       | N/A       | N/A       | N/A     | 57           |
| 10H008     | Þjórsá, Urriðafooss       | 6.9.2010   | 11:15 | 448                                | 6,8            | 11,6          | 7,7  | 21,5            | 80,4                      | 221                 | 374   | 12,8 | 153   | 67,1  | 566            | 565    | 78,3                  | 72,6               | 80    | 8,51 | 0,03              | 1,65      | 69       | 76        | 28,3       | 345       | <15,1     | >26,8   | 339          |
| 10H009     | Sog, Prastartundur        | 6.9.2010   | 14:00 | 107                                | 8,7            | 10,0          | 7,85 | 21,6            | 70,4                      | 195                 | 369   | 16,0 | 109   | 58,0  | 484            | 483    | 27,6                  | 21,2               | 175   | 3,06 | 0,01              | 1,00      | 54       | 74        | 20,0       | 179       | <6,5      | >31,9   | 39           |
| 10H010     | Þjórsá, Urriðafooss       | 1.12.2010  | 10:50 | 277                                | 0,0            | 0,4           | 7,56 | 22,1            | 89,7                      | 239                 | 435   | 13,7 | 136   | 86,8  | 672            | 671    | 0,0                   | 63,5               | 89    | 7,36 | 0,00              | 0,08      | 70       | 84        | 17,5       | 168       | 20        | 10      | 48           |
| 10H011     | Ölfusá, Selfoss           | 1.12.2010  | 11:35 | 219                                | 1,0            | 1,1           | 7,52 | 21,6            | 73,6                      | 250                 | 350   | 13,7 | 109   | 60,5  | 498            | 497    | 0,0                   | 24,7               | 140   | 3,73 | 0,01              | 0,81      | 65       | 75        | 19,1       | 444       | 47        | 11      | 129          |
| 10H012     | Sog, Prastartundur        | 1.12.2010  | 13:30 | 78                                 | 3,3            | 1,5           | 7,55 | 21,9            | 74,8                      | 191                 | 361   | 15,8 | 105   | 60,5  | 482            | 481    | 0,0                   | 21,9               | 179   | 3,12 | 0,00              | 0,01      | 52       | 74        | 72,4       | 409       | 50        | 10      | 178          |
| 11H001     | Ölfusá, Selfoss           | 14.4.2011  | 10:35 | 525                                | 4,1            | 3,7           | 7,52 | 19,9            | 97,2                      | 213                 | 351   | 15,8 | 95    | 67,5  | 381            | 380    | 28,2                  | 29,0               | 266   | 3,04 | 0,01              | 1,02      | 49       | 63        | 72,4       | 1264      | 142       | 10      | 45           |
| 11H002     | Þjórsá, Urriðafooss       | 14.4.2011  | 11:55 | 415                                | 3,5            | 4,5           | 7,58 | 19,5            | 72,5                      | 212                 | 431   | 15,1 | 115   | 83,1  | 496            | 496    | 48,6                  | 54,6               | 251   | 6,20 | 0,01              | 0,58      | 58       | 74        | 66,6       | 762       | 79        | 11      | 167          |
| 11H003     | Sog, Prastartundur        | 14.4.2011  | 14:15 | 128                                | 2,4            | 2,5           | 7,73 | 19,4            | 76,5                      | 186                 | 366   | 16,2 | 99    | 61,3  | 459            | 458    | 24,8                  | 24,3               | 208   | 3,31 | 0,02              | 1,15      | 59       | 64        | 69,9       | 430       | 46        | 11      | 5            |
| 11H004     | Ölfusá, Selfoss           | 7.7.2011   | 10:50 | 314                                |                |               | 7,81 | 21,1            | 64,4                      | 197                 | 294   | 13,1 | 89    | 50,2  | 435            | 433    | 25,5                  | 27,6               | 118   | 3,79 | 0,02              | 1,80      | 48       | 57        | 143,2      | 570       | 61        | 11      | 72           |
| 11H005     | Þjórsá, Urriðafooss       | 7.7.2011   | 12:10 | 380                                |                |               | 7,76 | 20,9            | 73,3                      | 199                 | 333   | 14,8 | 105   | 59,7  | 484            | 483    | 65,2                  | 69,2               | 84    | 8,68 | 0,03              | 2,09      | 56       | 65        | 144,0      | 566       | 51        | 13      | 93           |
| 11H006     | Sog, Prastartundur        | 7.7.2011   | 14:10 | 92                                 |                |               | 8,07 | 20,3            | 74,5                      | 179                 | 353   | 17,4 | 95    | 55,1  | 476            | 474    | 21,3                  | 24,0               | 179   | 3,36 | 0,03              | 2,26      | 51       | 62        | 124,1      | 360       | 25        | 17      | 5            |
| 11H007     | Ölfusá, Selfoss           | 7.10.2011  | 10:00 | 350                                | 4,2            | 5,1           | 7,63 | 20,9            | 76,6                      | 235                 | 323   | 15,3 | 100   | 61,7  | 474            | 473    | 26,9                  | 28,1               | 139   | 3,73 | 0,01              | 0,67      | 55       | 65        | 70,8       | 1432      | 132       | 13      | 81           |
| 11H008     | Þjórsá, Urriðafooss       | 7.10.2011  | 11:10 | 323                                | 4,2            | 6,2           | 7,74 | 21,0            | 74,4                      | 231                 | 389   | 13,5 | 133   | 74,9  | 592            | 591    | 68,9                  | 78,6               | 92    | 8,15 | 0,01              | 0,69      | 65       | 77        | 55,8       | 297       | 22        | 16      | 61           |
| 11H009     | Sog, Prastartundur        | 7.10.2011  | 13:15 | 102                                | 7,9            | 7,5           | 7,77 | 21,0            | 91,4                      | 189                 | 368   | 16,9 | 99    | 59,2  | 484            | 482    | 24,3                  | 23,7               | 182   | 3,54 | 0,02              | 1,16      | 49       | 64        | 76,6       | 316       | 26        | 14      | 5            |
| 11H010     | Ölfusá, Selfoss           | 22.11.2011 | 10:20 | 403                                | 1,8            | 1,1           | 7,57 | 22,3            | 78,5                      | 272                 | 337   | 13,1 | 118   | 79,8  | 450            | 449    | 34,9                  | 32,5               | 151   | 4,01 | 0,07              | 4,85      | 48       | 68        | 44,1       | 302       | 20        | 17      | 13           |
| 11H011     | Þjórsá, Urriðafooss       | 22.11.2011 | 11:40 | 328                                | 1,8            | 2,0           | 7,6  | 22,3            | 86,6                      | 253                 | 405   | 13,6 | 139   | 76,1  | 579            | 578    | 70,5                  | 72,1               | 101   | 8,81 | 0,02              | 1,19      | 57       | 79        | 20,8       | 163       | 13        | 15      | 45           |
| 11H012     | Sog, Prastartundur        | 22.11.2011 | 13:40 | 119                                | 4,2            | 2,7           | 7,64 | 22,3            | 76,2                      | 190                 | 361   | 15,8 | 106   | 61,3  | 470            | 469    | 24,0                  | 24,1               | 182   | 3,24 | 0,01              | 0,59      | 50       | 64        | 17,5       | 250       | 21        | 14      | 1            |
| 12H001     | Ölfusá, Selfoss           | 20.3.2012  | 10:00 | 416                                | 1,1            | 2,1           | 7,58 | 23,0            |                           | 263                 | 361   | 13,3 | 117   | 77,8  | 486            | 485    | 28,1                  | 25,9               | 174   | 4,52 | 0,05              | 3,38      | 71       | 70        | 90,8       | 651       | 71        | 11      | 25           |
| 12H002     | Þjórsá, Urriðafooss       | 20.3.2012  | 11:10 | 336                                | 0,9            | 2,5           | 7,71 | 22,7            |                           | 263                 | 483   | 15,5 | 157   | 101,6 | 686            | 685    | 71,1                  | 65,7               | 134   | 9,77 | 0,05              | 2,77      | 72       | 90        | 109,9      | 506       | 25        | 23      | 25           |
| 12H003     | Sog, Prastartundur        | 20.3.2012  | 12:40 | 119                                | 0,8            | 1,7           | 7,74 | 22,7            |                           | 189                 | 147   | 15,2 | 130   | 48,1  | 461            | 460    | 16,6                  | 25,8               | 180   | 3,92 | 0,18              | 14,60     | 32       | 56        | 73,3       | 427       | 41        | 12      | 9            |
| 12H004     | Ölfusá, Selfoss           | 4.6.2012   | 13:10 | 420                                | 12,7           | 18,5          | 7,63 | 20,4            | 53,3                      | 209                 | 303   | 13,3 | 89    | 53,1  | 414            | 413    | 24,3                  | 25,5               | 121   | 4,98 | 0,01              | 0,85      | 42       | 58        | 34,1       | 312       | 30        | 12      | 22           |
| 12H005     | Þjórsá, Urriðafooss       | 4.6.2012   | 14:15 | 445                                | 12,7           | 15,4          | 7,74 | 19,7            | 60,2                      | 209                 | 344   | 11,7 | 117   | 60,9  | 542            | 541    | 53,0                  | 52,6               | 96    | 8,62 | 0,04              | 2,83      | 48       | 69        | 33,3       | 360       | 40        | 11      | 61           |
| 12H006     | Sog, Prastartundur        | 4.6.2012   | 15:30 | 108                                | 12,1           | 15,3          | 7,89 | 19,7            | 63,3                      | 196                 | 381   | 13,9 | 110   | 63,0  | 543            | 541    | 25,1                  | 27,1               | 180   | 4,21 | 0,04              | 2,57      | 47       | 69        | 35,0       | 262       | 16        | 19      | 14           |
| 12H007     | Ölfusá, Selfoss           | 21.8.2012  | 9:50  | 354                                | 11,6           | 15,6          | 7,81 | 22,0            | 64,9                      | 280                 | 310   | 11,6 | 98    | 49,8  | 449            | 447    | 23,5                  | 24,1               | 114   | 3,69 | 0,00              | 0,10      | 53       | 59        | 28,3       | 298       | 29        | 12      | 34           |
| 12H008     | Þjórsá, Urriðafooss       | 21.8.2012  | 11:10 | 521                                | 11,3           | 15,8          | 7,76 | 21,8            | 68,3                      | 236                 | 306   | 9,5  | 115   | 55,1  | 488            | 487    | 39,3                  | 40,1               | 57    | 5,80 | 0,03              | 1,95      | 48       | 59        | 19,1       | 326       | 32        | 12      | 178          |
| 12H009     | Tungná v/Hrauneyjavirkjun | 21.8.2012  | 13:20 | 246                                | 10,9           | 15,7          | 7,8  | 21,8            | 85,2                      | 270                 | 392   | 14,4 | 132   | 80,2  | 590            | 589    | 67,7                  | 67,4               | 71    | 8,08 | 0,03              | 1,67      | 62       | 76        | 23,3       | 180       | 21        | 10      | 65           |
| 12H010     | Sog, Prastartundur        | 21.8.2012  | 16:20 | 118                                | 19,2           | 13,8          | 8,68 | 22,2            | 76,9                      | 197                 | 385   | 15,2 | 107   | 60,1  | 477            | 467    | 24,0                  | 24,2               | 173   | 3,36 | 0,03              | 2,28      | 47       | 64        | 33,3       | 218       | 17        | 15      | 2            |
| 12H011     | Þjórsá, Urriðafooss       | 20.11.2012 | 10:15 | 297                                | 0,0            | -2,5          | 7,76 | 20,7            | 102,2                     | 280                 | 548   | 15,9 | 171   | 101,6 | 817            | 816    | 76,7                  | 66,1               | 100   | 8,47 | 0,05              | 2,36      | 69       | 99        | 22,5       |           |           |         | 11           |
| 12H012     | Tungná v/Hrauneyjavirkjun | 20.11.2012 | 12:45 | 221                                | 0,7            | -4,2          | 7,73 | 20,1            | 96,3                      | 236                 | 487   | 14,4 | 165   | 100,8 | 826            | 825    | 73,9                  | 65,1               | 77    | 6,88 | 0,01              | 0,36      | 65       | 95        | 15,0       |           |           |         | 29           |
| 12H013     | Ölfusá, Selfoss           | 20.11.2012 | 15:10 | 269                                | 0,1            | -0,7          | 7,47 | 20,1            | 80,3                      | 270                 | 397   | 16,8 | 122   | 71,2  | 605            | 604    | 31,8                  | 29,4               | 156   | 3,99 | 0,02              | 1,51      | 61       | 71        | 24,1       |           |           |         | 24           |
| 12H014     | Sog, Prastartundur        | 20.11.2012 | 16:15 | 85,3                               | 4,0            | 0,2           | 7,53 | 20,1            | 76,3                      | 196                 | 391   | 17,4 | 117   | 66,7  | 558            | 557    | 27,5                  | 25,0               | 174   | 3,28 | 0,01              | 0,60      | 45       | 71        | 31,6       |           |           |         | 2            |
| 13H001     | Þjórsá, Urriðafooss       | 26.2.2013  | 12:20 | 1309                               | 3,2            | 8,0           | 7,3  | 21,2            | 64,9                      | 175                 | 318   | 11,5 | 83    | 52,7  | 515            | 515    | 39,3                  | 41,6               | 75    | 6,19 | 0,08              | 6,11      | 52       | 60        | 72,4       |           |           |         | 240          |
| 13H002     | Ölfusá, Selfoss           | 26.2.2013  | 13:10 | 1248                               | 4,2            | 7,0           | 7,16 | 21,2            | 18,7                      | 105                 | 119   | 8,9  | 37    | 26,1  | 212            | 212    | 11,8                  | 12,2               | 47    | 2,76 | 0,03              | 6,06      | 29       | 27        | 99,1       |           |           |         | 406          |
| 13H003     | Ölfusá, Selfoss           | 29.4.2013  | 10:30 | 253                                | 3,5            | 6,7           | 7,53 | 21,0            | 72,6                      | 216                 | 370   | 12,8 | 94    | 58,8  | 501            | 500    | 26,2                  | 27,2               | 151   | 4,26 | 0,02              | 1,67      | 52       | 65        | 11,7       |           |           |         | 10           |
| 13H004     | Þjórsá, Urriðafooss       | 29.4.2013  | 11:30 | 257                                | 2,0            | 5,9           | 7,62 | 21,0            | 72,6                      | 244                 | 526   | 12,2 | 114   | 72,0  | 715            | 714    | 52,7                  | 56,3               | 101   | 9,14 | 0,03              | 1,45      | 63       | 85        | <11        |           |           |         | 81           |
| 13H005     | Tungná v/Hrauneyjavirkjun | 29.4.2013  | 13:30 | 219                                | 1,7            | 2,5           | 7,71 | 21,0            | 73,6                      | 219                 | 492   | 12,6 | 134   | 91,3  | 747            | 746    | 68,3                  | 70,4               | 82    | 8,11 | 0,02              | 1,13      | 66       | 87        | <11        |           |           |         | 92           |
| 13H006     | Sog, Prastartundur        | 29.4.2013  | 16:30 | 118                                | 4,5            | 3,7           | 7,68 | 21,0            | 72,1                      | 173                 | 378   | 14,5 | 96    | 58,0  | 477            | 476    | 24,1                  | 25,8               | 174   | 3,63 | 0,01              | 0,38      | 50       | 62        | 15,8       |           |           |         | 5            |
| 13H007     | Ölfusá, Selfoss           | 19.6.2013  | 10:30 | 327                                | 10,2           |               | 7,55 | 20,2            | 65,2                      | 219                 | 346   | 12,5 | 95    | 58,8  | 488            | 487    | 27,2                  | 28,3               | 126   | 4,16 | 0,01              | 0,65      | 53       | 63        | 11,7       |           |           |         | 10           |
| 13H008     | Þjórsá, Urriðafooss       | 19.6.2013  | 11:15 | 325                                | 10,            |               |      |                 |                           |                     |       |      |       |       |                |        |                       |                    |       |      |                   |           |          |           |            |           |           |         |              |

Tafla 3b. Niðurstöður vatnssýna af Suðurlandi í tímaröð: næringarefni og snefilefni.

| Sýna-<br>númer | Staðsetning               | Dagsetning | kl.   | P <sub>total</sub><br>µM | PO <sub>4</sub> -P<br>µM | NO <sub>3</sub> -N<br>µM | NO <sub>2</sub> -N<br>µM | NH <sub>4</sub> -N<br>µM | N <sub>total</sub><br>µM | Al<br>µM | Fe<br>µM | B<br>µM | Mn<br>µM | Sr<br>µM | As<br>nM | Ba<br>nM | Cd<br>nM    | Co<br>nM | Cr<br>nM | Cu<br>nM | Ni<br>nM | Pb<br>nM | Zn<br>nM | Hg<br>nM | Mo<br>nM | Ti<br>nM | V<br>µM |
|----------------|---------------------------|------------|-------|--------------------------|--------------------------|--------------------------|--------------------------|--------------------------|--------------------------|----------|----------|---------|----------|----------|----------|----------|-------------|----------|----------|----------|----------|----------|----------|----------|----------|----------|---------|
| 10H001         | Pjorsá, Urriðafoss        | 12.5.2010  | 10:30 | 0,675                    | 0,555                    | 0,119                    | <0,02                    | 2,13                     | 2,97                     | 0,723    | 0,546    | 0,908   | 0,044    | 0,059    | 0,980    | 0,364    | <0,018      | 0,492    | 3,50     | 3,38     | 1,82     | 0,097    | 7,19     | <0,01    | 3,10     | 43,2     | 0,196   |
| 10H002         | Ölfúsá, Selfoss           | 12.5.2010  | 11:30 | 0,358                    | 0,206                    | 0,166                    | 0,027                    | 1,27                     | 3,53                     | 1,338    | 1,844    | 0,429   | 0,062    | 0,059    | <0,67    | 0,903    | 0,025       | 0,441    | 13,69    | 4,56     | 1,69     | 0,101    | 7,94     | <0,01    | 1,96     | 57,6     | 0,294   |
| 10H003         | Sogið v/Prastarlund       | 12.5.2010  | 13:25 | 0,308                    | 0,213                    | <0,1                     | 0,043                    | 1,83                     | 4,23                     | 0,382    | 0,190    | 0,594   | 0,031    | 0,058    | 0,726    | 0,779    | <0,018      | 0,171    | 16,14    | 3,10     | 1,79     | 0,105    | 8,37     | <0,01    | 1,34     | <2,09    | 0,355   |
| 10H004         | Ölfúsá, Selfoss           | 6.7.2010   | 10:35 | 0,352                    | 0,155                    | <0,1                     | 0,021                    | 1,10                     | 2,63                     | 0,693    | 0,141    | 0,401   | 0,039    | 0,053    | 0,714    | 0,375    | <0,018      | 0,246    | 12,27    | 3,79     | 1,96     | 0,082    | 12,97    | <0,01    | 1,93     | 11,8     | 0,300   |
| 10H005         | Pjorsá, Urriðafoss        | 6.9.2010   | 11:30 | 0,510                    | 0,324                    | 0,370                    | 0,043                    | 1,64                     | 2,44                     | 0,545    | 0,038    | 0,408   | 0,089    | 0,024    | 0,853    | 0,120    | <0,018      | 0,168    | 1,96     | 2,63     | 1,64     | 0,091    | 5,44     | <0,01    | 2,87     | 3,30     | 0,178   |
| 10H006         | Sogið v/Prastarlund       | 6.7.2010   | 13:45 | 0,289                    | <0,1                     | <0,1                     | 0,030                    | 2,04                     | 3,21                     | 0,523    | 0,195    | 0,612   | 0,016    | 0,056    | 1,085    | 0,917    | <0,018      | 0,166    | 20,19    | 1,73     | 1,23     | 0,084    | 10,95    | <0,01    | 1,47     | <2,09    | 0,373   |
| 10H007         | Ölfúsá, Selfoss           | 6.9.2010   | 10:00 | 0,284                    | 0,162                    | 1,245                    | 0,025                    | 1,47                     | 3,49                     | 0,671    | 0,245    | 0,426   | 0,072    | 0,058    | 0,757    | 0,411    | <0,018      | 0,285    | 11,65    | 4,74     | 1,77     | 0,103    | 23,40    | <0,01    | 1,98     | 12,78    | 0,247   |
| 10H008         | Pjorsá, Urriðafoss        | 6.9.2010   | 11:15 | 0,733                    | 0,462                    | 1,298                    | <0,02                    | 2,40                     | 3,37                     | 0,571    | 0,082    | 0,999   | 0,064    | 0,054    | 1,401    | 0,232    | <0,018      | 0,249    | 2,73     | 3,21     | 2,49     | 0,106    | 21,10    | <0,01    | 4,33     | 12,07    | 0,212   |
| 10H009         | Sogið v/Prastarlund       | 6.9.2010   | 14:00 | 0,230                    | 0,118                    | 0,161                    | 0,021                    | 2,56                     | 2,71                     | 0,324    | 0,319    | 0,574   | 0,034    | 0,059    | <0,67    | 1,194    | <0,018      | 0,195    | 15,46    | 2,72     | 1,15     | 0,113    | 25,54    | <0,01    | 1,46     | <2,09    | 0,312   |
| 10H010         | Pjorsá, Urriðafoss        | 1.12.2010  | 10:50 | 1,233                    | 0,656                    | 1,601                    | 0,028                    | 4,69                     | 4,48                     | 0,079    | 1,156    | 0,038   | 0,060    | 1,070    | 0,202    | 0,036    | 0,200       | 7,50     | 3,30     | 1,48     | 0,092    | 5,81     | <0,01    | 5,00     | <1,0     | 0,397    |         |
| 10H011         | Ölfúsá, Selfoss           | 1.12.2010  | 11:35 | 0,378                    | 0,199                    | 2,995                    | 0,024                    | 5,13                     | 1,464                    | 1,264    | 0,496    | 0,181   | 0,061    | 0,67     | 0,837    | <0,018   | 0,462       | 15,69    | 4,99     | 2,15     | 0,086    | 9,07     | <0,01    | 2,58     | 62,0     | 0,304    |         |
| 10H012         | Sogið v/Prastarlund       | 1.12.2010  | 13:30 | 0,329                    | 0,134                    | 0,208                    | 0,026                    | 2,75                     | 2,251                    | 0,299    | 0,568    | 0,072   | 0,058    | <0,67    | 0,859    | <0,018   | 0,336       | 17,77    | 2,75     | 1,63     | 0,105    | 17,9     | <0,01    | 1,55     | 2,40     | 0,330    |         |
| 11H001         | Ölfúsá, Selfoss           | 14.4.2011  | 10:35 | 0,233                    | 0,233                    | 4,75                     | 0,062                    | 1,26                     | 3,90                     | 0,775    | 2,525    | 0,524   | 0,095    | 0,081    | <0,67    | 1,041    | <0,018      | 0,713    | 8,0      | 5,52     | 2,64     | 0,115    | 13,06    | <0,01    | 1,78     | 37,2     | 0,153   |
| 11H002         | Pjorsá, Urriðafoss        | 14.4.2011  | 11:55 | 0,620                    | 0,286                    | 1,41                     | 0,046                    | 1,58                     | 2,30                     | 0,537    | 0,709    | 0,97    | 0,108    | 0,085    | 0,893    | 0,823    | <0,018      | 0,765    | 2,88     | 4,6      | 1,96     | 0,088    | 10,37    | <0,01    | 1,61     | 34,25    | 0,204   |
| 11H003         | Sogið v/Prastarlund       | 14.4.2011  | 14:15 | 0,247                    | 0,321                    | 0,769                    | 0,052                    | 0,614                    | 1,72                     | 0,302    | 0,317    | 0,70    | 0,044    | 0,065    | 0,837    | 1,136    | <0,018      | 0,400    | 13,3     | 2,52     | 1,55     | 0,090    | 13,46    | <0,01    | 1,43     | 3,30     | 0,257   |
| 11H004         | Ölfúsá, Selfoss           | 7.7.2011   | 0:00  | 0,397                    | 0,126                    | 0,760                    | 0,040                    | 0,627                    | 1,66                     | 0,93     | 0,23     | 0,734   | 0,062    | 0,049    | <0,67    | 0,446    | <0,018      | 0,355    | 13,39    | 5,16     | 1,99     | 0,093    | 5,0      | <0,01    | 2,554    | 20,5     | 0,322   |
| 11H005         | Pjorsá, Urriðafoss        | 7.7.2011   | 0:00  | 0,865                    | 0,584                    | 1,13                     | 0,051                    | 1,15                     | 0,92                     | 0,808    | 0,138    | 1,961   | 0,031    | 0,055    | 1,66     | 0,358    | <0,018      | 0,154    | 3,40     | 3,71     | 1,62     | 0,070    | <3,06    | <0,01    | 5,232    | 16,54    | 0,239   |
| 11H006         | Sogið v/Prastarlund       | 7.7.2011   | 0:00  | 0,290                    | 0,246                    | 0,36                     | 0,044                    | 0,618                    | 2,03                     | 0,567    | 0,252    | 1,295   | 0,028    | 0,049    | 0,976    | 1,187    | <0,018      | 0,137    | 21,2     | 3,19     | 1,05     | 0,091    | 5,38     | <0,01    | 2,022    | 2,03     | 0,410   |
| 11H007         | Ölfúsá, Selfoss           | 7.10.2011  | 10:00 | 0,215                    | 0,366                    | 0,63                     | 0,091                    | 0,672                    | 2,30                     | 0,723    | 0,66     | 0,895   | 0,129    | 0,058    | <0,67    | 0,98     | 0,023129615 | 0,66     | 11,4     | 5,70     | 3,31     | 0,094    | 8,29     | <0,01    | 2,70     | 23,2     | 0,259   |
| 11H008         | Pjorsá, Urriðafoss        | 7.10.2011  | 11:10 | 0,917                    | 0,766                    | 1,24                     | 0,043                    | 1,20                     | 1,43                     | 0,612    | 0,081    | 1,89    | 0,066    | 0,058    | 1,062    | 0,320    | <0,018      | 0,283    | 3,69     | 26,28    | 2,42     | 0,068    | 3,58     | <0,01    | 5,25     | 8,0      | 0,277   |
| 11H009         | Sogið v/Prastarlund       | 7.10.2011  | 13:15 | 0,229                    | 0,246                    | 0,233                    | 0,033                    | 0,718                    | 1,28                     | 0,301    | 0,498    | 1,212   | 0,050    | 0,052    | <0,67    | 1,034    | <0,018      | 0,249    | 16,08    | 2,74     | 1,81     | 0,078    | 4,73     | <0,01    | 1,87     | 4,0      | 0,347   |
| 11H010         | Ölfúsá, Selfoss           | 22.11.2011 | 10:20 | 0,329                    | 0,290                    | 3,82                     | 0,046                    | 1,83                     | 4,04                     | 2,26     | 0,510    | 0,186   | 0,085    | <0,67    | 1,121    | <0,018   | 1,242       | 9,6      | 6,23     | 4,77     | 0,058    | 11,42    | <0,01    | 2,40     | 37,0     | 0,198    |         |
| 11H011         | Pjorsá, Urriðafoss        | 22.11.2011 | 11:40 | 0,859                    | 0,566                    | 2,62                     | 0,076                    | 1,72                     | 2,99                     | 0,44     | 0,125    | 0,934   | 0,108    | 0,071    | 1,33     | 0,425    | <0,018      | 0,529    | 2,10     | 3,16     | 2,01     | 0,053    | 3,24     | <0,01    | 5,02     | 6,3      | 0,243   |
| 11H012         | Sogið v/Prastarlund       | 22.11.2011 | 13:40 | 0,311                    | 0,246                    | 0,923                    | 0,044                    | 0,798                    | 1,38                     | 0,298    | 0,347    | 0,607   | 0,038    | 0,060    | 0,98     | 1,092    | <0,018      | 0,277    | 16,8     | 2,30     | 2,39     | 0,064    | 4,63     | <0,01    | 1,57     | 4,64     | 0,326   |
| 12H001         | Ölfúsá, Selfoss           | 20.3.2012  | 10:00 | 0,304                    | 0,174                    | 3,57                     | 0,066                    | 1,209                    | 5,81                     | 0,94     | 3,38     | 0,449   | 0,231    | 0,091    | <0,67    | 1,092    | <0,018      | 1,217    | 10,2     | 4,56     | 3,32     | 0,056    | 7,89     | <0,01    | 2,10     | 40,1     | 0,202   |
| 12H002         | Pjorsá, Urriðafoss        | 20.3.2012  | 11:10 | 0,959                    | 0,657                    | 2,28                     | 0,096                    | 0,939                    | 3,15                     | 0,719    | 0,711    | 1,110   | 0,129    | 0,104    | 0,675    | 0,585    | <0,018      | 0,589    | 4,1      | 3,76     | 2,57     | <0,048   | 6,30     | <0,01    | 4,39     | 53,68    | 0,277   |
| 12H003         | Sogið v/Prastarlund       | 20.3.2012  | 12:40 | 0,329                    | 0,184                    | 0,55                     | 0,066                    | 0,113                    | 2,41                     | 0,789    | 0,718    | 0,354   | 0,037    | 0,021    | <0,67    | 0,250    | <0,018      | 0,288    | 0,89     | 5,95     | 1,51     | <0,048   | 4,36     | <0,01    | 1,38     | 114,5    | 0,087   |
| 12H004         | Ölfúsá, Selfoss           | 4.6.2012   | 13:10 | 0,394                    | 0,162                    | 0,087                    | 0,777                    | 3,88                     | 2,168                    | 2,005    | 0,390    | 0,055   | 0,063    | <0,67    | 1,100    | <0,018   | 0,638       | 12,39    | 5,79     | 2,15     | 0,052    | 7,43     | <0,01    | 1,855    | 112,6    | 0,306    |         |
| 12H005         | Pjorsá, Urriðafoss        | 4.6.2012   | 14:15 | 0,655                    | 0,511                    | 1,33                     | 0,104                    | 0,161                    | 2,57                     | 1,041    | 0,521    | 0,778   | 0,034    | 0,060    | 1,152    | 0,414    | <0,018      | 0,280    | 3,3      | 3,45     | 1,87     | <0,048   | 3,30     | <0,01    | 1,18     | 55,6     | 0,206   |
| 12H006         | Sogið v/Prastarlund       | 4.6.2012   | 15:30 | 0,277                    | 0,160                    | 0,30                     | 0,085                    | 0,269                    | 2,89                     | 0,46     | 0,236    | 0,704   | 0,026    | 0,060    | 1,132    | 0,666    | <0,018      | 0,136    | 15,83    | 2,55     | 1,98     | <0,048   | 6,15     | <0,01    | 3,47     | 3,3      | 0,379   |
| 12H007         | Ölfúsá, Selfoss           | 21.8.2012  | 9:50  | 0,329                    | 0,252                    | 0,82                     | 0,055                    | 1,013                    | 2,57                     | 0,91     | 0,249    | 0,422   | 0,034    | 0,056    | 0,697    | 0,392    | <0,018      | 0,231    | 12,90    | 3,86     | 2,57     | <0,048   | <3,06    | <0,01    | 1,82     | 23,6     | 0,291   |
| 12H008         | Pjorsá, Urriðafoss        | 21.8.2012  | 11:10 | 0,613                    | 0,468                    | 1,78                     | 0,049                    | 0,547                    | 3,09                     | 0,675    | 0,039    | 0,640   | 0,022    | 0,038    | 0,938    | 0,150    | <0,018      | 0,126    | 1,8      | 2,36     | 2,61     | <0,048   | <3,06    | <0,01    | 2,91     | 3,74     | 0,214   |
| 12H009         | Tungná v/Hrauneyjavirkjun | 21.8.2012  | 13:20 | 0,943                    | 0,357                    | 1,107                    | 0,096                    | 0,189                    | 2,48                     | 0,767    | 0,120    | 1,101   | 0,019    | 0,096    | 1,415    | 0,215    | <0,018      | 0,088    | 2,1      | 2,408    | 2,33     | <0,048   | <3,06    | <0,01    | 3,49     | 18,90    | 0,273   |
| 12H010         | Sogið v/Prastarlund       | 21.8.2012  | 16:20 | 0,214                    | <0,07                    | 0,728                    | 0,054                    | 1,652                    | 3,22                     | 0,560    | 0,326    | 0,62    | 0,013    | 0,064    | 1,160    | 0,808    | <0,018      | 0,183    | 16,16    | 2,41     | 1,87     | 0,068    | 4,99     | <0,01    | 1,43     | 3,3      | 0,369   |
| 12H011         | Pjorsá, Urriðafoss        | 20.11.2012 | 10:15 | 0,078                    | 0,604                    | 2,515                    | 0,088                    | 1,078                    | 2,07                     | 0,411    | 0,12     | 1,073   | 0,050    | 0,089    | 0,886    | 0,281    | <0,018      | 0,173    | 5,77     | 2,14     | <0,852   | 0,055    | <3,06    | <0,01    | 5,00     | 9,2      | 0,369   |
| 12H012         | Tungná v/Hrauneyjavirkjun | 20.11.2012 | 12:45 | 0,952                    | 0,494                    | 1,76                     | 0,062                    | 0,639                    | 2,71                     | 0,567    | 0,161    | 1,073   | 0,012    | 0,081    | <0,67    | 0,166    | <0,018      | <0,097   | 6,0      | 2,14     | 0,97     | 0,055    | 3,18     | <0,01    | 4,12     | 25,48    | 0,342   |
| 12H013         | Ölfúsá, Selfoss           | 20.11.2012 | 15:10 | 0,358                    | 0,226                    | 3,18                     | 0,070                    | 0,800                    | 3,66                     | 1,394    | 2,919    | 0,53    | 0,244    | 0,077    | <0,67    | 0,939    | <0,018      | 0,840    | 15,56    | 5,933    | 1,87     | 0,110    | 6,010    | <0,01    | 2,27     | 57,2     | 0,277   |
| 12H014         | Sogið v/Prastarlund       | 20.11.2012 | 16:15 | 0,235                    | 0,178                    | 1,01                     | <0,04                    | 0,815                    | 2,39                     | 0,212    | 0,240    | 0,70    | 0,050    | 0,062    | <0,67    | 0,699    | <0,018      | 0,356    | 15,27    | 2,20     | <0,852   | 0,079    | 4,833    | <0,01    | 1,40     | 1,7      | 0,289   |
| 13H001         | Pjorsá, Urriðafoss        | 26.2.2013  | 12:20 | 0,617                    | 0,619                    | 2,25                     | <0,04                    | 0,233                    | 4,03                     | 0,486    | 0,552    | 0,60    | 0,082    | 0,047    | 0,830    | 0,154    | <0,018      | 0,463    | 2,79     | 5,59     | 1,55     | 0,123    | 4,51     | <0,01    | 2,97     | 36,8     | 0,190   |
| 13H002         | Ölfúsá, Selfoss           | 26.2.2013  | 13:10 | 0,103                    | 0,072                    | 2,920                    | 0,041                    | 0,689                    | 4,92                     | 0,203    | 0,37     | 0,220   | 0,299    | 0,030    | <0,67    | 0,345    | <0,018      | 1,142    | 1,6      | 8,23     | 2,198    | 0,091    | 3,686    | <0,01    | 0,77     | 7,4      | 0,070   |
| 13H003         | Ölfúsá, Selfoss           | 28.4.2013  | 10:30 | 0,308                    | 0,263                    | 0,30                     | <0,04                    | 0,419                    | 2,31                     | 0,986    | 0,241    | 0,51    | 0,119    | 0,088    | 0,882    | 0,947    | <0,018      | 0,592    | 15,71    | 4,75     | 1,25     | 0,096    | 6,224    | 0,015    | 2,40     | 42,4     | 0,300   |
| 13H004         | Pjorsá, Urriðafoss        | 28.4.2013  | 11:30 | 1,056                    | 1,065                    | 0,222                    | <0,04                    |                          |                          |          |          |         |          |          |          |          |             |          |          |          |          |          |          |          |          |          |         |



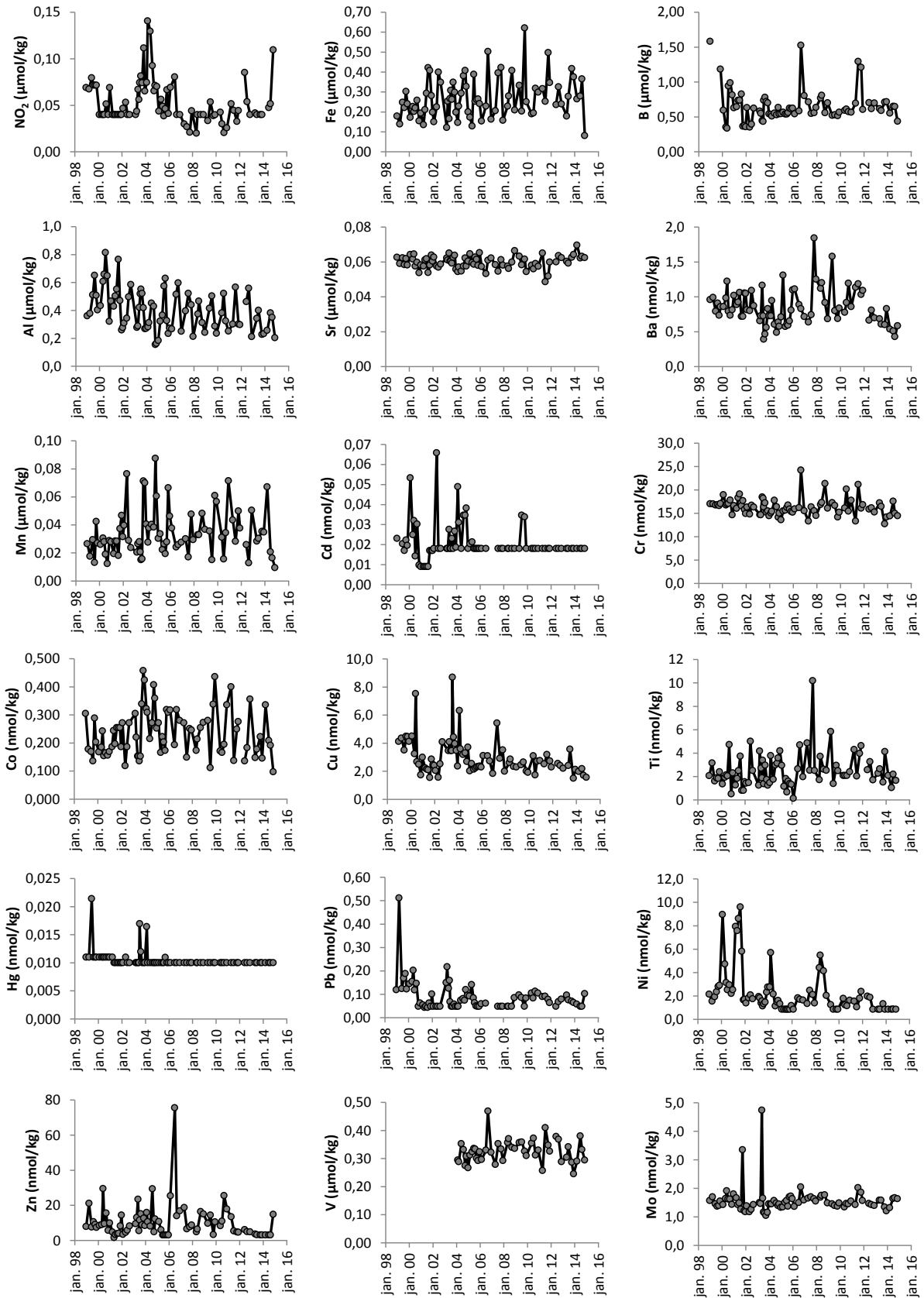
Sýnum er safnað úr Sogi af brú við Þrastalund, rétt ofan við staðinn þar sem þessi mynd er tekin. Litlu neðar á vatnasviðinu rennur Sogið í og saman mynda þær Ölfusá. Sogið er oft um þriðjungur af rennsli Ölfusár við Selfoss.

Tafla 4. Efnasamsetning, rennsli og aurburður Sogs við Prastarlund 2010 - 2014.

| Sýna<br>númer  | Dagsetning | kl.   | Rennsli<br>m <sup>3</sup> /sek | Vatns-<br>hiti °C        | Loft-<br>hiti °C         | pH                       | T °C<br>(pH/<br>leiðni)  | Leiðni<br>µS/cm        | SiO <sub>2</sub><br>µM | Na<br>µM | K<br>µM | Ca<br>µM | Mg<br>µM | Alk (a)<br>µeq/kg | DIC<br>µM | S <sub>total</sub><br>µM | SO <sub>4</sub><br>µM | Cl<br>µM | F<br>µM  | Hleðslu-<br>jafnvægi | %<br>skekka | TDS<br>mg/l<br>mælt | TDS<br>mg/kg<br>reiknað | DOC<br>µM | POC<br>µg/kg | PON<br>µg/kg | C/N<br>mól | Svifaur<br>mg/l |  |  |
|----------------|------------|-------|--------------------------------|--------------------------|--------------------------|--------------------------|--------------------------|------------------------|------------------------|----------|---------|----------|----------|-------------------|-----------|--------------------------|-----------------------|----------|----------|----------------------|-------------|---------------------|-------------------------|-----------|--------------|--------------|------------|-----------------|--|--|
| 10H003         | 12.5.2010  | 13:25 | 99,8                           | 6,6                      | 10,1                     | 7,73                     | 22,1                     | 70,3                   | 193                    | 371      | 15,3    | 108      | 58,0     | 502               | 501       | 27,7                     | 22,0                  | 180      | 3,11     | 0,01                 | 0,8         | 53                  | 76                      | 43,3      | 269          | 33,2         | 9,4        | 18,7            |  |  |
| 10H006         | 6.7.2010   | 13:45 | 97                             | 12,0                     | 13,4                     | 8,14                     | 20,7                     |                        | 192                    | 373      | 15,9    | 107      | 57,2     | 468               | 465       | 27,2                     | 22,1                  | 179      | 3,15     | 0,02                 | 1,7         | 55                  | 74                      | 37,5      | 160          | 17,7         | 10,6       | 8,6             |  |  |
| 10H009         | 6.9.2010   | 14:00 | 107                            | 8,7                      | 10,0                     | 7,85                     | 21,6                     | 70,4                   | 195                    | 369      | 16,0    | 109      | 58,0     | 484               | 483       | 27,6                     | 21,2                  | 175      | 3,06     | 0,01                 | 1,0         | 54                  | 74                      | 20,0      | 179          | <6,5         | >31,9      | 38,5            |  |  |
| 10H012         | 1.12.2010  | 13:30 | 78                             | 3,3                      | 1,5                      | 7,55                     | 21,9                     | 74,8                   | 191                    | 361      | 15,8    | 105      | 60,5     | 482               | 481       | 0,0                      | 21,9                  | 179      | 3,12     | 0,00                 | 0,0         | 51,5                | 74                      | 72,4      | 409          | 50,0         | 9,5        | 177,7           |  |  |
| 11H003         | 14.4.2011  | 14:15 | 128                            | 2,4                      | 2,5                      | 7,73                     | 19,4                     | 76,5                   | 186                    | 366      | 16,2    | 99       | 61,3     | 459               | 458       | 24,8                     | 24,3                  | 208      | 3,31     | 0,02                 | 1,1         | 59                  | 64                      | 69,9      | 430          | 46,3         | 10,8       | 5               |  |  |
| 11H006         | 7.7.2011   | 14:10 | 92                             |                          |                          | 8,07                     | 20,3                     | 74,5                   | 179                    | 353      | 17,4    | 95       | 55,1     | 476               | 474       | 21,3                     | 24,0                  | 179      | 3,36     | 0,03                 | 2,3         | 51                  | 62                      | 124,1     | 360          | 24,6         | 17,1       | 4,7             |  |  |
| 11H009         | 7.10.2011  | 13:15 | 102                            | 7,9                      | 7,5                      | 7,77                     | 21,0                     | 91,4                   | 189                    | 368      | 16,9    | 99       | 59,2     | 484               | 482       | 24,3                     | 23,7                  | 182      | 3,54     | 0,02                 | 1,2         | 49                  | 64                      | 76,6      | 316          | 25,9         | 14,2       | 5,3             |  |  |
| 11H012         | 22.11.2011 | 13:40 | 119                            | 4,2                      | 2,7                      | 7,64                     | 22,3                     | 76,2                   | 190                    | 361      | 15,8    | 106      | 61,3     | 470               | 469       | 24,0                     | 24,1                  | 182      | 3,24     | 0,01                 | 0,6         | 50                  | 64                      | 17,5      | 250          | 21,3         | 13,7       | 0,8             |  |  |
| 12H003         | 20.3.2012  | 12:40 | 119                            | 0,8                      | 1,7                      | 7,74                     | 22,7                     |                        | 189                    | 147      | 15,2    | 130      | 48,1     | 461               | 460       | 16,6                     | 25,8                  | 180      | 3,92     | 0,18                 | 14,6        | 32                  | 56                      | 73,3      | 427          | 41,4         | 12,0       | 9               |  |  |
| 12H006         | 4.6.2012   | 15:30 | 108                            | 12,1                     | 15,3                     | 7,89                     | 19,7                     | 63                     | 196                    | 381      | 13,9    | 110      | 63,0     | 543               | 541       | 25,1                     | 27,1                  | 180      | 4,21     | 0,04                 | 2,6         | 47                  | 69                      | 35,0      | 262          | 16,2         | 18,9       | 13,7            |  |  |
| 12H010         | 21.8.2012  | 16:20 | 118                            | 19,2                     | 13,8                     | 8,68                     | 22,2                     | 76,9                   | 197                    | 385      | 15,2    | 107      | 60,1     | 477               | 467       | 24,0                     | 24,2                  | 173      | 3,36     | 0,03                 | 2,3         | 47                  | 64                      | 33,3      | 218          | 16,7         | 15,2       | 1,9             |  |  |
| 12H014         | 20.11.2012 | 16:15 | 85,3                           | 4,0                      | 0,2                      | 7,53                     | 20,1                     | 76,3                   | 196                    | 391      | 17,4    | 117      | 66,7     | 558               | 557       | 27,5                     | 25,0                  | 174      | 3,28     | 0,01                 | 0,6         | 45                  | 71                      | 31,6      |              |              |            | 2,2             |  |  |
| 13H006         | 29.4.2013  | 16:30 | 118                            | 4,5                      | 3,7                      | 7,68                     | 21,0                     | 72,1                   | 173                    | 378      | 14,5    | 96       | 58,0     | 477               | 476       | 24,1                     | 25,8                  | 174      | 3,63     | 0,01                 | 0,4         | 50                  | 62                      | 15,8      |              |              |            | 4,7             |  |  |
| 13H010         | 19.6.2013  | 16:45 | 97,3                           | 9,6                      | 13,7                     | 7,76                     | 20,2                     | 52,3                   | 171                    | 372      | 13,9    | 94       | 57,2     | 535               | 534       | 23,3                     | 25,4                  | 172      | 3,57     | 0,07                 | 5,0         | 51                  | 65                      | <11       |              |              |            | 1,2             |  |  |
| 13H013         | 3.10.2013  | 14:00 | 104                            | 8,0                      | 8,2                      | 7,51                     | 20,6                     | 74,2                   | 175                    | 409      | 15,4    | 94       | 60,5     | 488               | 487       | 23,4                     | 24,9                  | 171      | 3,56     | 0,02                 | 1,4         | 52                  | 63                      | 37,8      |              |              |            | 20,6            |  |  |
| 13H016         | 27.11.2013 | 13:45 | 123                            | 3,3                      | 3,8                      | 7,35                     | 22,7                     | 75,3                   | 177                    | 408      | 14,9    | 92       | 61,3     | 525               | 525       | 23,9                     | 25,5                  | 184      | 3,51     | 0,03                 | 2,3         | 48                  | 66                      | 40,1      |              |              |            | 9,4             |  |  |
| 14H006         | 12.3.2014  | 13:20 | 104                            | 1,4                      | 4,0                      | 7,62                     | 21,5                     | 75                     | 186                    | 380      | 16,5    | 101      | 62,5     | 474               | 474       | 24,4                     | 25,5                  | 171      | 3,38     | 0,02                 | 1,6         | 48                  | 63                      | 63,1      |              |              |            | 8,3             |  |  |
| 14H013         | 23.6.2014  | 19:15 | 104                            | 12,0                     | 13,1                     | 7,93                     | 22,1                     | 58,8                   | 179                    | 376      | 14,8    | 101      | 57,2     | 494               | 492       | 23,8                     | 26,5                  | 169      | 3,51     | 0,01                 | 0,9         | 58                  | 63                      | 26,6      |              |              |            | 6,2             |  |  |
| 14H020         | 14.8.2014  | 19:00 | 83                             | 12,2                     |                          | 8,07                     | 20,5                     | 60                     | 187                    | 390      | 15,5    | 102      | 58,0     | 495               | 493       | 24,4                     | 24,5                  | 164      | 3,78     | 0,01                 | 1,0         | 53                  | 64                      | 23,7      |              |              |            | 9,3             |  |  |
| 14H029         | 6.11.2014  | 18:30 | 108                            | 6,1                      | 6,6                      | 7,56                     | 22,2                     | 53,7                   | 171                    | 372      | 15,9    | 104      | 58,0     | 500               | 499       | 24,9                     | 25,1                  | 159      | 3,81     | 0,00                 | 0,11        | 50                  | 63                      | 13,2      |              |              |            | 3,7             |  |  |
|                |            |       |                                |                          |                          |                          |                          |                        |                        |          |         |          |          |                   |           |                          |                       |          |          |                      |             |                     |                         |           |              |              |            |                 |  |  |
|                |            |       |                                |                          |                          |                          |                          |                        |                        |          |         |          |          |                   |           |                          |                       |          |          |                      |             |                     |                         |           |              |              |            |                 |  |  |
| Sýna-<br>númer | Dagsetning | kl.   | P<br>µM                        | PO <sub>4</sub> -P<br>µM | NO <sub>3</sub> -N<br>µM | NO <sub>2</sub> -N<br>µM | NH <sub>4</sub> -N<br>µM | N <sub>tot</sub><br>µM | Al<br>µM               | Fe<br>µM | B<br>µM | Mn<br>µM | Sr<br>µM | As<br>nM          | Ba<br>nM  | Cd<br>nM                 | Co<br>nM              | Cr<br>nM | Cu<br>nM | Ni<br>nM             | Pb<br>nM    | Zn<br>nM            | Hg<br>nM                | Mo<br>nM  | Ti<br>nM     | V<br>µM      |            |                 |  |  |
| 10H003         | 12.5.2010  | 13:25 | 0,308                          | 0,213                    | <0,1                     | 0,043                    | 1,82                     | 4,23                   | 0,382                  | 0,190    | 0,594   | 0,031    | 0,058    | 0,726             | 0,779     | <0,018                   | 0,171                 | 16,14    | 3,10     | 1,79                 | 0,105       | 8,37                | <0,01                   | 1,34      | <2,09        | 0,355        |            |                 |  |  |
| 10H006         | 6.7.2010   | 13:45 | 0,289                          | <0,1                     | <0,1                     | 0,030                    | 2,04                     | 3,21                   | 0,523                  | 0,195    | 0,612   | 0,016    | 0,056    | 1,085             | 0,917     | <0,018                   | 0,166                 | 20,19    | 1,73     | 1,23                 | 0,084       | 10,95               | <0,01                   | 1,47      | <2,09        | 0,373        |            |                 |  |  |
| 10H009         | 6.9.2010   | 14:00 | 0,230                          | 0,118                    | 0,161                    | 0,021                    | 2,56                     | 2,71                   | 0,324                  | 0,319    | 0,574   | 0,034    | 0,059    | <0,67             | 1,194     | <0,018                   | 0,195                 | 15,46    | 2,72     | 1,15                 | 0,113       | 25,54               | <0,01                   | 1,46      | <2,09        | 0,312        |            |                 |  |  |
| 10H012         | 1.12.2010  | 13:30 | 0,329                          | 0,134                    | 0,208                    | 0,026                    |                          | 2,75                   | 0,251                  | 0,299    | 0,568   | 0,072    | 0,058    | <0,67             | 0,859     | <0,018                   | 0,336                 | 17,77    | 2,75     | 1,63                 | 0,105       | 17,9                | <0,01                   | 1,55      | 2,40         | 0,330        |            |                 |  |  |
| 11H003         | 14.4.2011  | 14:15 | 0,247                          | 0,321                    | 0,769                    | 0,052                    | 0,614                    | 1,72                   | 0,302                  | 0,317    | 0,70    | 0,044    | 0,065    | 0,837             | 1,136     | <0,018                   | 0,400                 | 13,3     | 2,52     | 1,55                 | 0,090       | 13,46               | <0,01                   | 1,43      | 4,30         | 0,257        |            |                 |  |  |
| 11H006         | 7.7.2011   | 14:10 | 0,290                          | 0,246                    | 0,363                    | 0,044                    | 0,618                    | 2,03                   | 0,567                  | 0,252    | 1,295   | 0,028    | 0,049    | 0,976             | 1,187     | <0,018                   | 0,137                 | 21,2     | 3,19     | 1,05                 | 0,091       | 5,38                | <0,01                   | 2,022     | 2,03         | 0,410        |            |                 |  |  |
| 11H009         | 7.10.2011  | 13:15 | 0,229                          | 0,246                    | 0,235                    | 0,033                    | 0,718                    | 1,28                   | 0,301                  | 0,498    | 1,212   | 0,050    | 0,052    | <0,67             | 1,034     | <0,018                   | 0,249                 | 16,08    | 2,74     | 1,81                 | 0,078       | 4,73                | <0,01                   | 1,87      | 4,0          | 0,347        |            |                 |  |  |
| 11H012         | 22.11.2011 | 13:40 | 0,311                          | 0,246                    | 0,92                     | 0,044                    | 0,798                    | 1,38                   | 0,298                  | 0,347    | 0,607   | 0,038    | 0,060    | 0,98              | 1,092     | <0,018                   | 0,277                 | 16,8     | 2,30     | 2,39                 | 0,064       | 4,63                | <0,01                   | 1,57      | 4,64         | 0,326        |            |                 |  |  |
| 12H003         | 20.3.2012  | 12:40 | 0,329                          | 0,184                    | 0,55                     | 0,066                    | 0,113                    | 2,41                   | 0,789                  | 0,718    | 0,354   | 0,037    | 0,021    | <0,67             | 0,250     | <0,018                   | 0,288                 | 0,89     | 5,95     | 1,51                 | <0,048      | 4,36                | <0,01                   | 1,376     | 114,5        | 0,087        |            |                 |  |  |
| 12H006         | 4.6.2012   | 15:30 | 0,277                          | 0,160                    | 0,30                     | 0,085                    | 0,269                    | 2,89                   | 0,463                  | 0,236    | 0,704   | 0,026    | 0,060    | 1,132             | 0,666     | <0,018                   | 0,136                 | 15,9     | 2,55     | 1,98                 | <0,048      | 6,15                | <0,01                   | 1,47      | 2,57         | 0,379        |            |                 |  |  |
| 12H010         | 21.8.2012  | 16:20 | 0,214                          | <0,07                    | 0,73                     | 0,054                    | 1,652                    | 3,22                   | 0,560                  | 0,326    | 0,62    | 0,013    | 0,064    | 1,160             | 0,808     | <0,018                   | 0,183                 | 16,16    | 2,41     | 1,87                 | 0,068       | 4,985               | <0,01                   | 1,43      | 3,3          | 0,369        |            |                 |  |  |
| 12H014         | 20.11.2012 | 16:15 | 0,235                          | 0,178                    | 1,021                    | <0,04                    | 0,815                    | 2,39                   | 0,212                  | 0,240    | 0,698   | 0,050    | 0,062    | <0,67             | 0,699     | <0,018                   | 0,356                 | 15,3     | 2,20     | <0,852               | 0,079       | 4,83                | <0,01                   | 1,40      | 1,70         | 0,289        |            |                 |  |  |
| 13H006         | 29.4.2013  | 16:30 | 0,263                          | 0,217                    | 0,17                     | 0,042                    | 0,267                    | 2,07                   | 0,343                  | 0,179    | 0,62    | 0,028    | 0,060    | 0,972             | 0,687     | <0,018                   | 0,148                 | 17,21    | 2,41     | <0,852               | 0,097       | 3,59                | <0,01                   | 1,58      | 2,3          | 0,304        |            |                 |  |  |
| 13H010         | 19.6.2013  | 16:45 | 0,216                          | 0,188                    | 0,182                    | <0,04                    | 0,081                    | 3,57                   | 0,400                  | 0,278    | 0,59    | 0,030    | 0,059    | 1,006             | 0,608     | <0,018                   | 0,178                 | 16,46    | 3,57     | <0,852               | 0,076       | 3,23                | <0,01                   | 1,58      | 2,7          | 0,342        |            |                 |  |  |
| 13H013         | 3.10.2013  | 14:00 | 0,198                          | 0,190                    | 0,09                     | <0,04                    | 0,094                    | 1,79                   | 0,228                  | 0,417    | 0,713   | 0,035    | 0,063    | <1,33             | 0,600     | <0,018                   | 0,222                 | 12,75    | <1,5     | 1,326                | 0,070       | <3,06               | <0,01                   | 1,34      | 1,5          | 0,287        |            |                 |  |  |
| 13H016         | 27.11.2013 | 13:45 | 0,230                          | 0,197                    | 0,526                    | <0,04                    | 0,021                    | 2,23                   | 0,233                  | 0,376    | 0,717   | 0,035    | 0,064    | <1,33             | 0,830     | <0,018                   | 0,146                 | 14,2     | 2,12     | <0,852               | 0,065       | <3,06               | <0,01                   | 1,21      | 4,14         | 0,245        |            |                 |  |  |
| 14H006         | 12.3.2014  | 13:20 | 0,299                          | 0,267                    | 0,562                    |                          | 0,303                    | 3,34                   | 0,256                  | 0,265    | 0,554   | 0,067    | 0,070    | <1,33             | 0,539     | <0,018                   | 0,336                 | 14,4     | 1,98     | <0,852               | 0,057       | <3,06               | <0,01                   | 1,32      | 2,09         | 0,291        |            |                 |  |  |
| 14H013         | 23.6.2014  | 19:15 | 0,246                          | 0,229                    | <0,06                    | 0,047                    | 0,208                    | 2,34                   | 0,382                  | 0,279    | 0,651   | 0,021    | 0,062    | 0,926             | 0,510     | <0,018                   | 0,209                 | 17,6     | 2,19     | <0,852               | <0,048      | <3,06               | <0,01                   | 1,65      | 1,05         | 0,381        |            |                 |  |  |
| 14H020         | 14.8.2014  | 19:00 | 0,203                          | 0,207                    | 0,173                    | 0,052                    | <0,2                     | 4,19                   | 0,351                  | 0,365    | 0,647   | 0,016    | 0,063    | 1,054             | 0,430     | <0,018                   | 0,192                 | 15,0     | 1,72     | 0,87                 | <0,048      | <3,06               | <0,01                   | 1,67      | 2,19         | 0,332        |            |                 |  |  |
| 14H029         | 6.11.2014  | 18:30 | 0,236                          | 0,227                    | 0,128                    | 0,109                    | <0,2                     | 1,58                   | 0,204                  | 0,081    | 0,438   | 0,010    | 0,062    | <1,33             | 0,586     | <0,018                   | <0,097                | 14,5     | <1,5     | <0,852               | 0,103       | 14,83               | <0,01                   | 1,64      | 1,65         | 0,294        |            |                 |  |  |

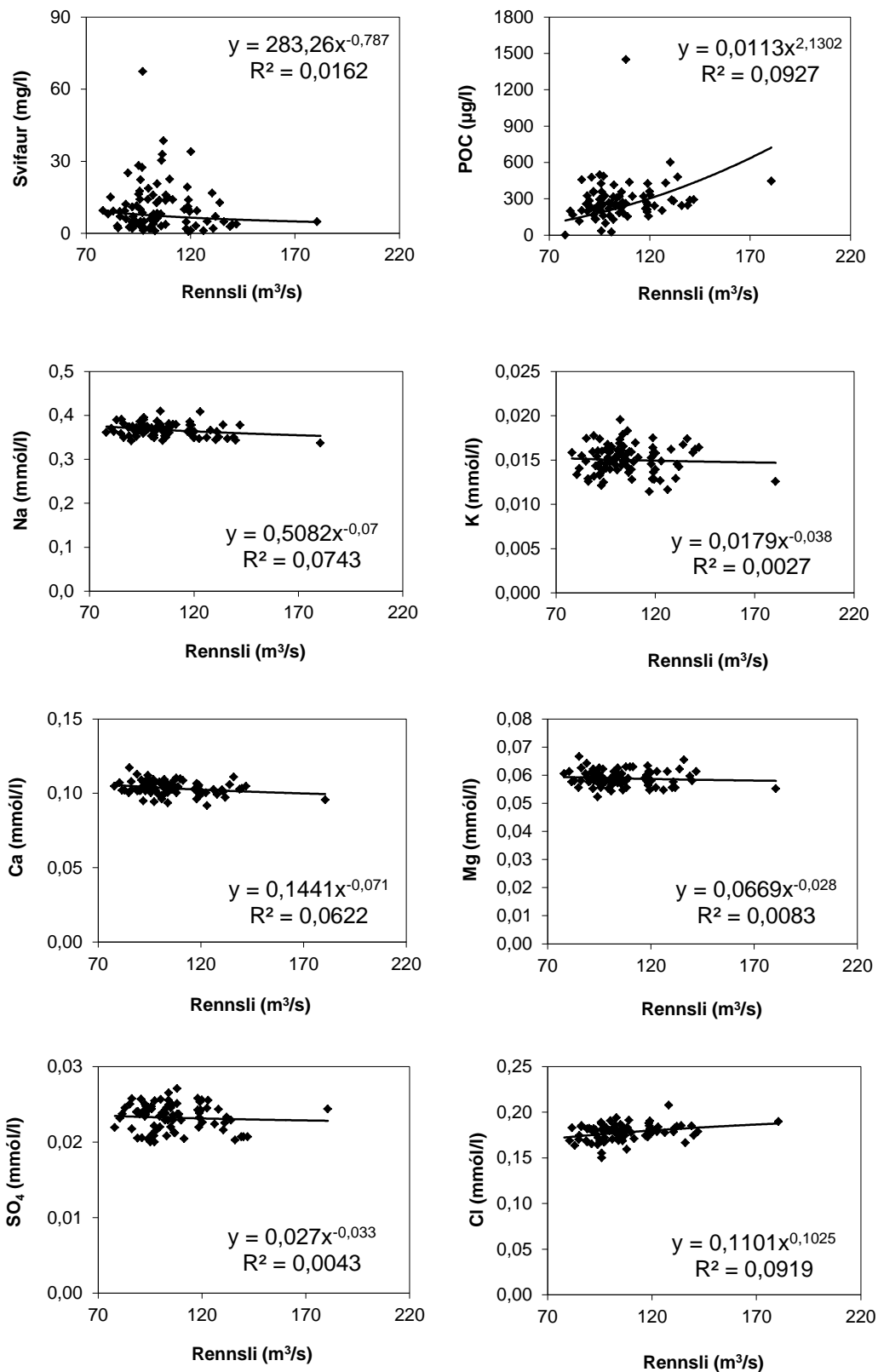


## Sogið við Þrastarlund



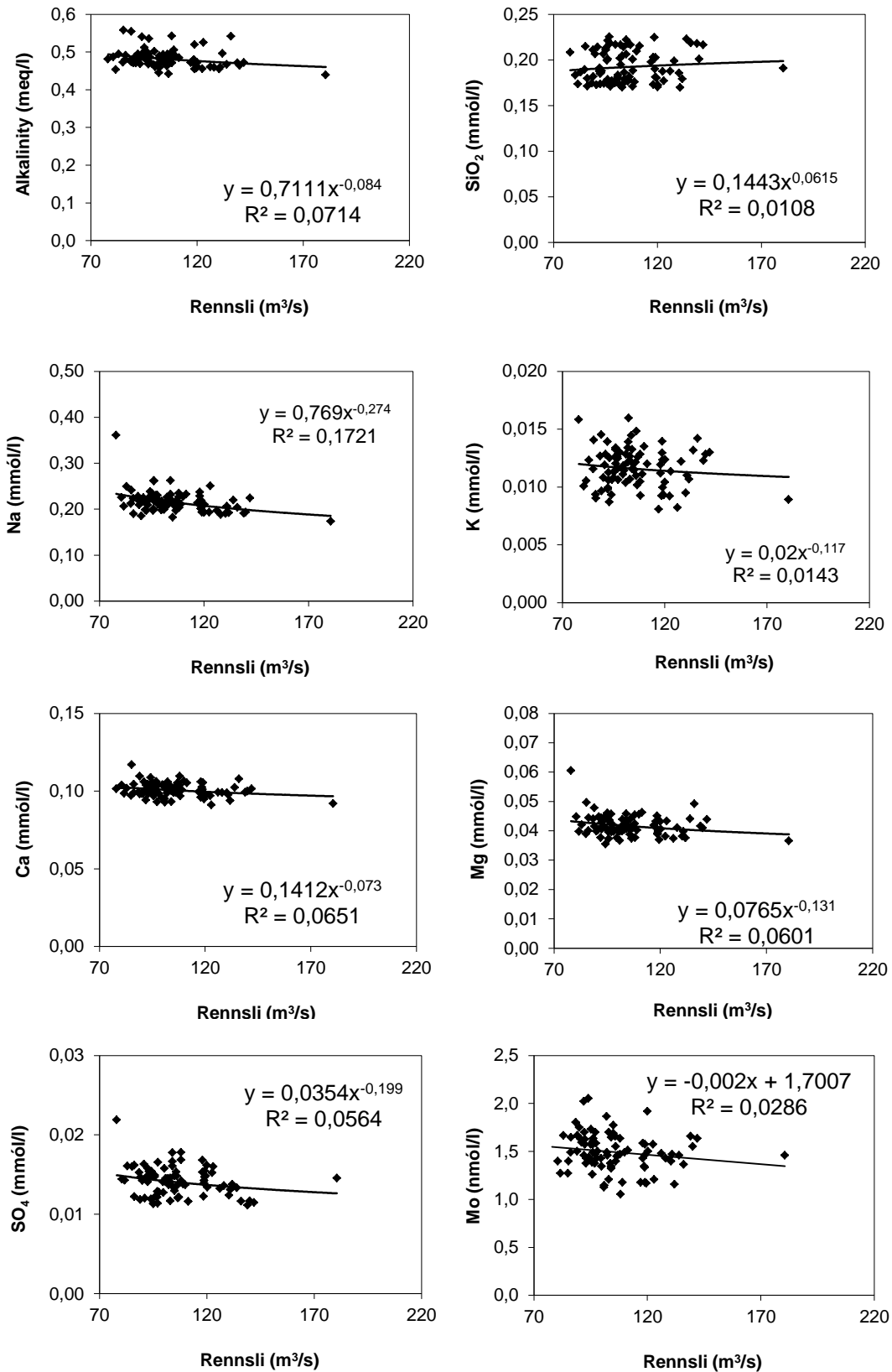
Mynd 5. Styrkur efna í tímaröð í Sogi við Þrastarlund 1998 – 2014: Snefilefni.

## Sogið við Þrastarlund



Mynd 6. Samband rennslis og efnastyrks í Sogi við Þrastarlund 1998 – 2014: svifaur og uppleyst aðalefni.

**Sogið við Þrastarlund**  
Bergættuð efni (gögn leiðrétt fyrir úrkomu)



Mynd 7. Samband rennslis og efnastyrks í Sogi við Þrastarlund 1998 – 2014: bergættuð, uppleyst efni (leiðrétt fyrir úrkomu).

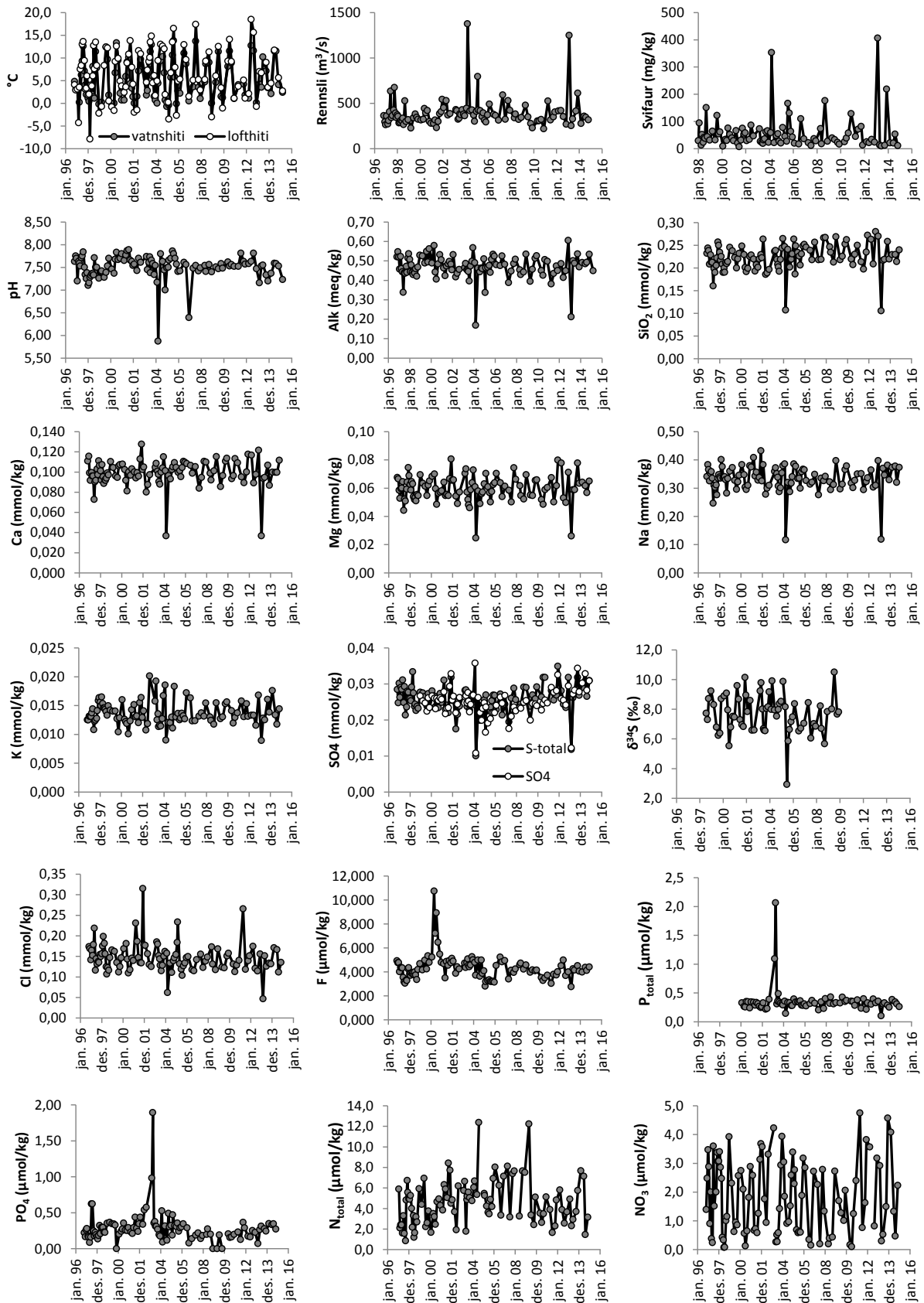


Sýnum úr Ölfusá er safnað af hengibrúnni á Selfossi. Við söfnun þarf aðstoð lögreglu við umferðarstjórnun þar sem loka þarf öðrum vegarhelmingnum á meðan söfnun stendur.

Tafla 5. Efnasamsetning, rennsli og aurburður Ölfusár við Selfoss 2010-2014.

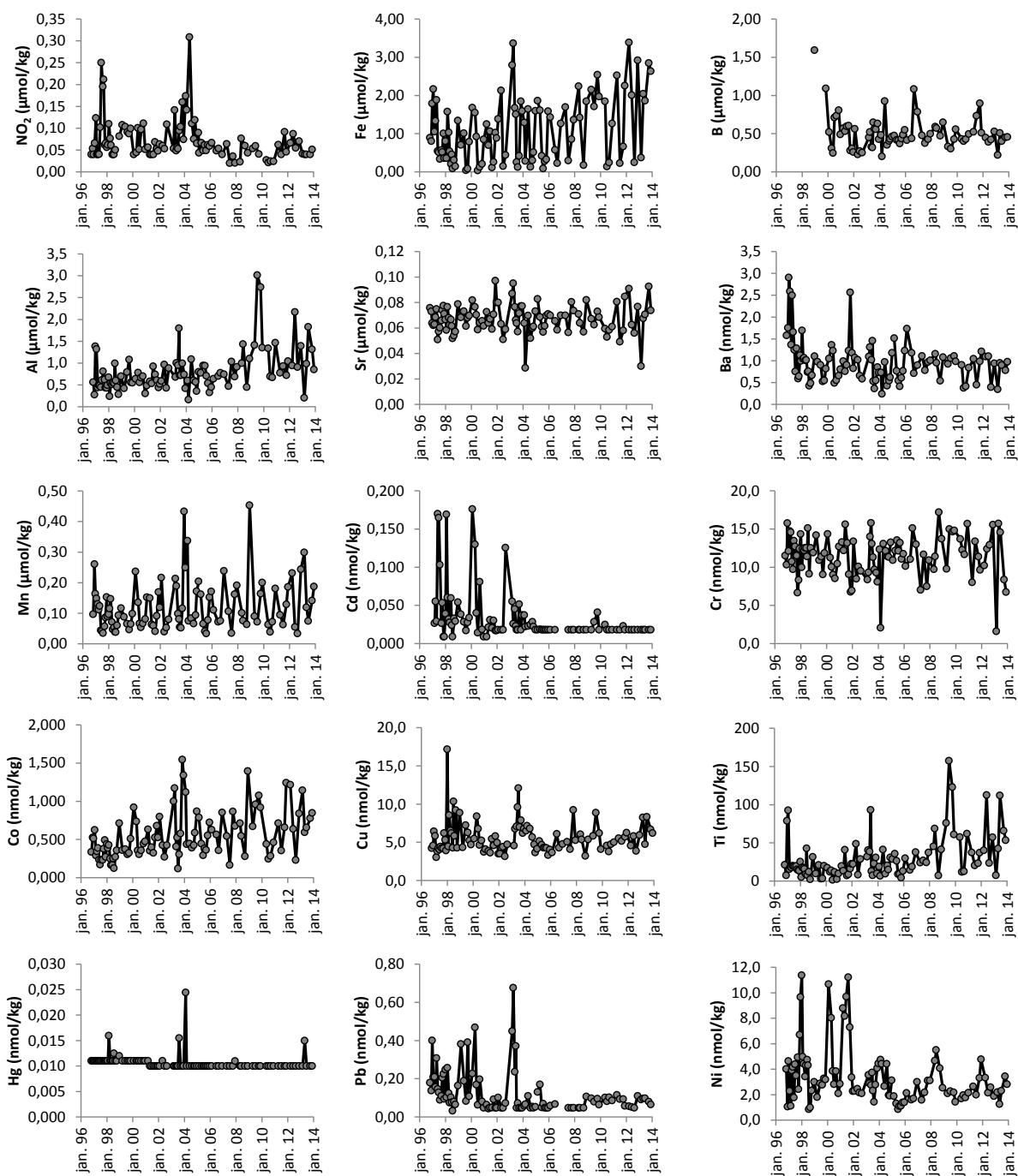
| Sýna<br>númer  | Dagsetning | kl.   | Rennsli<br>m <sup>3</sup> /sek | Vatns-<br>hiti °C        | Loft-<br>hiti °C         | pH                       | T °C<br>(pH/<br>leiðni)  | Leiðni<br>µS/sm | SiO <sub>2</sub><br>µM | Na<br>µM | K<br>µM | Ca<br>µM | Mg<br>µM | Alk (a)<br>µeq/kg | DIC<br>µM | S <sub>total</sub><br>µM | SO <sub>4</sub><br>µM | Cl<br>µM | F<br>µM  | Hleðslu-<br>jafnvægi | %<br>skekka | TDS<br>mg/l | TDS<br>mg/kg | DOC<br>µM | POC<br>µg/kg | PON<br>µg/kg | C/N<br>mól | Svifaur<br>mg/l |
|----------------|------------|-------|--------------------------------|--------------------------|--------------------------|--------------------------|--------------------------|-----------------|------------------------|----------|---------|----------|----------|-------------------|-----------|--------------------------|-----------------------|----------|----------|----------------------|-------------|-------------|--------------|-----------|--------------|--------------|------------|-----------------|
| 10H002         | 12.5.2010  | 11:30 | 304                            | 8,1                      | 9,3                      | 7,62                     | 22,4                     | 61,2            | 219                    | 318      | 14,1    | 93,3     | 51,8     | 450               | 449       | 26,4                     | 22,7                  | 131      | 3,53     | 0,01                 | 0,6         | 48          | 67           | 53,3      | 424          | 38,6         | 12,8       | 25,1            |
| 10H004         | 6.7.2010   | 10:35 | 307                            | 11,5                     | 14,1                     | 7,53                     | 21,9                     |                 | 207                    | 301      | 11,9    | 96,3     | 48,5     | 426               | 425       | 31,8                     | 24,5                  | 113      | 3,28     | 0,01                 | 1,0         | 45          | 63           | 45,0      | 377          | 48,7         | 9,1        | 38,5            |
| 10H007         | 6.9.2010   | 10:00 | 320                            | 8,9                      | 9,2                      | 7,56                     | 22,2                     | 67,9            | 230                    | 328      | 12,9    | 113      | 58,8     | 507               | 506       | 31,8                     | 25,5                  | 129      | 3,50     | 0,01                 | 0,4         | 59          | 73           | 22,5      | N/A          | N/A          | N/A        | 57,3            |
| 10H011         | 1.12.2010  | 11:35 | 219                            | 1,0                      | 1,1                      | 7,52                     | 21,6                     | 73,6            | 250                    | 350      | 13,7    | 109      | 60,5     | 498               | 497       | 0,0                      | 24,7                  | 140      | 3,73     | 0,01                 | 0,8         | 65          | 75           | 19,1      | 444          | 47,0         | 11,0       | 128,5           |
| 11H001         | 14.4.2011  | 10:35 | 525                            | 4,1                      | 3,7                      | 7,52                     | 19,9                     | 77,2            | 213                    | 351      | 15,8    | 95,1     | 67,5     | 381               | 380       | 28,2                     | 29,0                  | 266      | 3,04     | 0,01                 | 1,0         | 49          | 63           | 72,4      | 1264         | 141,9        | 10,4       | 44,7            |
| 11H004         | 7.7.2011   | 10:50 | 314                            |                          |                          | 7,81                     | 21,1                     | 64,4            | 197                    | 294      | 13,1    | 89,3     | 50,2     | 435               | 433       | 25,5                     | 27,6                  | 118      | 3,79     | 0,02                 | 1,8         | 48          | 57           | 143,2     | 570          | 60,9         | 10,9       | 71,6            |
| 11H007         | 7.10.2011  | 10:00 | 350                            | 4,2                      | 5,1                      | 7,63                     | 20,9                     | 76,6            | 235                    | 323      | 15,3    | 100      | 61,7     | 474               | 473       | 26,9                     | 28,1                  | 139      | 3,73     | 0,01                 | 0,7         | 55          | 65           | 70,8      | 1432         | 131,9        | 12,7       | 81,2            |
| 11H010         | 22.11.2011 | 10:20 | 403                            | 1,8                      | 1,1                      | 7,57                     | 22,3                     | 78,5            | 272                    | 337      | 13,1    | 118      | 79,8     | 450               | 449       | 34,9                     | 32,5                  | 151      | 4,01     | 0,07                 | 4,9         | 48          | 68           | 44,1      | 302          | 20,3         | 17,4       | 13,1            |
| 12H001         | 20.3.2012  | 10:00 | 416                            | 1,1                      | 2,1                      | 7,58                     | 23,1                     |                 | 263                    | 364      | 13,3    | 117      | 77,8     | 486               | 485       | 28,1                     | 25,9                  | 174      | 4,52     | 0,05                 | 3,4         | 71          | 70           | 90,8      | 651          | 70,9         | 10,7       | 25,1            |
| 12H004         | 4.6.2012   | 13:10 | 420                            | 12,7                     | 18,5                     | 7,63                     | 20,4                     | 53,3            | 209                    | 303      | 13,3    | 89       | 53,1     | 414               | 413       | 24,3                     | 25,5                  | 121      | 4,98     | 0,01                 | 0,8         | 42          | 58           | 34,1      | 312          | 29,6         | 12,3       | 21,7            |
| 12H007         | 21.8.2012  | 9:50  | 354                            | 11,6                     | 15,6                     | 7,81                     | 22,0                     | 64,9            | 280                    | 310      | 11,6    | 98       | 49,8     | 449               | 447       | 23,5                     | 24,1                  | 114      | 3,69     | 0,00                 | 0,1         | 53          | 59           | 28,3      | 298          | 28,9         | 12,0       | 34              |
| 12H013         | 20.11.2012 | 15:10 | 269                            | 0,1                      | -0,7                     | 7,47                     | 20,1                     | 80,3            | 270                    | 397      | 16,8    | 122      | 71,2     | 605               | 604       | 31,8                     | 29,4                  | 156      | 3,99     | 0,02                 | 1,5         | 61          | 78           | 24,1      |              |              |            | 24              |
| 13H002         | 26.2.2013  | 13:10 | 1248                           | 4,2                      | 7,0                      | 7,16                     | 21,2                     | 18,7            | 105                    | 119      | 8,9     | 37       | 26,1     | 212               | 212       | 11,8                     | 12,2                  | 47       | 2,76     | 0,03                 | 6,1         | 28,5        | 27           | 99,1      |              |              |            | 405,8           |
| 13H003         | 29.4.2013  | 10:30 | 253                            | 3,5                      | 6,7                      | 7,53                     | 21,0                     | 72,6            | 216                    | 370      | 12,8    | 94       | 58,8     | 501               | 500       | 26,2                     | 27,2                  | 151      | 4,26     | 0,02                 | 1,7         | 52          | 65           | 11,7      |              |              |            | 12,8            |
| 13H007         | 19.6.2013  | 10:30 | 327                            | 10,2                     |                          | 7,55                     | 20,2                     | 65,2            | 219                    | 346      | 12,5    | 95       | 58,8     | 488               | 487       | 27,2                     | 28,3                  | 126      | 4,16     | 0,01                 | 0,6         | 53          | 63           | 11,7      |              |              |            | 9,7             |
| 13H011         | 3.10.2013  | 10:08 | 413                            | 7,1                      | 9,0                      | 7,33                     | 21,1                     | 76,7            | 258                    | 381      | 16,1    | 107      | 77,8     | 535               | 535       | 31,8                     | 34,3                  | 134      | 4,52     | 0,02                 | 1,6         | 62          | 71           | 51,2      |              |              |            | 12,1            |
| 13H015         | 27.11.2013 | 11:50 | 611                            | 3,4                      | 3,5                      | 7,2                      | 22,7                     | 66              | 219                    | 329      | 13,8    | 87       | 63,4     | 469               | 469       | 26,8                     | 27,8                  | 132      | 4,05     | 0,02                 | 1,3         | 47          | 62           | 60,6      |              |              |            | 218,3           |
| 14H004         | 12.3.2014  | 9:50  | 277                            | 2,1                      | 4,4                      | 7,37                     | 21,2                     | 76,5            | 229                    | 373      | 17,6    | 100      | 64,2     | 491               | 490       | 29,0                     | 30,2                  | 171      | 3,99     | 0,01                 | 0,5         | 52          | 67           | 76,2      |              |              |            | 20,6            |
| 14H007         | 23.6.2014  | 9:50  | 357                            | 11,5                     | 11,7                     | 7,59                     | 21,1                     | 58,6            | 230                    | 378      | 13,4    | 100      | 61,7     | 485               | 484       | 30,4                     | 32,8                  | 166      | 4,38     | 0,01                 | 0,5         | 46          | 66           | 37,8      |              |              |            | 20,5            |
| 14H014         | 14.8.2014  | 9:25  | 346                            | 11,5                     |                          | 7,58                     | 19,8                     | 52,7            | 214                    | 320      | 11,8    | 100      | 56,8     | 492               | 491       | 26,5                     | 28,3                  | 112      | 4,13     | 0,02                 | 1,5         | 44          | 62           | 18,4      |              |              |            | 53,4            |
| 14H023         | 6.11.2014  | 9:40  | 317                            | 4,1                      | 5,6                      | 7,53                     | 22,3                     | 58,6            | 240                    | 373      | 14,4    | 112      | 65,0     | 534               | 533       | 30,9                     | 30,8                  | 135      | 4,41     | 0,01                 | 0,4         | 58          | 69           | <11       |              |              |            | 10,9            |
| Sýna-<br>númer | Dagsetning | kl.   | P<br>µM                        | PO <sub>4</sub> -P<br>µM | NO <sub>3</sub> -N<br>µM | NO <sub>2</sub> -N<br>µM | NH <sub>4</sub> -N<br>µM | Ntot<br>µM      | Al<br>µM               | Fe<br>µM | B<br>µM | Mn<br>µM | Sr<br>µM | As<br>nM          | Ba<br>nM  | Cd<br>nM                 | Co<br>nM              | Cr<br>nM | Cu<br>nM | Ni<br>nM             | Pb<br>nM    | Zn<br>nM    | Hg<br>nM     | Mo<br>nM  | Ti<br>nM     | V<br>µM      |            |                 |
| 10H002         | 12.5.2010  | 11:30 | 0,358                          | 0,206                    | 0,166                    | 0,027                    | 1,27                     | 3,53            | 1,338                  | 1,844    | 0,429   | 0,062    | 0,059    | <0,67             | 0,903     | 0,025                    | 0,441                 | 13,69    | 4,56     | 1,69                 | 0,101       | 7,94        | <0,01        | 1,96      | 57,6         | 0,294        |            |                 |
| 10H004         | 6.7.2010   | 10:35 | 0,352                          | 0,155                    | <0,1                     | 0,021                    | 1,10                     | 2,63            | 0,693                  | 0,141    | 0,401   | 0,039    | 0,053    | 0,714             | 0,375     | <0,018                   | 0,246                 | 12,27    | 3,79     | 1,96                 | 0,082       | 12,97       | <0,01        | 1,93      | 11,8         | 0,300        |            |                 |
| 10H007         | 6.9.2010   | 10:00 | 0,284                          | 0,162                    | 1,245                    | 0,025                    | 1,47                     | 3,49            | 0,671                  | 0,245    | 0,426   | 0,072    | 0,058    | 0,757             | 0,411     | <0,018                   | 0,285                 | 11,65    | 4,74     | 1,77                 | 0,103       | 23,40       | <0,01        | 1,98      | 12,78        | 0,247        |            |                 |
| 10H011         | 1.12.2010  | 11:35 | 0,378                          | 0,199                    | 2,395                    | 0,024                    |                          | 5,13            | 1,464                  | 1,264    | 0,496   | 0,181    | 0,061    | <0,67             | 0,837     | <0,018                   | 0,462                 | 15,69    | 4,99     | 2,15                 | 0,086       | 9,07        | <0,01        | 2,58      | 62,0         | 0,304        |            |                 |
| 11H001         | 14.4.2011  | 10:35 | 0,233                          | 0,233                    | 4,75                     | 0,062                    | 1,260                    | 3,90            | 0,775                  | 2,525    | 0,524   | 0,095    | 0,081    | <0,67             | 1,041     | <0,018                   | 0,713                 | 8,0      | 5,52     | 2,64                 | 0,115       | 13,06       | <0,01        | 1,78      | 37,2         | 0,153        |            |                 |
| 11H004         | 7.7.2011   | 10:50 | 0,397                          | 0,126                    | 0,76                     | 0,040                    | 0,63                     | 1,66            | 0,93                   | 0,23     | 0,734   | 0,062    | 0,049    | <0,67             | 0,446     | <0,018                   | 0,355                 | 13,39    | 5,16     | 1,99                 | 0,093       | 5,0         | <0,01        | 2,554     | 20,5         | 0,322        |            |                 |
| 11H007         | 7.10.2011  | 10:00 | 0,215                          | 0,366                    | 1,629                    | 0,091                    | 0,672                    | 2,30            | 0,723                  | 0,66     | 0,895   | 0,129    | 0,058    | <0,67             | 0,98      | 0,023                    | 0,66                  | 11,4     | 5,70     | 3,31                 | 0,094       | 8,29        | <0,01        | 2,70      | 23,2         | 0,259        |            |                 |
| 11H010         | 22.11.2011 | 10:20 | 0,329                          | 0,290                    | 3,818                    | 0,046                    | 1,825                    | 4,83            | 1,04                   | 2,26     | 0,510   | 0,186    | 0,085    | <0,67             | 1,21      | <0,018                   | 1,242                 | 9,6      | 6,23     | 4,77                 | 0,058       | 11,42       | <0,01        | 2,40      | 37,0         | 0,198        |            |                 |
| 12H001         | 20.3.2012  | 10:00 | 0,304                          | 0,174                    | 3,57                     | 0,066                    | 1,209                    | 5,81            | 0,94                   | 3,38     | 0,449   | 0,231    | 0,091    | <0,67             | 1,092     | <0,018                   | 1,217                 | 10,2     | 4,56     | 3,32                 | 0,056       | 7,89        | <0,01        | 2,10      | 40,1         | 0,202        |            |                 |
| 12H004         | 4.6.2012   | 13:10 | 0,394                          | 0,162                    |                          | 0,087                    | 0,777                    | 3,88            | 2,17                   | 2,005    | 0,390   | 0,055    | 0,063    | <0,67             | 1,100     | <0,018                   | 0,638                 | 12,39    | 5,79     | 2,15                 | 0,052       | 7,43        | <0,01        | 1,86      | 112,6        | 0,306        |            |                 |
| 12H007         | 21.8.2012  | 9:50  | 0,329                          | 0,252                    | 0,82                     | 0,055                    | 1,013                    | 2,57            | 0,908                  | 0,249    | 0,42    | 0,034    | 0,056    | 0,697             | 0,392     | <0,018                   | 0,231                 | 12,90    | 3,86     | 2,57                 | <0,048      | <3,06       | <0,01        | 1,82      | 23,6         | 0,291        |            |                 |
| 12H013         | 20.11.2012 | 15:10 | 0,358                          | 0,226                    | 3,18                     | 0,070                    | 0,800                    | 3,66            | 1,394                  | 2,92     | 0,528   | 0,244    | 0,077    | <0,67             | 0,939     | <0,018                   | 0,840                 | 15,56    | 5,93     | 1,87                 | 0,110       | 6,01        | <0,01        | 2,27      | 57,2         | 0,277        |            |                 |
| 13H002         | 26.2.2013  | 13:10 | 0,103                          | 0,072                    | 2,92                     | 0,041                    | 0,689                    | 4,92            | 0,203                  | 0,372    | 0,22    | 0,299    | 0,030    | <0,67             | 0,345     | <0,018                   | 1,142                 | 1,61     | 8,23     | 2,20                 | 0,091       | 3,69        | <0,01        | 0,77      | 7,4          | 0,070        |            |                 |
| 13H003         | 29.4.2013  | 10:30 | 0,308                          | 0,263                    | 0,30                     | <0,04                    | 0,419                    | 2,31            | 0,986                  | 2,04     | 0,508   | 0,119    | 0,068    | 0,882             | 0,947     | <0,018                   | 0,592                 | 15,7     | 4,75     | 1,25                 | 0,096       | 6,2         | 0,015        | 2,40      | 42,4         | 0,300        |            |                 |
| 13H007         | 19.6.2013  | 10:30 | 0,329                          | 0,313                    | 0,530                    | <0,04                    | 0,127                    | 2,94            | 1,827                  | 1,862    | 0,40    | 0,074    | 0,071    | 0,828             | 0,896     | <0,018                   | 0,657                 | 14,56    | 8,32     | 2,30                 | 0,097       | 15,17       | <0,01        | 2,22      | 111,9        | 0,289        |            |                 |
| 13H011         | 3.10.2013  | 10:08 | 0,287                          | 0,278                    | 1,49                     | <0,04                    | 0,081                    | 3,70            | 1,316                  | 2,847    | 0,450   | 0,141    | 0,093    | <1,33             | 0,779     | <0,018                   | 0,777                 | 8,37     | 6,672    | 3,442                | 0,080       | 7,0         | <0,01        | 2,00      | 65,79        | 0,226        |            |                 |
| 13H015         | 27.11.2013 | 11:50 | 0,251                          | 0,243                    | 4,573                    | 0,051                    | 0,579                    | 5,74            | 0,852                  | 2,632    | 0,457   | 0,187    | 0,074    | <1,33             | 0,976     | <0,018                   | 0,848                 | 6,7      | 6,20     | 2,81                 | 0,066       | 3,7         | <0,01        | 1,77      | 53,26        | 0,204        |            |                 |
| 14H004         | 12.3.2014  | 9:50  | 0,384                          | 0,349                    | 4,080                    |                          | 1,018                    | 7,67            | 0,927                  | 3,671    | 0,463   | 0,213    | 0,083    | 0,702             | 0,990     | <0,018                   | 0,752                 | 12,1     | 5,35     | 2,08                 | 0,067       | 3,1         | <0,01        | 2,07      | 39,06        | 0,232        |            |                 |
| 14H007         | 23.6.2014  | 9:50  | 0,345                          | 0,332                    | 1,329                    |                          | 0,275                    | 7,14            | 1,342                  | 1,361    | 0,335   | 0,082    | 0,081    | 0,974             | 1,267     | 0,047                    | 1,006                 | 11,6     | 7,02     | 2,93                 | 0,063       | 11,0        | <0,01        | 2,49      | 71,85        | 0,253        |            |                 |
| 14H014         | 14.8.2014  | 9:25  | 0,309                          | 0,345                    | 0,47                     | 0,084                    | 0,676                    | 1,46            | 0,448                  | 0,18     | 0,376   | 0,077    | 0,067    | 0,769             | 0,315     | <0,018                   | 0,540                 | 10,1     | 4,48     | 1,98                 | <0,048      | 3,91        | <0,01        | 2,55      | 5,8          | 0,267        |            |                 |
| 14H023         | 6.11.2014  | 9:40  | 0,261                          | 0,271                    | 2,23                     | 0,055                    | <0,2                     | 3,16            | 0,331                  | 0,24     | 0,305   | 0,141    | 0,077    | <1,33             | 0,728     | 0,022                    | 0,312                 | 9,6      | 2,61     | 1,82                 | 0,060       | 22,2        | <0,01        | 2,21      | 4,7          | 0,238        |            |                 |

## Ölfusá við Selfoss



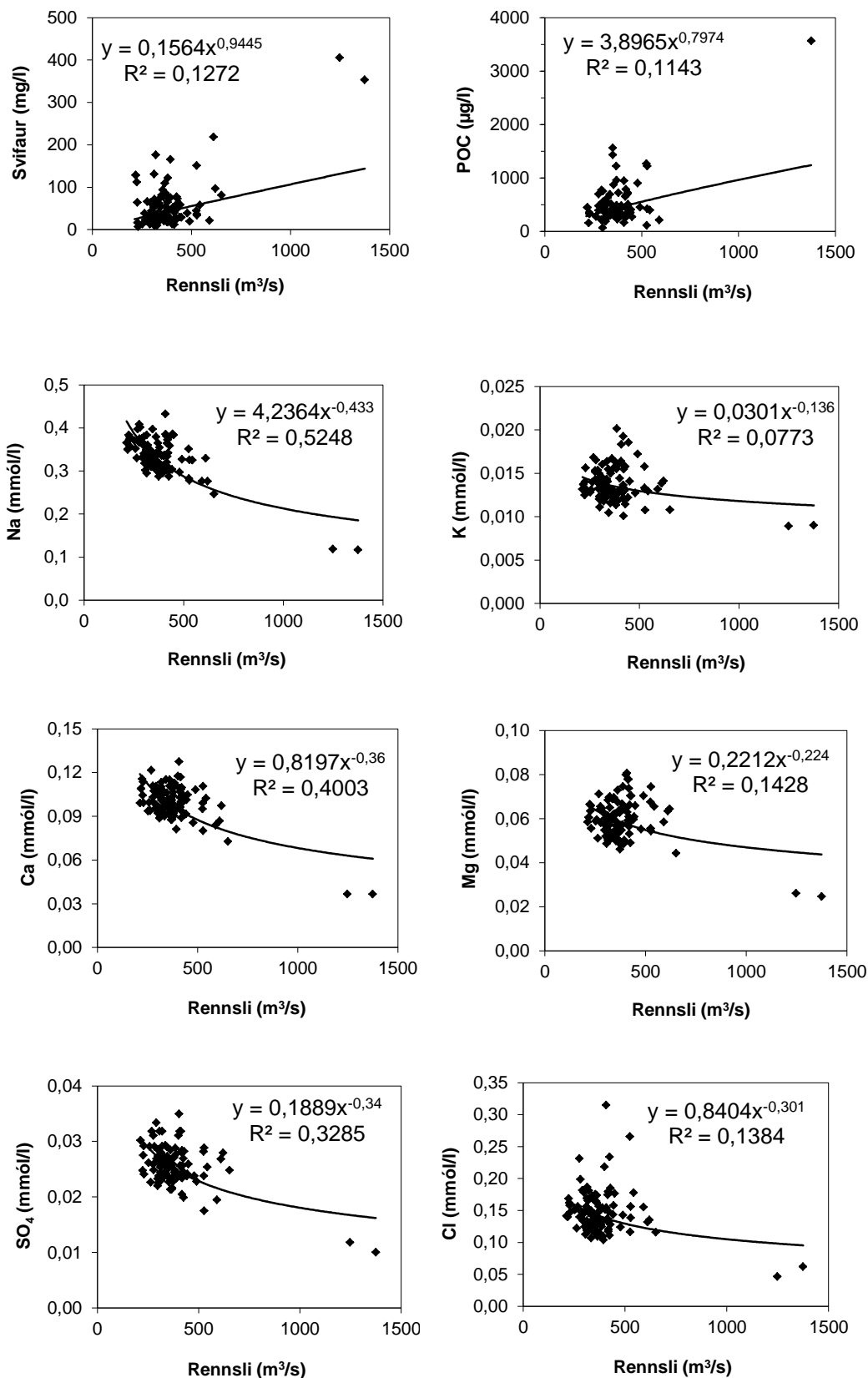
Mynd 8. Styrkur efna í tímaröð í Ölfusá við Selfoss 1996 – 2014: Svifaur, uppleyst aðalefni og næringarefni.

## Ölfusá við Selfoss



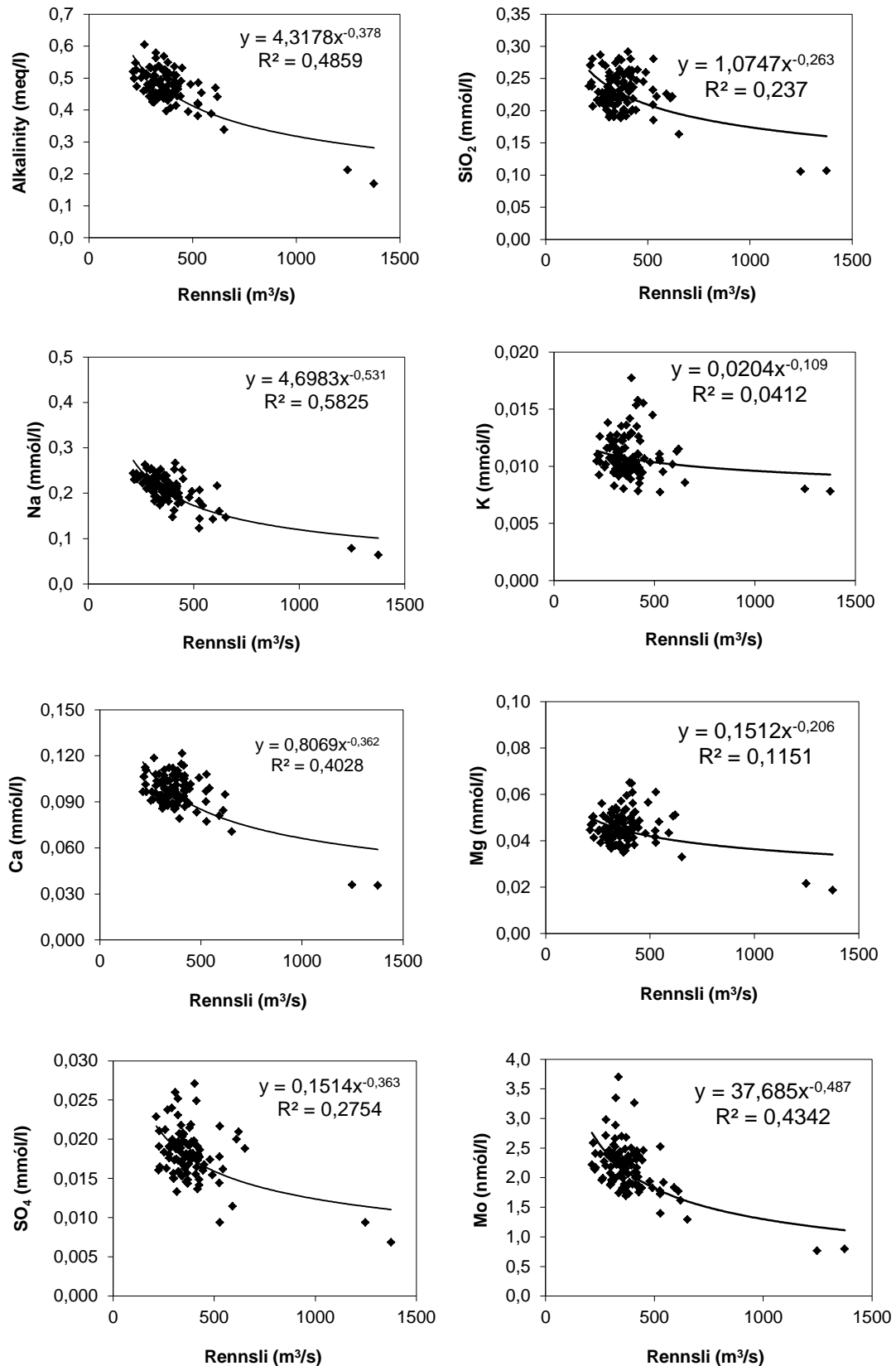
Mynd 9. Styrkur efna í tímaröð í Ölfusá við Selfoss 1996 – 2014: Snefilefni.

## Ölfusá við Selfoss



Mynd 10. Samband rennslis og efnastyrks í Ölfusá við Selfoss 1996 – 2014: svifaur og uppleyst aðalefni.

**Ölfusá við Selfoss**  
Bergattuð efni (gögn leiðrétt fyrir úrkomu)



Mynd 11. Samband rennslis og efnastyrks í Ölfusá við Selfoss 1996 – 2014: bergattuð, uppleyst efni (leiðrétt fyrir úrkomu).



Séð yfir sýnatökustaðinn í Þjórsá. Safnað er af vestari bakka undir gömlu brúnni yfir Þjórsá við þjóðveg nr. 1.

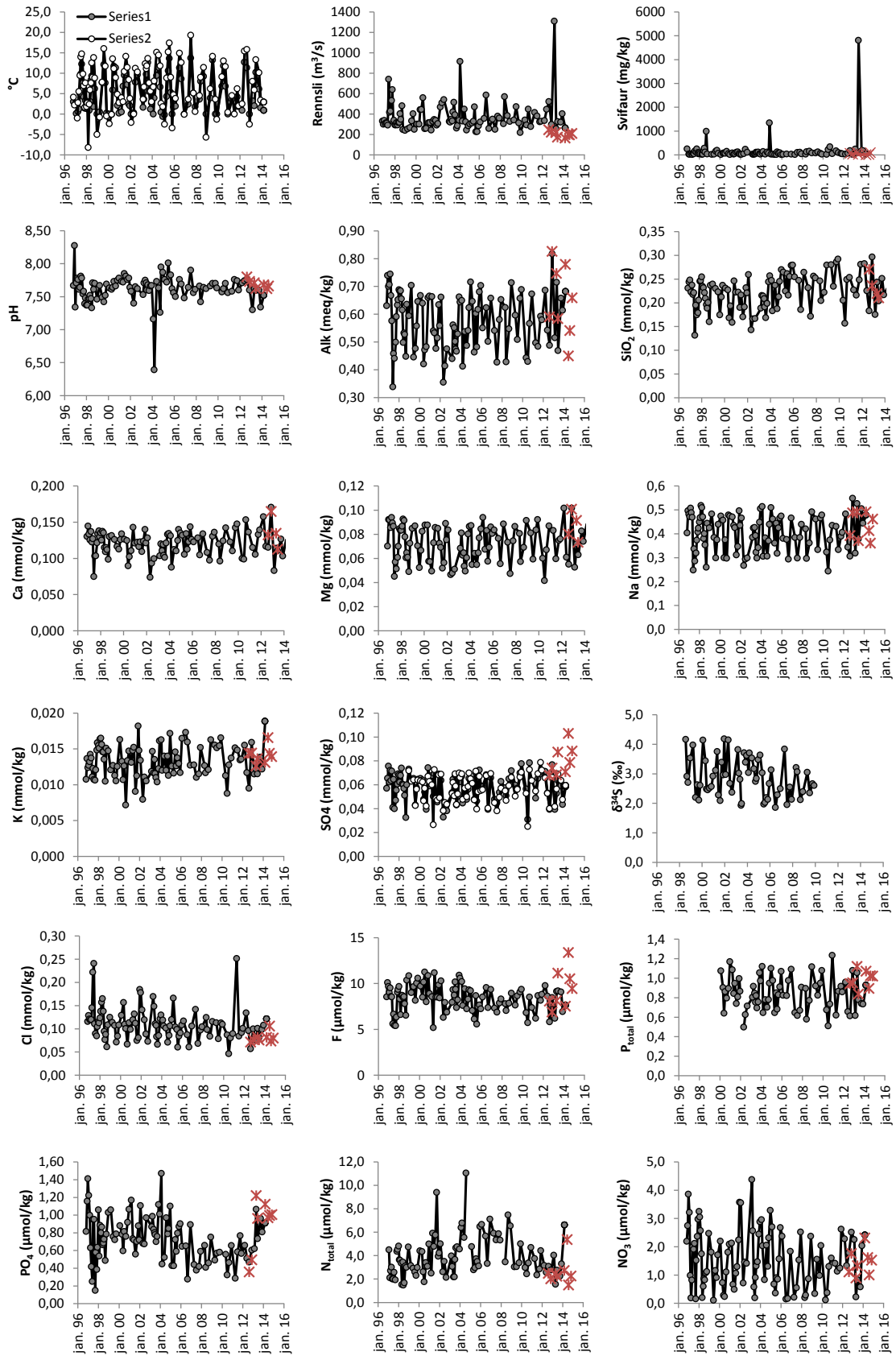
Tafla 6. Efnasamsetning, rennsli og aurburður Þjórsár við Urriðafoss 2010-2014.

| Sýna-<br>númer | Dagsetning | kl.   | Rennsli<br>m <sup>3</sup> /sek | Vatns-<br>hiti °C | Loft-<br>hiti °C | pH   | T °C<br>(pH/<br>leiðni) | Leiðni<br>µS/sm | SiO <sub>2</sub><br>µM | Na<br>µM | K<br>µM | Ca<br>µM | Mg<br>µM | Alk (a)<br>µeq/kg | DIC<br>µM | S <sub>total</sub><br>µM | SO <sub>4</sub><br>µM | Cl<br>µM | F<br>µM | Hleðslu-<br>jafnvægi | %<br>skekkja | TDS<br>mg/l<br>mælt | TDS<br>mg/kg<br>reiknað | DOC<br>mmól/l | POC<br>µg/kg | PON<br>µg/kg | C/N<br>mól | Svifaur<br>mg/l |
|----------------|------------|-------|--------------------------------|-------------------|------------------|------|-------------------------|-----------------|------------------------|----------|---------|----------|----------|-------------------|-----------|--------------------------|-----------------------|----------|---------|----------------------|--------------|---------------------|-------------------------|---------------|--------------|--------------|------------|-----------------|
| 10H001         | 12.5.2010  | 10:30 | 341                            | 6,8               | 9,1              | 7,57 | 22,4                    | 69,4            | 184                    | 323      | 11,3    | 100      | 60,1     | 443               | 442       | 56,4                     | 52,6                  | 87       | 6,81    | 0,01                 | 0,9          | 49                  | 62                      | 37,5          | 480          | 29,2         | 19,1       | 22              |
| 10H005         | 6.7.2010   | 11:30 | 292                            | 11,8              | 13,0             | 7,62 | 21,1                    |                 | 143                    | 243      | 8,8     | 99       | 41,6     | 429               | 336       | 30,8                     | 24,9                  | 46       | 5,71    | 0,01                 | 0,9          | 46                  | 46                      | 68,3          | 481          | 63,2         | 8,9        | 221             |
| 10H008         | 6.9.2010   | 11:15 | 448                            | 6,8               | 11,6             | 7,7  | 21,5                    | 80,4            | 221                    | 374      | 12,8    | 153      | 67,1     | 566               | 565       | 78,3                     | 72,6                  | 80       | 8,51    | 0,03                 | 1,6          | 69                  | 76                      | 28,3          | 345          | <15,1        | >26,8      | 339             |
| 10H010         | 1.12.2010  | 10:50 | 277                            | 0,0               | 0,4              | 7,56 | 22,1                    | 89,7            | 239                    | 435      | 13,7    | 136      | 86,8     | 672               | 671       | 0,0                      | 63,5                  | 89       | 7,36    | 0,00                 | 0,1          | 70                  | 84                      | 17,5          | 168          | 20,0         | 9,8        | 48              |
| 11H002         | 14.4.2011  | 11:55 | 415                            | 3,5               | 4,5              | 7,58 | 19,5                    | 92,5            | 212                    | 431      | 15,1    | 115      | 83,1     | 496               | 496       | 48,6                     | 54,6                  | 251      | 6,20    | 0,01                 | 0,6          | 58                  | 74                      | 66,6          | 762          | 78,8         | 11,3       | 167             |
| 11H005         | 7.7.2011   | 12:10 | 380                            |                   |                  | 7,76 | 20,9                    | 73              | 199                    | 333      | 14,8    | 105      | 59,7     | 484               | 483       | 65,2                     | 69,2                  | 84       | 8,68    | 0,03                 | 2,1          | 56                  | 65                      | 144,0         | 566          | 50,8         | 13,0       | 92,7            |
| 11H008         | 7.10.2011  | 11:10 | 323                            | 4,2               | 6,2              | 7,74 | 21,0                    | 74,4            | 231                    | 389      | 13,5    | 133      | 74,9     | 592               | 591       | 68,9                     | 78,6                  | 92       | 8,15    | 0,01                 | 0,7          | 65                  | 77                      | 55,8          | 297          | 21,9         | 15,8       | 60,5            |
| 11H011         | 22.11.2011 | 11:40 | 328                            | 1,8               | 2,0              | 7,6  | 22,3                    | 86,6            | 253                    | 405      | 13,6    | 139      | 76,1     | 579               | 578       | 70,5                     | 72,1                  | 101      | 8,81    | 0,02                 | 1,2          | 57                  | 79                      | 20,8          | 163          | 12,7         | 15,0       | 44,7            |
| 12H002         | 20.3.2012  | 11:10 | 336                            | 0,9               | 2,5              | 7,71 | 22,7                    |                 | 263                    | 483      | 15,5    | 157      | 101,6    | 686               | 685       | 71,1                     | 65,7                  | 134      | 9,77    | 0,05                 | 2,8          | 72                  | 90                      | 109,9         | 506          | 25,4         | 23,3       | 24,9            |
| 12H005         | 4.6.2012   | 14:15 | 445                            | 12,7              | 15,4             | 7,74 | 19,7                    | 60,2            | 209                    | 344      | 11,7    | 117      | 60,9     | 542               | 541       | 53,0                     | 52,6                  | 96       | 8,62    | 0,04                 | 2,8          | 48                  | 69                      | 33,3          | 360          | 39,7         | 10,6       | 60,9            |
| 12H008         | 21.8.2012  | 11:10 | 521                            | 11,3              | 15,8             | 7,76 | 21,8                    | 68,3            | 236                    | 306      | 9,5     | 115      | 55,1     | 488               | 487       | 39,3                     | 40,1                  | 57       | 5,80    | 0,03                 | 1,9          | 48                  | 59                      | 19,1          | 326          | 32,0         | 11,9       | 178             |
| 12H011         | 20.11.2012 | 10:15 | 297                            | 0,0               | -2,5             | 7,6  | 20,7                    | 102,2           | 280                    | 548      | 15,9    | 171      | 101,6    | 817               | 816       | 76,7                     | 66,1                  | 100      | 8,47    | 0,05                 | 2,4          | 69                  | 99                      | 22,5          |              |              |            | 10,9            |
| 13H001         | 26.2.2013  | 12:20 | 1309                           | 3,2               | 8,0              | 7,3  | 21,2                    | 64,9            | 175                    | 318      | 11,5    | 83       | 52,7     | 515               | 515       | 39,3                     | 41,6                  | 75       | 6,19    | 0,08                 | 6,1          | 52                  | 60                      | 72,4          |              |              |            | 240             |
| 13H004         | 29.4.2013  | 11:30 | 257                            | 2,0               | 5,9              | 7,62 | 21,0                    | 72,6            | 244                    | 526      | 12,2    | 114      | 72,0     | 715               | 714       | 52,7                     | 56,3                  | 101      | 9,14    | 0,03                 | 1,5          | 63                  | 85                      | <11           |              |              |            | 81              |
| 13H008         | 19.6.2013  | 11:15 | 325                            | 10,2              | 13,3             | 7,59 | 19,6                    | 63,7            | 204                    | 377      | 11,5    | 111      | 63,0     | 469               | 468       | 63,3                     | 69,0                  | 81       | 9,19    | 0,04                 | 2,7          | 62                  | 64                      | <11           |              |              |            | 4803            |
| 13H012         | 3.10.2013  | 11:20 | 320                            | 6,1               | 10,1             | 7,6  | 21,1                    | 68,3            | 251                    | 505      | 13,8    | 127      | 82,7     | 657               | 656       | 59,3                     | 63,6                  | 98       | 9,08    | 0,04                 | 2,4          | 68                  | 83                      | 82,6          |              |              |            | 157,7           |
| 13H014         | 27.11.2013 | 10:30 | 402                            | 1,5               | 3,4              | 7,34 | 22,9                    | 79,8            | 217                    | 444      | 12,2    | 103      | 74,1     | 614               | 614       | 43,3                     | 47,6                  | 107      | 6,93    | 0,01                 | 0,8          | 55,5                | 74                      | 38,8          |              |              |            | 176,1           |
| 14H005         | 12.3.2014  | 11:10 | 262,9                          | 0,9               | 2,9              | 7,52 | 21,2                    | 93,9            | 230                    | 478      | 18,8    | 126      | 88,5     | 681               | 681       | 58,3                     | 59,4                  | 121      | 7,61    | 0,00                 | 0,2          | 61                  | 83                      | 71,7          |              |              |            | 34,9            |
| 14H008         | 23.6.2014  | 11:00 | 454,2                          | 11,3              | 13,4             | 7,61 | 21,6                    | 59,4            | 205                    | 352      | 12,0    | 110      | 58,4     | 502               | 501       | 62,4                     | 63,9                  | 86       | 9,32    | 0,02                 | 1,7          | 55                  | 66                      | 20,6          |              |              |            | 83,2            |
| 14H015         | 14.8.2014  | 10:50 | 406,3                          | 10,3              |                  | 7,42 | 19,8                    | 49,5            | 174                    | 301      | <10     | 106      | 49,0     | 472               | 471       | 41,2                     | 44,9                  | 61       | 7,34    | 0,01                 | 0,7          | 53                  | 58                      | 11,0          |              |              |            | 177             |
| 14H024         | 6.11.2014  | 11:00 | 289,5                          | 2,3               | 5,9              | 7,64 | 21,8                    | 74,2            | 263                    | 496      | 14,0    | 142      | 81,5     | 684               | 683       | 71,1                     | 67,7                  | 98       | 9,37    | 0,03                 | 1,6          | 72                  | 87                      | <11           |              |              |            | 51,8            |

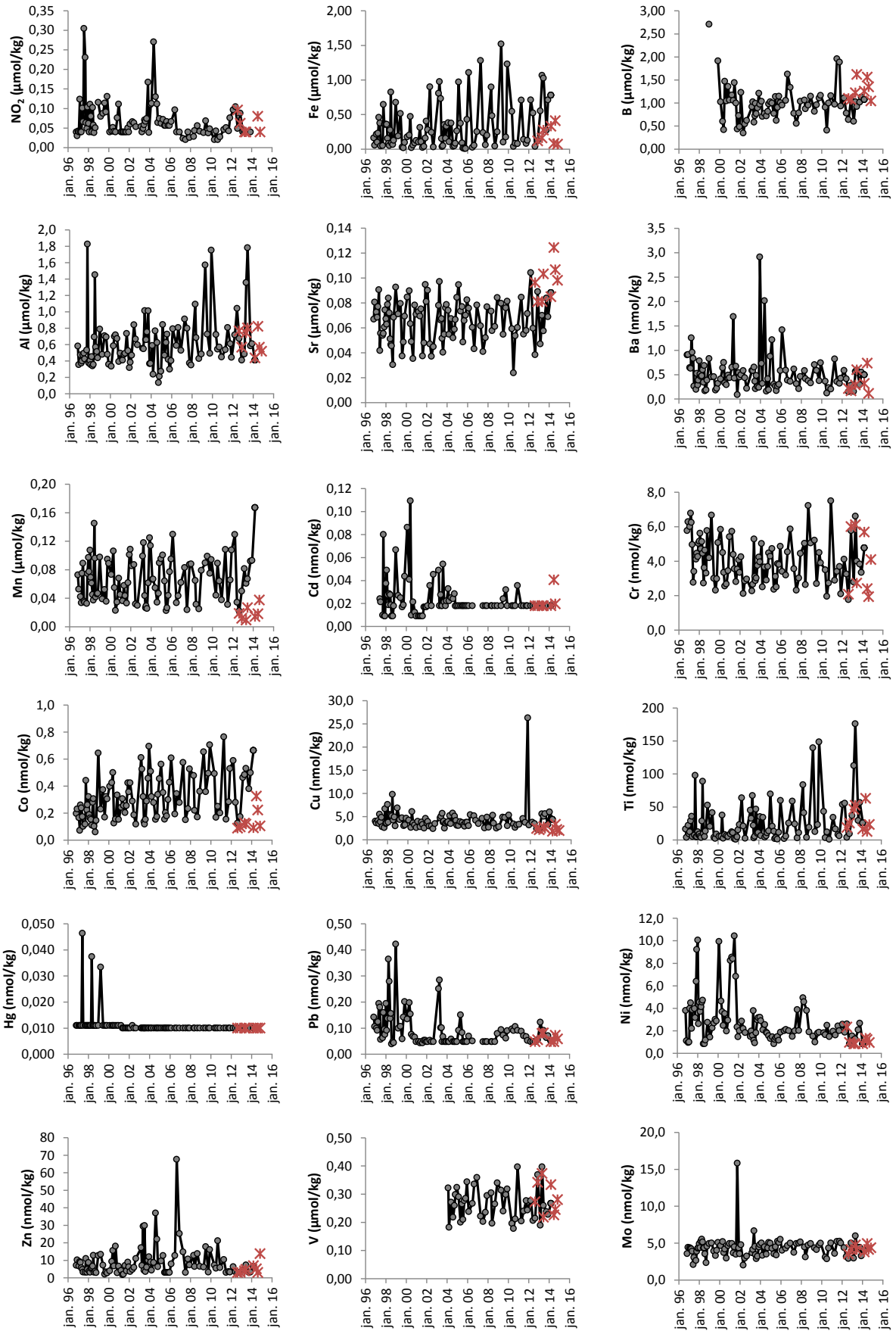
| Sýna-<br>númer | Dagsetning | kl.   | P<br>µM | PO <sub>4</sub> -P<br>µM | NO <sub>3</sub> -N<br>µM | NO <sub>2</sub> -N<br>µM | NH <sub>4</sub> -N<br>µM | Ntot<br>µM | Al<br>µM | Fe<br>µM | B<br>µM | Mn<br>µM | Sr<br>µM | As<br>nM | Ba<br>nM | Cd<br>nM    | Co<br>nM | Cr<br>nM | Cu<br>nM | Ni<br>nM | Pb<br>nM | Zn<br>nM | Hg<br>nM | Mo<br>nM | Ti<br>nM | V<br>µM |
|----------------|------------|-------|---------|--------------------------|--------------------------|--------------------------|--------------------------|------------|----------|----------|---------|----------|----------|----------|----------|-------------|----------|----------|----------|----------|----------|----------|----------|----------|----------|---------|
| 10H001         | 12.5.2010  | 10:30 | 0,675   | 0,555                    | 0,119                    | <0,02                    | 2,13                     | 2,97       | 0,723    | 0,546    | 0,908   | 0,044    | 0,059    | 0,980    | 0,364    | <0,018      | 0,492    | 3,50     | 3,38     | 1,82     | 0,097    | 7,19     | <0,01    | 3,10     | 43,2     | 0,196   |
| 10H005         | 6.7.2010   | 11:30 | 0,510   | 0,324                    | 0,370                    | 0,043                    | 1,64                     | 2,44       | 0,545    | 0,038    | 0,408   | 0,089    | 0,024    | 0,853    | 0,120    | <0,018      | 0,168    | 1,96     | 2,63     | 1,64     | 0,091    | 5,44     | <0,01    | 2,87     | 3,30     | 0,178   |
| 10H008         | 6.9.2010   | 11:15 | 0,733   | 0,462                    | 1,298                    | <0,02                    | 2,40                     | 3,37       | 0,571    | 0,082    | 0,999   | 0,064    | 0,054    | 1,401    | 0,232    | <0,018      | 0,249    | 2,73     | 3,21     | 2,49     | 0,106    | 21,10    | <0,01    | 4,33     | 12,07    | 0,212   |
| 10H010         | 1.12.2010  | 10:50 | 1,233   | 0,656                    | 1,601                    | 0,028                    | 4,69                     | 0,448      | 0,079    | 1,156    | 0,038   | 0,060    | 0,070    | 1,070    | 0,202    | 0,036       | 0,200    | 7,50     | 3,30     | 1,48     | 0,092    | 5,81     | <0,01    | 5,00     | <1,0     | 0,397   |
| 11H002         | 14.4.2011  | 11:55 | 0,620   | 0,286                    | 1,41                     | 0,046                    | 1,58                     | 2,30       | 0,537    | 0,709    | 0,971   | 0,108    | 0,085    | 0,893    | 0,823    | <0,018      | 0,765    | 2,88     | 4,56     | 1,96     | 0,088    | 10,4     | <0,01    | 3,61     | 34,3     | 0,204   |
| 11H005         | 7.7.2011   | 12:10 | 0,865   | 0,584                    | 1,13                     | 0,051                    | 1,15                     | 0,92       | 0,808    | 0,138    | 1,96    | 0,031    | 0,055    | 1,655    | 0,358    | <0,018      | 0,154    | 3,40     | 3,71     | 1,62     | 0,070    | <3,06    | <0,01    | 5,23     | 16,5     | 0,239   |
| 11H008         | 7.10.2011  | 11:10 | 0,917   | 0,766                    | 1,24                     | 0,043                    | 1,20                     | 1,43       | 0,612    | 0,081    | 1,89    | 0,066    | 0,058    | 1,062    | 0,320    | <0,018      | 0,283    | 3,69     | 26,3     | 2,42     | 0,068    | 3,58     | <0,01    | 5,25     | 8,02     | 0,277   |
| 11H011         | 22.11.2011 | 11:40 | 0,859   | 0,566                    | 2,62                     | 0,076                    | 1,72                     | 2,99       | 0,445    | 0,125    | 0,934   | 0,108    | 0,071    | 1,33     | 0,425    | <0,018      | 0,529    | 2,10     | 3,16     | 2,01     | 0,053    | 3,24     | <0,01    | 5,024    | 6,29     | 0,243   |
| 12H002         | 20.3.2012  | 11:10 | 0,959   | 0,657                    | 2,28                     | 0,096                    | 0,939                    | 3,15       | 0,719    | 0,711    | 1,110   | 0,129    | 0,104    | 0,675    | 0,585    | <0,018      | 0,589    | 4,12     | 3,76     | 2,57     | <0,048   | 6,30     | <0,01    | 4,39     | 53,68    | 0,277   |
| 12H005         | 4.6.2012   | 14:15 | 0,655   | 0,511                    | 1,33                     | 0,104                    | 0,161                    | 2,57       | 1,041    | 0,521    | 0,778   | 0,034    | 0,060    | 1,152    | 0,414    | <0,018      | 0,280    | 3,25     | 3,45     | 1,87     | <0,048   | 3,30     | <0,01    | 3,18     | 55,56    | 0,206   |
| 12H008         | 21.8.2012  | 11:10 | 0,613   | 0,468                    | 1,78                     | 0,049                    | 0,547                    | 3,09       | 0,675    | 0,039    | 0,640   | 0,022    | 0,038    | 0,938    | 0,150    | <0,018      | 0,126    | 1,77     | 2,36     | 2,61     | <0,048   | <3,06    | <0,01    | 2,91     | 3,7      | 0,214   |
| 12H011         | 20.11.2012 | 10:15 | 1,078   | 0,604                    | 2,515                    | 0,088                    | 1,078                    | 2,77       | 0,41     | 0,122    | 1,073   | 0,050    | 0,089    | 0,886    | 0,281    | <0,018      | 0,173    | 5,77     | 2,14     | <0,852   | 0,055    | <3,06    | <0,01    | 5,00     | 9        | 0,369   |
| 13H001         | 26.2.2013  | 12:20 | 0,617   | 0,619                    | 2,251                    | <0,04                    | 0,233                    | 4,03       | 0,49     | 0,552    | 0,602   | 0,082    | 0,047    | 0,830    | 0,154    | <0,018      | 0,463    | 2,79     | 5,59     | 1,545    | 0,123    | 4,51     | <0,01    | 2,97     | 37       | 0,190   |
| 13H004         | 29.4.2013  | 11:30 | 1,056   | 1,065                    | 0,222                    | <0,04                    | 0,348                    | 1,55       | 1,356    | 1,067    | 1,03    | 0,061    | 0,070    | 1,668    | 0,564    | <0,018      | 0,485    | 6,62     | 5,04     | 1,19     | 0,090    | 4,17     | <0,01    | 5,98     | 112,6    | 0,397   |
| 13H008         | 19.6.2013  | 11:15 | 0,778   | 0,733                    | 0,84                     | 0,040                    | 0,135                    | 2,75       | 1,783    | 1,026    | 0,92    | 0,067    | 0,058    | 1,762    | 0,593    | <0,018      | 0,531    | 4,00     | 5,60     | 1,28     | 0,091    | 7,26     | <0,01    | 4,48     | 176,1    | 0,259   |
| 13H012         | 3.10.2013  | 11:20 | 0,739   | 0,961                    | 0,58                     | <0,04                    | 0,138                    | 2,25       | 0,586    | 0,272    | 1,02    | 0,092    | 0,084    | <1,33    | 0,292    | <0,018      | 0,380    | 3,83     | 3,27     | 2,08     | 0,063    | <3,06    | <0,01    | 4,43     | 29,4     | 0,238   |
| 13H014         | 27.11.2013 | 10:30 | 0,733   | 0,809                    | 2,038                    | <0,04                    | 0,130                    | 3,30       | 0,612    | 0,713    | 1,128   | 0,093    | 0,069    | 1,064    | 0,549    | <0,018      | 0,499    | 3,35     | 5,98     | 2,67     | 0,070    | 3,24     | <0,01    | 3,26     | 56,6     | 0,228   |
| 14H005         | 12.3.2014  | 11:10 | 0,927   | 0,909                    | 2,416                    |                          | 1,160                    | 6,61       | 0,411    | 0,779    | 1,073   | 0,167    | 0,088    | 0,897    | 0,496    | <0,018      | 0,663    | 4,77     | 4,37     | <0,852   | 0,052    | 6,44     | <0,01    | 3,99     | 25,7     | 0,267   |
| 14H008         | 23.6.2014  | 11:00 | 0,636   | 0,702                    | 0,62                     |                          | <0,2                     | 9,40       | 0,619    | 0,103    | 0,761   | 0,034    | 0,055    | 1,602    | 0,325    | 0,049       | 0,360    | 2,67     | 3,966    | 1,576    | 0,056    | 5,1      | <0,01    | 4,28     | 15,2     | 0,232   |
| 14H015         | 14.8.2014  | 10:50 | 0,639   | 0,652                    | 0,79                     | 0,044                    | 0,484                    | 1,27       | 0,763    | 0,245    | 0,63    | 0,041    | 0,039    | 1,074    | 0,197    | <0,018      | 0,241    | 2,40     | 3,10     | 1,84     | <0,048   | 3,930    | <0,01    | 3,98     | 36,8     | 0,214   |
| 14H024         | 6.11.2014  | 11:00 | 0,943   | 0,911                    | 1,71                     | 0,053                    | <0,2                     | 2,33       | 0,397    | 0,127    | 0,72    | 0,082    | 0,075    | 0,761    | 0,281    | 0,020905613 | 0,368    | 4,87     | 2,52     | 1,58     | 0,061    | 12,586   | <0,01    | 5,47     | 10,1     | 0,308   |

## Þjórsá við Urriðafoss



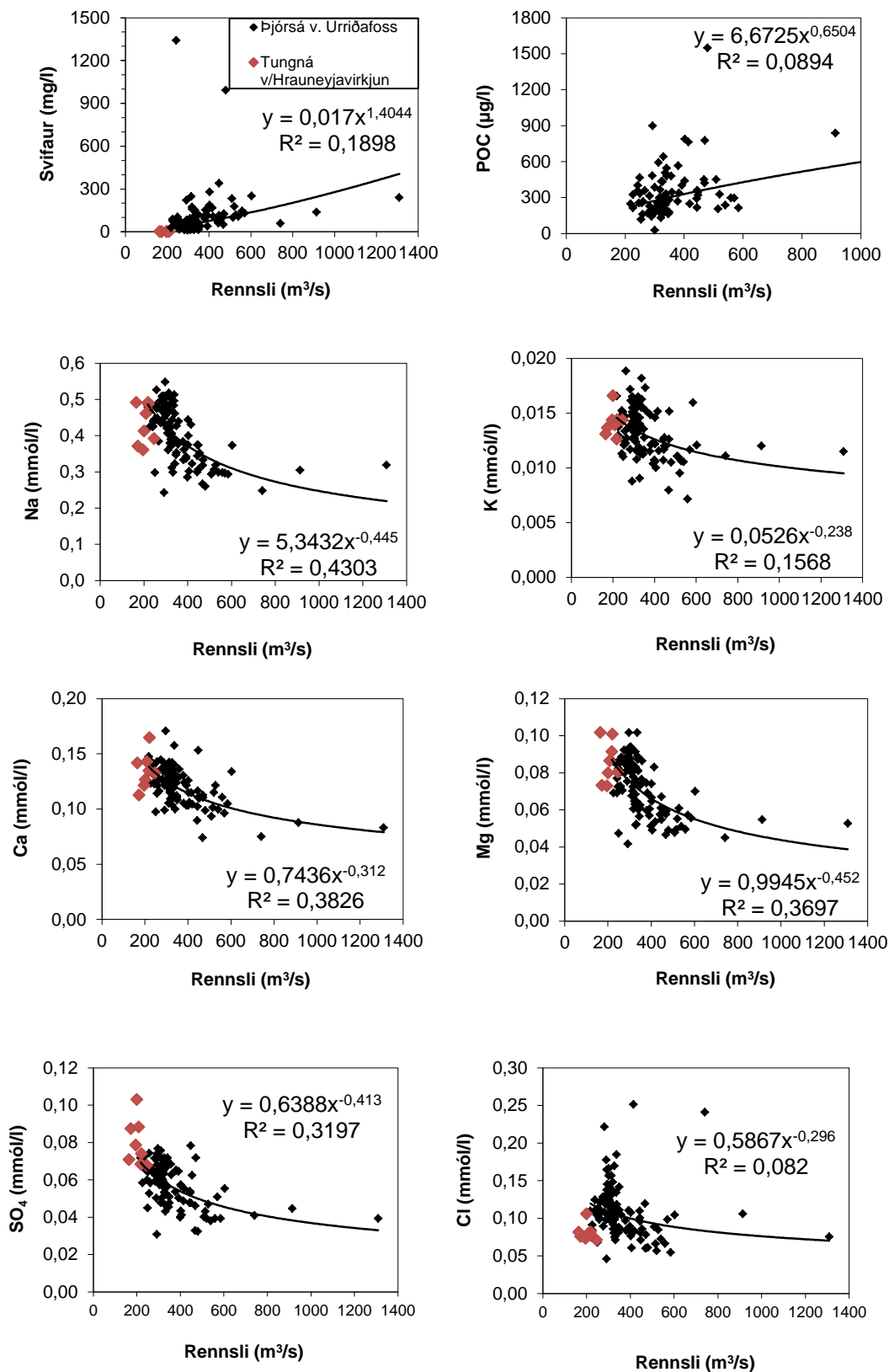
Mynd 12. Styrkur efna í tímaröð í Þjórsá við Urriðafoss 1996 – 2014: Svifaur, uppleyst aðalefni og næringarefni.

### Þjorsá við Urriðafoss



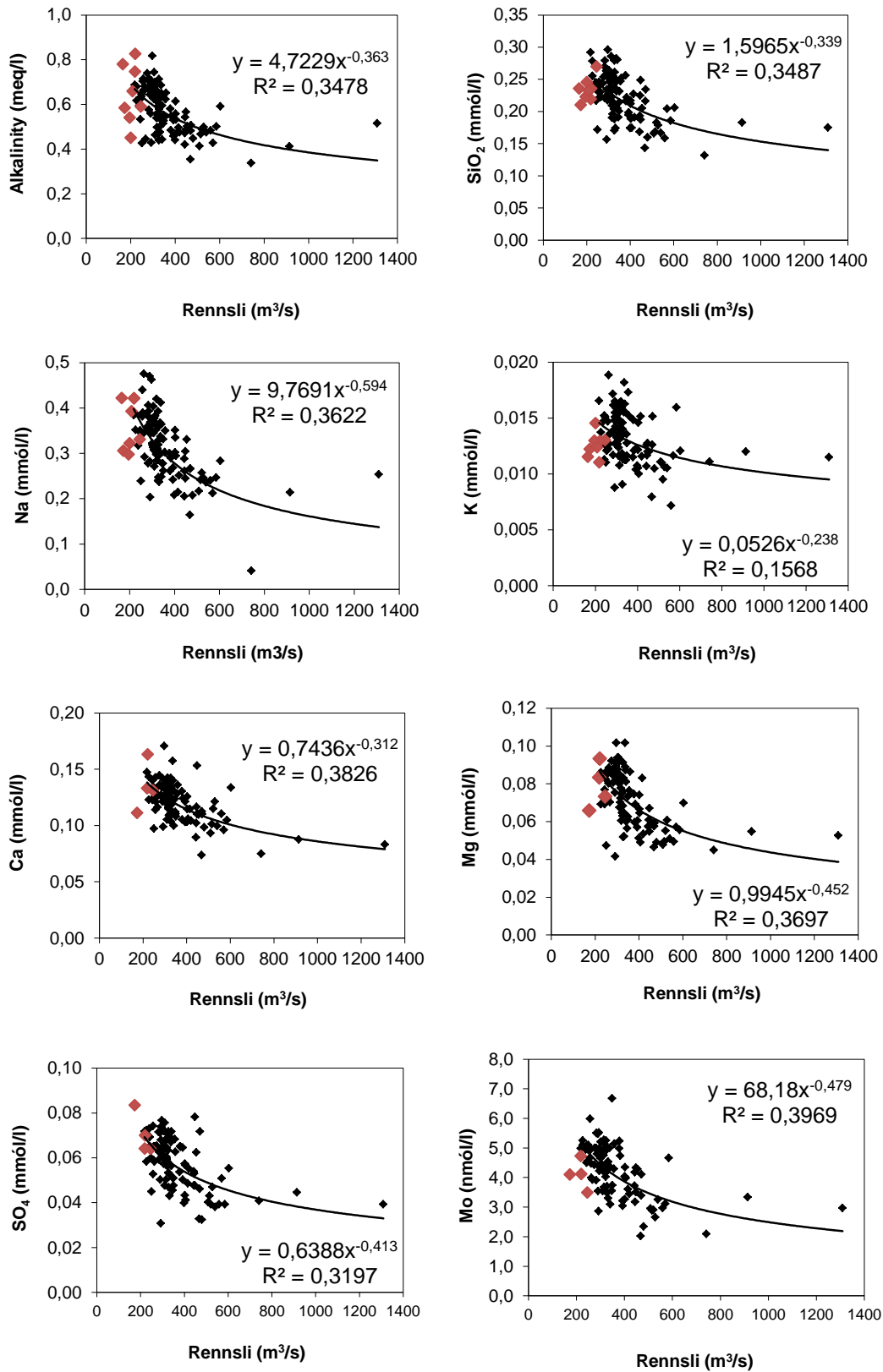
Mynd 13. Styrkur efna í tímaröð í Þjorsá við Urriðafoss 1996 – 2014: Snefilefni.

### Þjórsá við Urriðafoss



Mynd 14. Samband rennslis og efnastyrks í Þjórsá við Urriðafoss 1996 – 2014: svifaur og uppleyst aðalefni.

**Þjórsá við Urriðafoss**  
Bergættuð efni (gögn leiðrétt fyrir úrkomu)



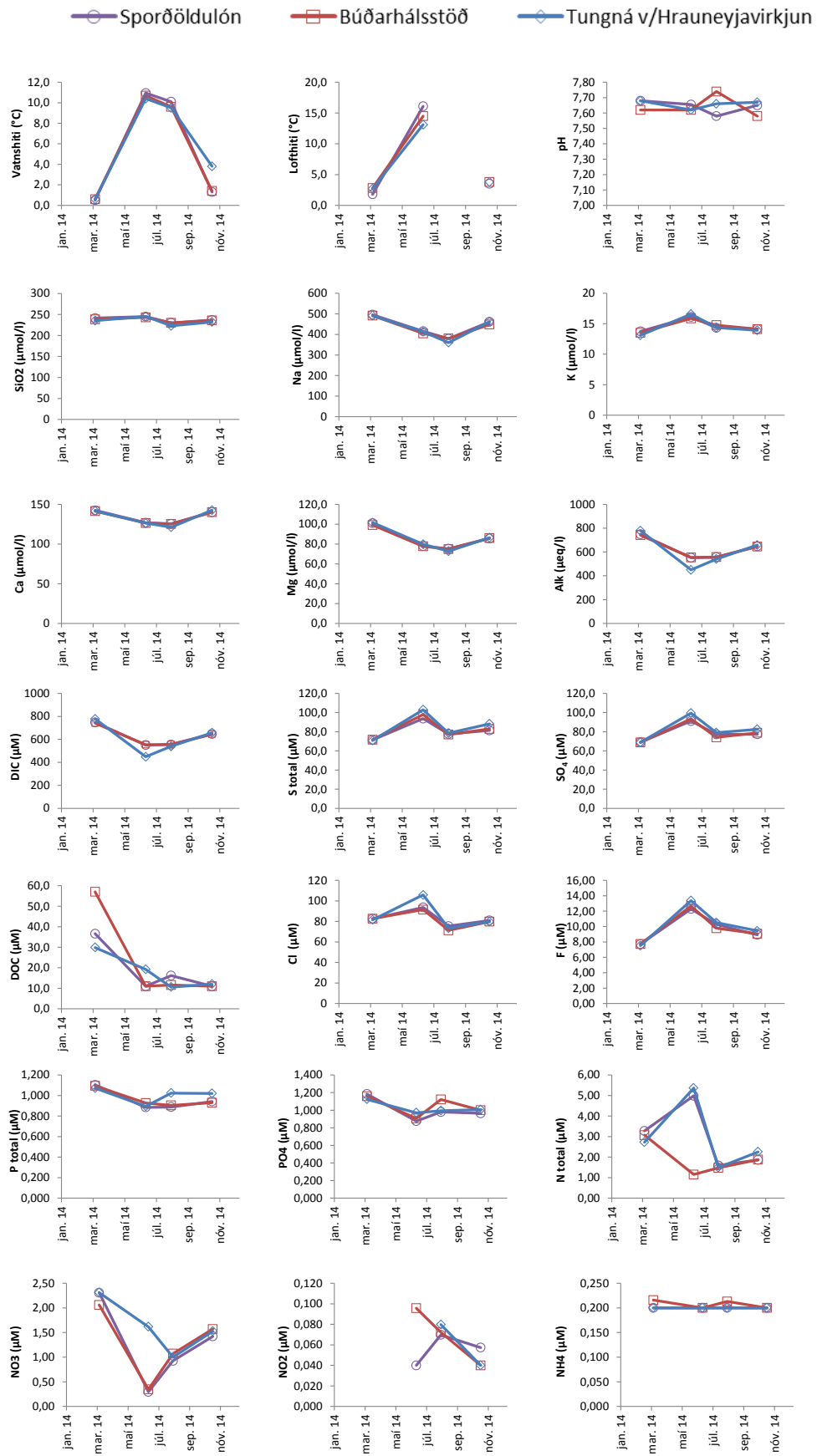
Mynd 15. Samband rennslis og efnastyrks í Þjórsá við Urriðafoss 1996 – 2014: bergættuð efni (leiðrétt fyrir úrkomu).



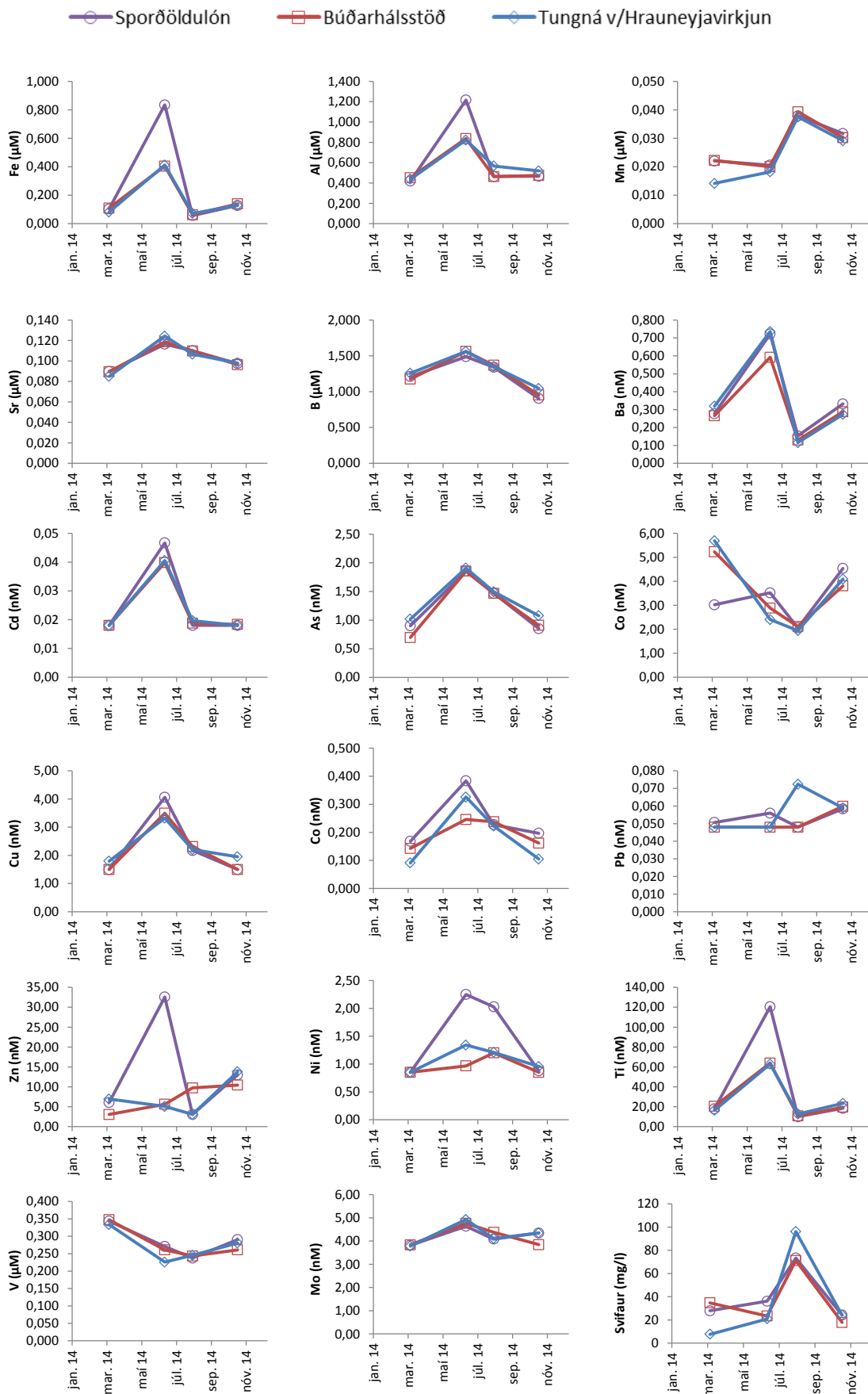
Efri mynd: Söfnunarstaðurinn þar sem vatni úr Sporðöldulóni við inntak Búðarhálsvirkjunar er safnað. Þetta er vatn sem er að mestu ættað úr Tugná, úr affalli Hrauneyjafossvirkjunar, og hefur dvalið í Sporðöldulóni. Neðri mynd: Söfnunarstaður á vatni í útfalli Búðarhálsstöðvar.

Tafla 7. Efnasamsetning, rennsli og aurburður Tungnár í útfalli Hrauneyjafossvirkjunar 2012-2014 og Sporðöldulóni og útfalli við Búðahálsstöð 2014.

| Sýna númer | Staðsetning                        | Dagsetning | kl.   | Rennsli m <sup>3</sup> /sek | Vatns-hiti °C         | Loft-hiti °C          | pH                    | T °C (pH/leiðni)      | Leiðni µS/sm | SiO <sub>2</sub> µM | Na µM | K µM  | Ca µM | Mg µM | Alk (a) µeq/kg | DIC µM | S <sub>total</sub> µM | SO <sub>4</sub> µM | Cl µM | F µM  | Hleðslu-jafnvægi | % skekkja | TDS mg/l | TDS2 mg/kg | DOC mmól/l | POC µg/kg | PON µg/kg | C/N mól | Svifaur mg/l |
|------------|------------------------------------|------------|-------|-----------------------------|-----------------------|-----------------------|-----------------------|-----------------------|--------------|---------------------|-------|-------|-------|-------|----------------|--------|-----------------------|--------------------|-------|-------|------------------|-----------|----------|------------|------------|-----------|-----------|---------|--------------|
| 12H009     | Tungná v/Hrauneyjavirkjun          | 21.8.2012  | 13:20 | 246                         | 10,9                  | 15,7                  | 7,8                   | 21,8                  | 85,2         | 270                 | 392   | 14    | 132   | 80,2  | 590            | 589    | 67,7                  | 67,4               | 71    | 8,08  | 0,03             | 1,67      | 62,00    | 76         | 23         | 180       | 21        | 10      | 65           |
| 12H012     | Tungná v/Hrauneyjavirkjun          | 20.11.2012 | 12:45 | 221                         | 0,7                   | -4,2                  | 7,73                  | 20,1                  | 96,3         | 236                 | 487   | 14    | 165   | 100,8 | 826            | 825    | 73,9                  | 65,1               | 77    | 6,88  | 0,01             | 0,36      | 65,00    | 95         | 15         |           |           |         | 29           |
| 13H005     | Tungná v/Hrauneyjavirkjun          | 29.4.2013  | 13:30 | 219                         | 1,7                   | 2,5                   | 7,71                  | 21,0                  | 73,6         | 219                 | 492   | 13    | 134   | 91,3  | 747            | 746    | 68,3                  | 70,4               | 82    | 8,11  | 0,02             | 1,13      | 66,00    | 87         | <11        |           |           |         | 92           |
| 13H009     | Tungná v/Hrauneyjavirkjun          | 19.6.2013  | 13:45 | 173                         | 8,9                   | 12,7                  | 7,62                  | 19,6                  | 68,9         | 210                 | 371   | 14    | 113   | 73,2  | 584            | 583    | 87,3                  | 92,1               | 76    | 11,13 | 0,10             | 6,14      | 61,00    | 74         | <11        |           |           |         | 19           |
| 14H001     | Tungná v/Hrauneyjavirkjun          | 11.3.2014  | 11:40 | 165                         | 0,6                   | 2,7                   | 7,68                  | 21,2                  | 118,9        | 235                 | 492   | 13    | 142   | 101,6 | 779            | 778    | 70,8                  | 68,8               | 82    | 7,52  | 0,01             | 0,74      | 68,00    | 90         | 30         |           |           |         | 8            |
| 14H009     | Tungná v/Hrauneyjavirkjun          | 23.6.2014  | 13:00 | 201                         | 10,4                  | 13,1                  | 7,62                  | 21,6                  | 69,2         | 245                 | 413   | 17    | 127   | 79,8  | 450            | 449    | 102,9                 | 99,5               | 106   | 13,37 | 0,07             | 4,61      | 54,00    | 72         | 19         |           |           |         | 21           |
| 14H016     | Tungná v/Hrauneyjavirkjun          | 14.8.2014  | 13:00 | 196                         | 9,5                   |                       | 7,66                  | 19,8                  | 63           | 223                 | 360   | 14    | 121   | 72,8  | 541            | 540    | 78,6                  | 79,1               | 73    | 10,52 | 0,02             | 1,28      | 59,00    | 71         | 11         |           |           |         | 96           |
| 14H025     | Tungná v/Hrauneyjavirkjun          | 6.11.2014  | 13:15 | 209                         | 3,8                   | 3,8                   | 7,67                  | 21,6                  | 71,1         | 232                 | 461   | 14    | 143   | 86,4  | 659            | 658    | 88,3                  | 82,6               | 80    | 9,45  | 0,02             | 1,09      | 68,00    | 84         | 12         |           |           |         | 24           |
| 14H002     | Sporðöldulón v. Inntak virkjunar   | 11.3.2014  | 14:30 |                             | 0,5                   | 1,8                   | 7,68                  | 21,3                  | 100,2        | 241                 | 496   | 14    | 142   | 101,2 | 749            | 748    | 71,4                  | 69,1               | 83    | 7,71  | 0,02             | 1,00      | 73,00    | 89         | 37         |           |           |         | 28           |
| 14H010a    | Sporðöldulón v. inntak virkjunar N | 23.6.2014  | 14:15 |                             | 11,0                  | 16,1                  | 7,64                  | 21,9                  |              | 244                 | 419   | 16    | 127   | 77,8  | 555            | 554    | 91,4                  | 89,4               | 95    | 12,0  | 0,00             | 0,20      | 60,00    | 77         | 11         |           |           |         | 31           |
| 14H010b    | Sporðöldulón v. inntak virkjunar S | 23.6.2014  | 14:30 |                             | 10,9                  | 16,1                  | 7,67                  | 22,0                  | 68,1         | 246                 | 412   | 16    | 127   | 78,2  | 549            | 548    | 96,1                  | 93,0               | 92    | 12,5  | 0,00             | 0,03      | 38,00    | 77         | <11        |           |           |         | 41           |
| 14H017     | Sporðöldulón v. inntak virkjunar   | 14.8.2014  | 14:20 |                             | 10,1                  |                       | 7,58                  | 20,0                  | 63,7         | 230                 | 379   | 14    | 126   | 75,3  | 556            | 555    | 77,7                  | 77,2               | 75    | 10,3  | 0,00             | 0,10      | 66,00    | 73         | 16         |           |           |         | 73           |
| 14H026     | Sporðöldulón v. inntak virkjunar   | 6.11.2014  | 14:30 |                             | 1,3                   | 3,5                   | 7,65                  | 21,5                  | 71,5         | 237                 | 461   | 14    | 140   | 85,6  | 649            | 648    | 81,4                  | 77,3               | 81    | 8,93  | 0,03             | 1,85      | 69,00    | 83         | <11        |           |           |         | 24           |
| 14H003     | Búðarhálsstöð útfall               | 11.3.2014  | 15:05 |                             | 0,6                   | 2,8                   | 7,62                  | 21,4                  | 99,6         | 238                 | 492   | 14    | 141   | 99,2  | 742            | 741    | 71,7                  | 68,8               | 83    | 7,73  | 0,02             | 0,83      | 65,00    | 89         | 57         |           |           |         | 35           |
| 14H011     | Búðarhálsstöð útfall               | 23.6.2014  | 15:30 |                             | 10,7                  | 14,5                  | 7,62                  | 22,0                  | 68,9         | 243                 | 405   | 16    | 127   | 77,8  | 554            | 553    | 97,9                  | 93,4               | 92    | 12,66 | 0,02             | 0,95      | 64,00    | 77         | <11        |           |           |         | 23           |
| 14H018     | Búðarhálsstöð útfall               | 14.8.2014  | 15:25 |                             | 9,6                   |                       | 7,74                  | 20,5                  | 64,2         | 230                 | 380   | 15    | 125   | 74,9  | 557            | 556    | 77,0                  | 74,0               | 71    | 9,78  | 0,01             | 0,56      | 62,00    | 73         | 12         |           |           |         | 71           |
| 14H027     | Búðarhálsstöð útfall               | 6.11.2014  | 15:15 | 251                         | 1,4                   | 3,8                   | 7,58                  | 21,5                  | 71,6         | 236                 | 448   | 14    | 140   | 86,0  | 645            | 645    | 83,0                  | 78,9               | 80    | 9,07  | 0,02             | 1,24      | 67,00    | 82         | <11        |           |           |         | 18           |
| Sýna mg/l  | Staðsetning númer                  | Dagsetning | kl.   | P                           | PO <sub>4</sub> -P µM | NO <sub>3</sub> -N µM | NO <sub>2</sub> -N µM | NH <sub>4</sub> -N µM | Ntot µM      | Al µM               | Fe µM | B µM  | Mn µM | Sr µM | As µM          | Ba µM  | Cd nM                 | Co nM              | Cr nM | Cu nM | Ni nM            | Pb nM     | Zn nM    | Hg nM      | Mo nM      | Ti nM     | V nM      |         |              |
| 12H009     | Tungná v/Hrauneyjavirkjun          | 21.8.2012  | 13:20 | 0,943                       | 0,357                 | 1,107                 | 0,096                 | 0,189                 | 2,48         | 0,767               | 0,120 | 1,10  | 0,019 | 0,096 | 1,41           | 0,215  | <0,018                | 0,088              | 2,1   | 2,41  | 2,33             | <0,048    | <3,06    | <0,01      | 3,49       | 18,9      | 0,273     |         |              |
| 12H012     | Tungná v/Hrauneyjavirkjun          | 20.11.2012 | 12:45 | 0,952                       | 0,494                 | 1,76                  | 0,062                 | 0,639                 | 2,01         | 0,567               | 0,161 | 1,07  | 0,012 | 0,081 | <0,67          | 0,166  | <0,018                | <0,097             | 6,00  | 2,14  | 0,97             | 0,055     | 3,18     | <0,01      | 4,12       | 25,5      | 0,342     |         |              |
| 13H005     | Tungná v/Hrauneyjavirkjun          | 28.4.2013  | 13:30 | 1,120                       | 1,219                 | 0,90                  | <0,04                 | 0,109                 | 2,47         | 0,74                | 0,28  | 1,22  | 0,009 | 0,081 | 1,257          | 0,288  | <0,018                | 0,126              | 6,12  | 2,79  | <0,852           | 0,080     | 3,88     | <0,01      | 4,72       | 46,4      | 0,373     |         |              |
| 13H009     | Tungná v/Hrauneyjavirkjun          | 19.6.2013  | 13:45 | 0,836                       | 0,962                 | 1,33                  | <0,04                 | 0,265                 | 2,24         | 0,804               | 0,33  | 1,62  | 0,027 | 0,103 | 1,842          | 0,601  | <0,018                | 0,119              | 2,73  | 2,44  | <0,852           | 0,082     | 4,86     | <0,01      | 4,10       | 52,4      | 0,218     |         |              |
| 14H001     | Tungná v/Hrauneyjavirkjun          | 11.3.2014  | 11:40 | 1,072                       | 1,123                 | 2,310                 |                       | <0,2                  | 2,72         | 0,437               | 0,082 | 1,26  | 0,014 | 0,085 | 1,02           | 0,319  | <0,018                | 0,091              | 5,69  | 1,79  | <0,852           | <0,048    | 6,94     | <0,01      | 3,78       | 16,5      | 0,334     |         |              |
| 14H009     | Tungná v/Hrauneyjavirkjun          | 23.6.2014  | 13:00 | 0,894                       | 0,970                 | 1,616                 |                       | <0,2                  | 5,37         | 0,823               | 0,412 | 1,56  | 0,018 | 0,124 | 1,91           | 0,735  | 0,041                 | 0,326              | 2,40  | 3,32  | 1,34             | <0,048    | 5,08     | <0,01      | 4,93       | 62,9      | 0,226     |         |              |
| 14H016     | Tungná v/Hrauneyjavirkjun          | 14.8.2014  | 13:00 | 1,023                       | 0,995                 | 1,00                  | 0,080                 | <0,2                  | 1,49         | 0,567               | 0,072 | 1,35  | 0,037 | 0,107 | 1,49           | 0,116  | 0,020                 | 0,222              | 1,94  | 2,20  | 1,21             | 0,072     | <3,06    | <0,01      | 4,11       | 12,7      | 0,245     |         |              |
| 14H025     | Tungná v/Hrauneyjavirkjun          | 6.11.2014  | 13:15 | 1,020                       | 1,005                 | 1,526                 | <0,04                 | <0,2                  | 2,25         | 0,519               | 0,129 | 1,05  | 0,029 | 0,098 | 1,08           | 0,273  | <0,018                | 0,105              | 4,10  | 1,95  | 0,96             | 0,059     | 13,8     | <0,01      | 4,35       | 23,4      | 0,281     |         |              |
| 14H002     | Sporðöldulón v. Inntak virkjunar   | 11.3.2014  | 14:30 | 1,104                       | 1,184                 | 2,31                  |                       | <0,2                  | 3,28         | 0,419               | 0,104 | 1,21  | 0,022 | 0,090 | 0,90           | 0,277  | <0,018                | 0,168              | 3,02  | <1,5  | <0,852           | 0,051     | 6,06     | <0,01      | 3,81       | 17,9      | 0,344     |         |              |
| 14H010a    | Sporðöldulón v. inntak virkjunar N | 23.6.2014  | 14:15 | 0,885                       | 0,876                 | 0,295                 |                       | <0,2                  | 4,99         | 1,216               | 0,834 | 1,49  | 0,021 | 0,116 | 1,86           | 0,722  | 0,047                 | 0,383              | 3,52  | 4,06  | 2,25             | 0,056     | 32,57    | <0,01      | 4,64       | 120,5     | 0,271     |         |              |
| 14H010b    | Sporðöldulón v. inntak virkjunar S | 23.6.2014  | 14:30 | 0,927                       | 0,918                 | 0,42                  |                       | 0,251                 | 0,82         | 0,649               | 0,263 | 1,62  | 0,018 | 0,120 | 1,66           | 0,614  | 0,031                 | 0,222              | 2,92  | 3,60  | 1,21             | <0,048    | 4,47     | <0,01      | 4,71       | 35,3      | 0,257     |         |              |
| 14H017     | Sporðöldulón v. inntak virkjunar   | 14.8.2014  | 14:20 | 0,888                       | 0,980                 | 0,93                  | 0,070                 | <0,2                  | 1,59         | 0,463               | 0,057 | 1,34  | 0,038 | 0,110 | 1,47           | 0,153  | <0,018                | 0,227              | 2,06  | 2,17  | 2,03             | <0,048    | <3,06    | <0,01      | 4,09       | 9,96      | 0,238     |         |              |
| 14H026     | Sporðöldulón v. inntak virkjunar   | 6.11.2014  | 14:30 | 0,943                       | 0,964                 | 1,422                 | 0,057                 | <0,2                  | 1,87         | 0,467               | 0,128 | 0,906 | 0,032 | 0,097 | 0,852          | 0,332  | <0,018                | 0,197              | 4,54  | <1,5  | 0,88             | 0,058     | 13,0     | <0,01      | 4,35       | 18,4      | 0,291     |         |              |
| 14H003     | Búðarhálsstöð útfall               | 11.3.2014  | 15:05 | 1,094                       | 1,159                 | 2,06                  |                       | 0,216                 | 3,07         | 0,452               | 0,110 | 1,17  | 0,022 | 0,089 | 0,70           | 0,266  | <0,018                | 0,143              | 5,23  | <1,5  | <0,852           | <0,048    | <3,06    | <0,01      | 3,84       | 20,4      | 0,347     |         |              |
| 14H011     | Búðarhálsstöð útfall               | 23.6.2014  | 15:30 | 0,927                       | 0,906                 | 0,346                 | 0,096                 | <0,2                  | 1,15         | 0,838               | 0,405 | 1,56  | 0,020 | 0,119 | 1,86           | 0,592  | 0,040                 | 0,246              | 2,88  | 3,49  | 0,97             | <0,048    | 5,63     | <0,01      | 4,76       | 63,9      | 0,261     |         |              |
| 14H018     | Búðarhálsstöð útfall               | 14.8.2014  | 15:25 | 0,904                       | 1,122                 | 1,07                  | 0,072                 | 0,213                 | 1,48         | 0,463               | 0,063 | 1,37  | 0,039 | 0,110 | 1,47           | 0,130  | 0,019                 | 0,238              | 2,12  | 2,31  | 1,20             | <0,048    | 9,7      | 0,021      | 4,38       | 10,8      | 0,243     |         |              |
| 14H027     | Búðarhálsstöð útfall               | 6.11.2014  | 15:15 | 0,930                       | 0,999                 | 1,571                 | <0,04                 | <0,2                  | 1,88         | 0,474               | 0,139 | 0,953 | 0,030 | 0,096 | 0,910          | 0,288  | 0,018                 | 0,162              | 3,81  | <1,5  | <0,852           | 0,060     | 10,4     | <0,01      | 3,85       | 19,5      | 0,261     |         |              |



Mynd 16. Tímaráðir mældra þátta í Tungná við Hrauneyjafossvirkjun, Sporðöldulón við inntak og Búðarhálsstöð í útfalli.



Mynd 17. Tímaraðir mældra þátta í Tungná við Hrauneyjafossvirkjun, Sporðöldulón við inntak og Búðarhálsstöð í útfalli.

Tafla 8. Næmi efnagreiningaraðferða og hlutfallsleg skekkja mælinga.

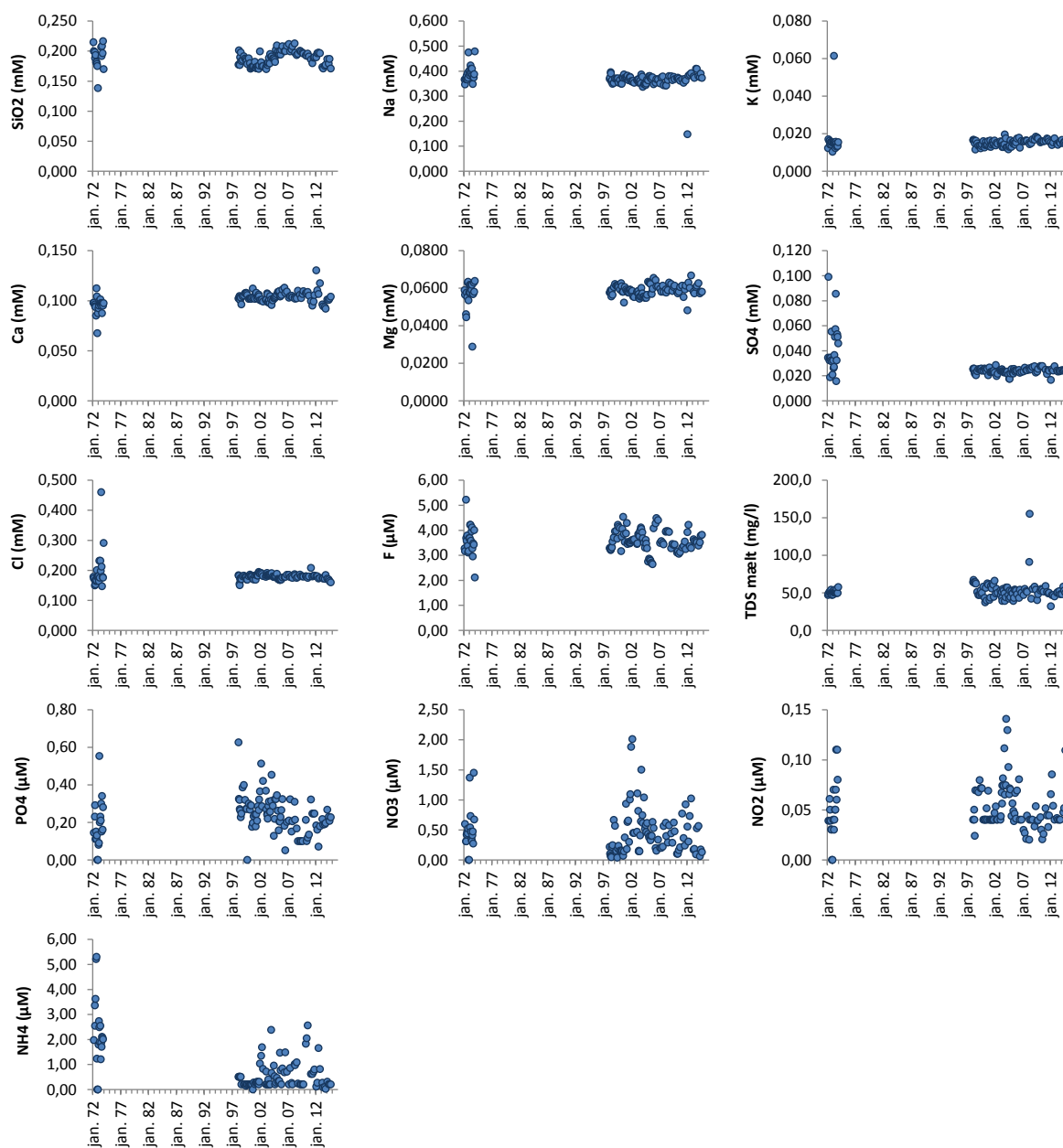
| Efni                            | Næmi<br>µmól/l | Skekkja<br>hlutfallsleg skekkja                        | Staðal<br>frávik | ICP-<br>SFMS | ICP-<br>AES | AFS        | IC        | AA        | Raf-<br>skaut | Títurun        | Auto<br>analyser |
|---------------------------------|----------------|--|------------------|--------------|-------------|------------|-----------|-----------|---------------|----------------|------------------|
| Leiðni                          |                | ± 1.0  |                  |              |             |            |           |           |               |                |                  |
| T°C                             |                | ± 0,1  |                  |              |             |            |           |           |               |                |                  |
| pH                              |                | ± 0,05   |                  |              |             |            |           |           | x             |                |                  |
| SiO <sub>2</sub> ICP-AES (RH)   | 1,66           | 2,00%  | 1,8              |              |             |            |           |           |               |                |                  |
| SiO <sub>2</sub> ICP-AES (SGAB) | 1              | 4%   |                  |              | x           |            |           |           |               |                |                  |
| Na ICP-AES (RH)                 | 0,435          | 3,30%  | 2,8              |              |             |            |           |           |               |                |                  |
| Na ICP-AES (SGAB)               | 4,35           | 4%   |                  |              | x           |            |           |           |               |                |                  |
| K Jónaskilja (RH)               | 1,28           | 3%   |                  |              |             |            |           |           |               |                |                  |
| K ICP-AES (RH)                  | 12,8           |  |                  |              |             |            |           |           |               |                |                  |
| K ICP-AES (SGAB)                | 10,2           | 4%   |                  |              | x           |            |           |           |               |                |                  |
| K AA                            | 1,1            | 4%   |                  |              |             |            |           |           |               |                |                  |
| Ca ICP-AES (RH)                 | 0,025          | 2,60%  | 1,6              |              |             |            |           |           |               |                |                  |
| Ca ICP-AES (SGAB)               | 2,5            | 4%   |                  |              | x           |            |           |           |               |                |                  |
| Mg ICP-AES (RH)                 | 0,206          | 1,60%  | 1,6              |              |             |            |           |           |               |                |                  |
| Mg ICP-AES (SGAB)               | 3,7            | 4%   |                  |              | x           |            |           |           |               |                |                  |
| Alk.                            |                | 3%   |                  |              |             |            |           |           |               | x              |                  |
| CO <sub>2</sub>                 |                | 3%   |                  |              |             |            | x         |           |               |                |                  |
| SO <sub>4</sub> ICP-AES (RH)    | 10,4           | 10%  | 8,2              |              |             |            |           |           |               |                |                  |
| SO <sub>4</sub> HPCL            | 0,52           | 5%   |                  |              |             |            |           |           |               |                |                  |
| SO <sub>4</sub> ICP-AES (SGAB)  | 1,67           | 15%  |                  |              | x           |            |           |           |               |                |                  |
| Cl                              | 28,2           | 5%   |                  |              |             |            | x         |           |               |                |                  |
| F                               | 1,05           | 1,05-1,58 µmól/l ±10%<br>>1,58µmól/l ±3%               |                  |              |             |            | x         |           |               |                |                  |
| P ICP-MS (SGAB)                 | 0,032          | 3%   |                  |              | x           |            |           |           |               |                |                  |
| P-PO <sub>4</sub>               | 0,065          | 0,065-0,484 µmól/l ±1 µmól/l<br>>0,484 µmól/l ±5%      |                  |              |             |            |           |           |               |                | x                |
| N-NO <sub>2</sub>               | 0,04           | 0,040-0,214 µmól/l ±0,014 µmól/l<br>>0,214 µmól/l ±5%  |                  |              |             |            |           |           |               |                | x                |
| N-NO <sub>3</sub>               | 0,143          | 0,142-0,714 µmól/l ±0,071 µmól/l<br>>0,714 µmól/l ±10% |                  |              |             |            |           |           |               |                | x                |
| N-NH <sub>4</sub>               | 0,2            | 10%  |                  |              |             |            |           |           |               |                | x                |
| Al ICP-AES (RH)                 | 0,371          | 3,80%  | 3,2              |              |             |            |           |           |               |                |                  |
| B ICP-AES (SGAB)                | 0,925          |  |                  |              |             |            |           |           |               |                |                  |
| B ICP-MS (SGAB)                 | 0,037          |  |                  | x            |             |            |           |           |               |                |                  |
| Sr ICP-AES (RH)                 | 0,023          | 15%  |                  |              |             |            |           |           |               |                |                  |
| Sr ICP-MS (SGAB)                | 0,023          | 4%   |                  |              | x           |            |           |           |               |                |                  |
| Ti ICP-MS (SGAB)                | 0,002          | 4%   |                  |              | x           |            |           |           |               |                |                  |
| Fe ICP-AES (RH)                 | 0,358          | 12%  | 15               |              |             |            |           |           |               |                |                  |
| Fe ICP-AES (SGAB)               | 0,143          | 10%  |                  | x            |             |            |           |           |               |                |                  |
| Mn ICP-AES (RH)                 | 0,109          | 26%  | 24               |              |             |            |           |           |               |                |                  |
| Mn ICP-MS (SGAB)                | 0,546          | 8%   |                  | x            |             |            |           |           |               |                |                  |
| Al ICP-MS (SGAB)                | 7,412          | 12%  |                  | x            |             |            |           |           |               |                |                  |
| As ICP-MS (SGAB)                | 0,667          | 9%   |                  | x            |             |            |           |           |               |                |                  |
| Cr ICP-MS (SGAB)                | 0,192          | 9%   |                  | x            |             |            |           |           |               |                |                  |
| Ba ICP-MS (SGAB)                | 0,073          | 6%   |                  | x            |             |            |           |           |               |                |                  |
| Fe ICP-MS (SGAB)                | 7,162          | 4%   |                  | x            |             |            |           |           |               |                |                  |
| Co ICP-MS (SGAB)                | 0,058          | 8%   |                  | x            |             |            |           |           |               |                |                  |
| Ni ICP-MS (SGAB)                | 0,852          | 8%   |                  | x            |             |            |           |           |               |                |                  |
| Cu ICP-MS (SGAB)                | 1,574          | 8%   |                  | x            |             |            |           |           |               |                |                  |
| <b>Efni</b>                     | <b>Næmi</b>    | <b>Skekkja</b>   | <b>Staðal</b>    | <b>ICP-</b>  | <b>ICP-</b> | <b>AFS</b> | <b>IC</b> | <b>AA</b> | <b>Raf-</b>   | <b>Títurun</b> | <b>Auto</b>      |
|                                 | <b>µmól/l</b>  | <b>hlutfallsleg skekkja</b>                            | <b>frávik</b>    | <b>SFMS</b>  | <b>AES</b>  |            |           |           | <b>skaut</b>  |                | <b>analyser</b>  |
| Zn ICP-MS (SGAB)                | 3,059          | 12%  |                  | x            |             |            |           |           |               |                |                  |
| Mo ICP-MS (SGAB)                | 0,521          | 12%  |                  | x            |             |            |           |           |               |                |                  |
| Cd ICP-MS (SGAB)                | 0,018          | 9%   |                  | x            |             |            |           |           |               |                |                  |
| Hg ICP-AF (SGAB)                | 0,01           | 4%   |                  |              |             | x          |           |           |               |                |                  |
| Pb ICP-MS (SGAB)                | 0,048          | 8%   |                  | x            |             |            |           |           |               |                |                  |
| V ICP-MS (SGAB)                 | 0,098          | 5%   |                  | x            |             |            |           |           |               |                |                  |
| Th ICP-MS (SGAB)                | 0,039          |  |                  | x            |             |            |           |           |               |                |                  |
| U ICP-MS (SGAB)                 | 0,002          | 12%  |                  | x            |             |            |           |           |               |                |                  |
| Sn ICP-MS (SGAB)                | 0,421          | 10%  |                  | x            |             |            |           |           |               |                |                  |
| Sb ICP-MS (SGAB)                | 0,082          | 15%  |                  | x            |             |            |           |           |               |                |                  |

ICP-SFMS: Inductively Coupled Plasma Mass Spectrometry  
 ICP-AES: Inductively coupled plasma optical emission spectrometer  
 AFS: Atomic Fluoriscence  
 IC2000 Ion Chromatograph Dionex 2000  
 AA: Atomic adsorption

## **VIÐAUKI**

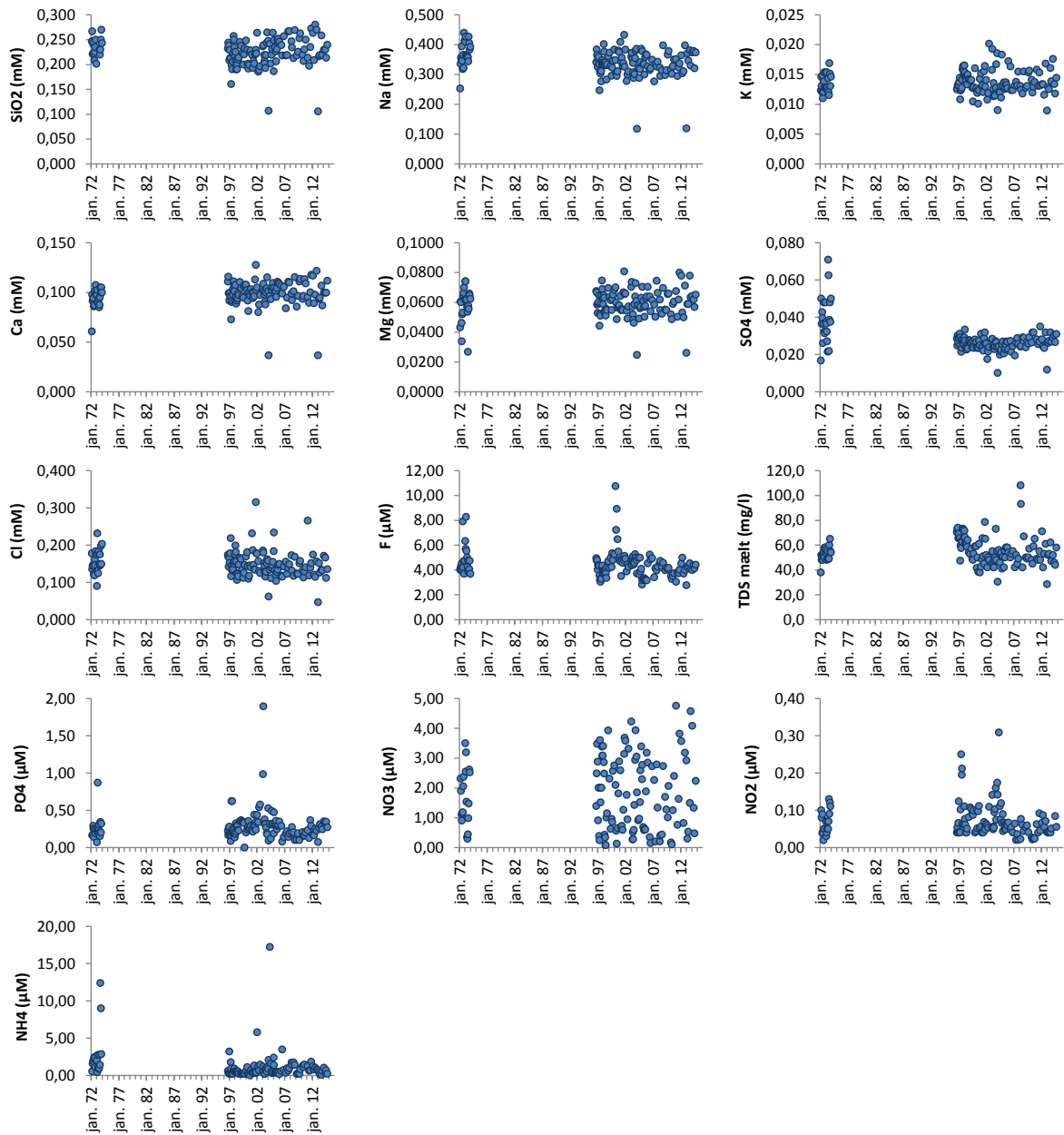
**Samanburður við eldri gögn**

## SOG VIÐ ÞRÁSTARLUND



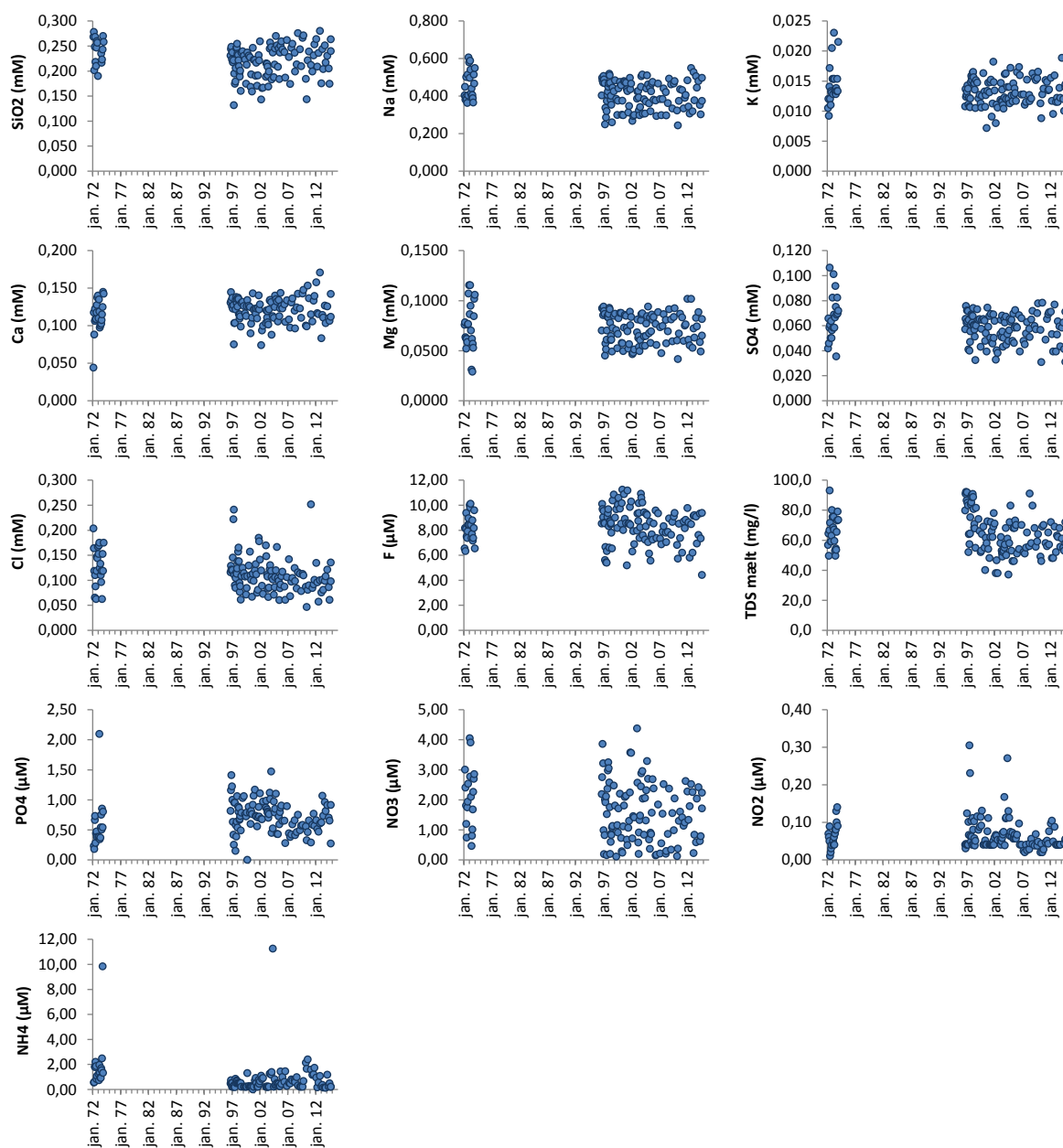
Mynd A1. Samanburður við niðurstöður mælinga á sýnum sem safnað var 1972-1973 (Sigurjón Rist, 1974)

## ÖLFUSÁ VIÐ SELFÓSS



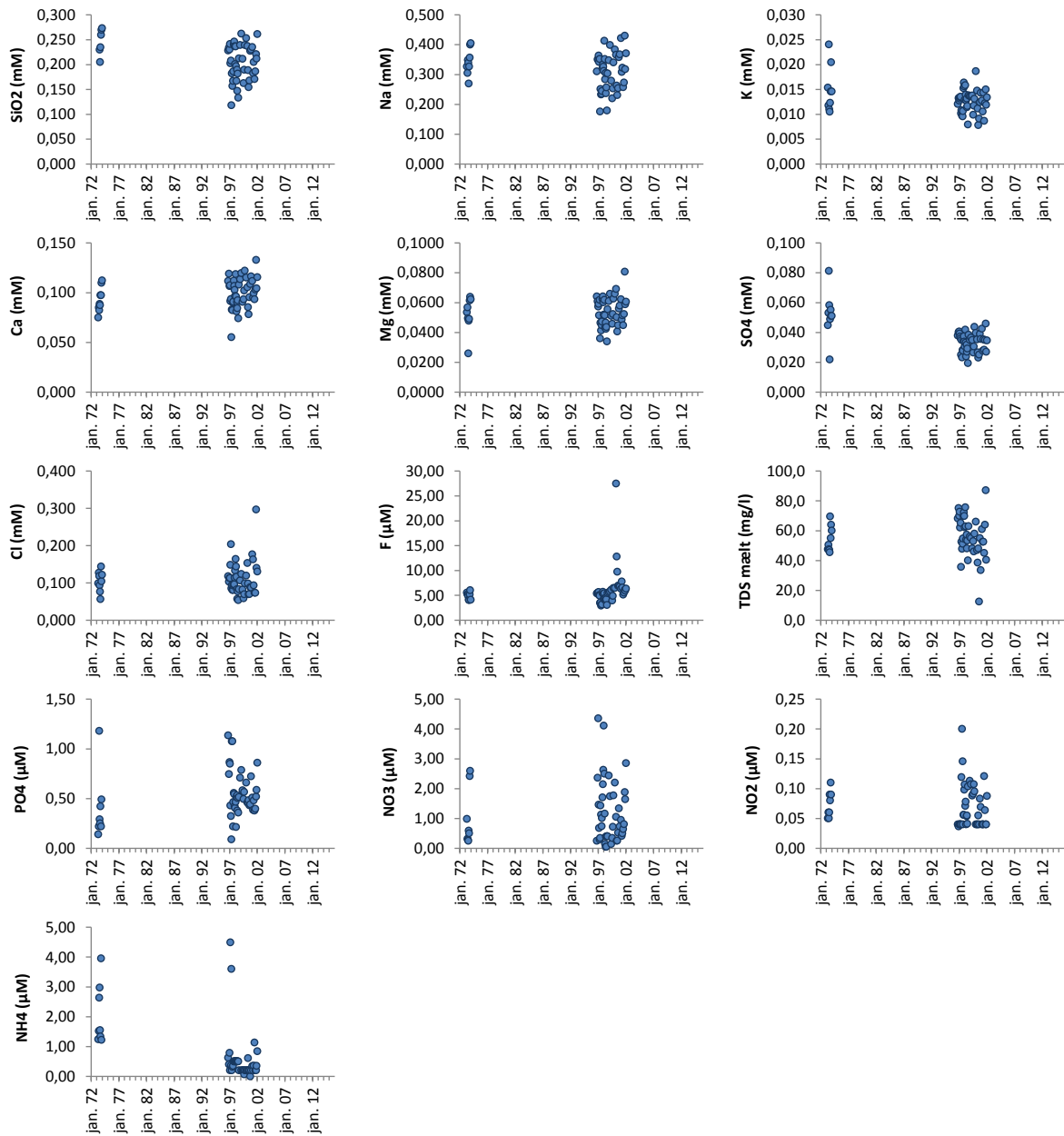
Mynd A2. Samanburður við niðurstöður mælinga á sýnum sem safnað var 1972-1973 (Sigurjón Rist, 1974)

## ÞJÓRSÁ VIÐ URRIÐAFOSS



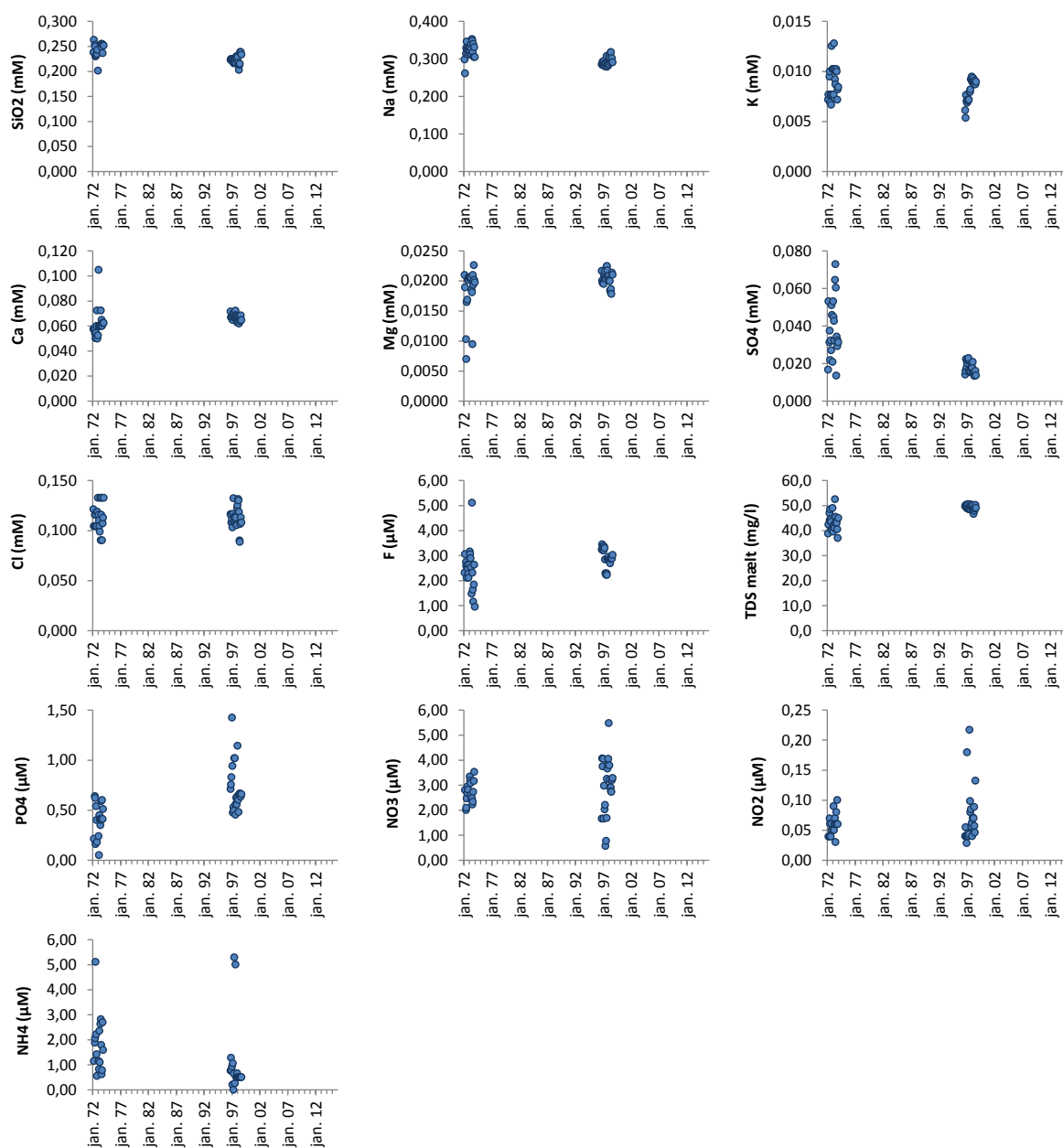
Mynd A3. Samanburður við niðurstöður mælinga á sýnum sem safnað var 1972-1973 (Sigurjón Rist, 1974)

## HVÍTÁ VIÐ BRÚARHLÖÐ



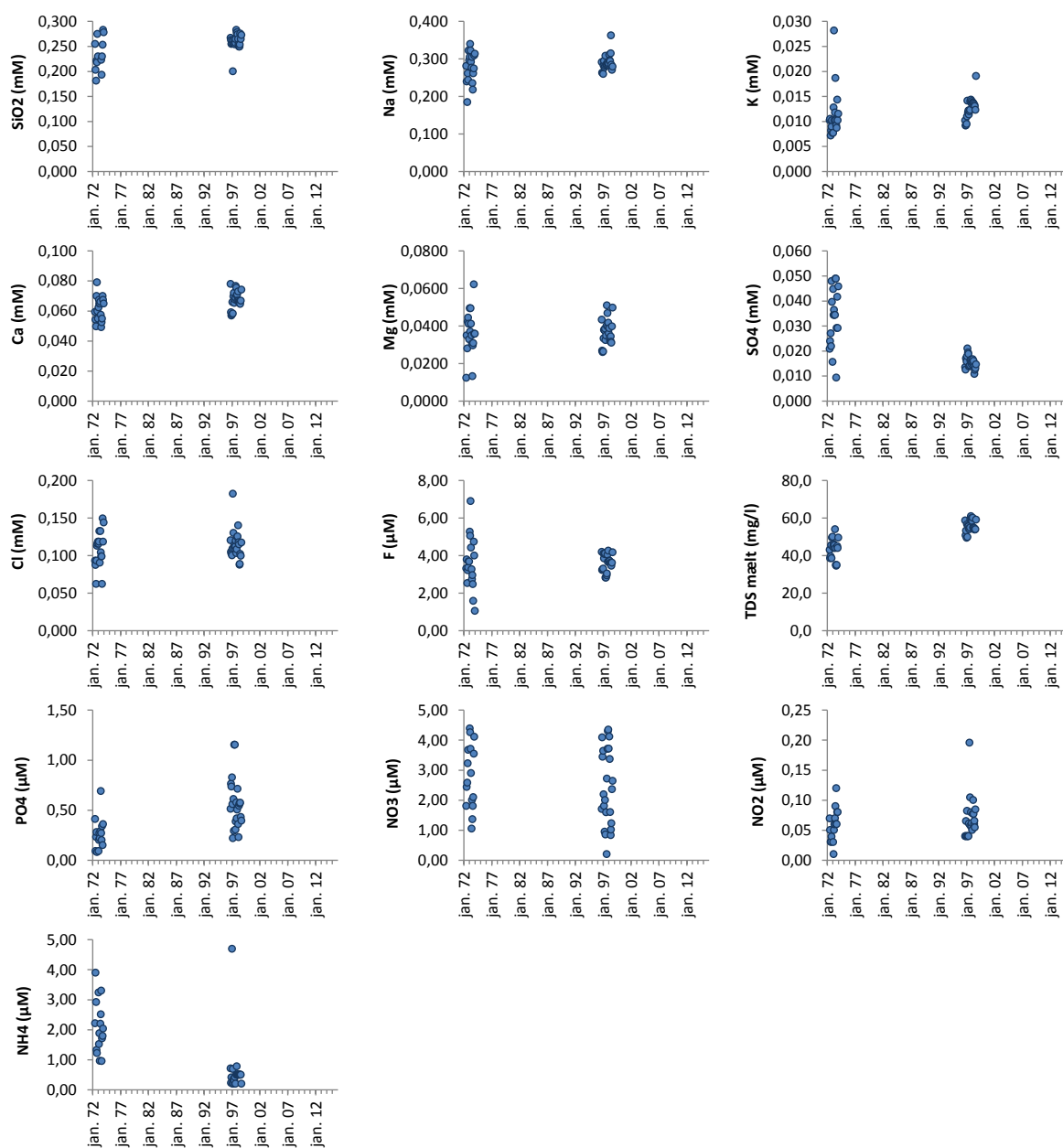
Mynd A4. Samanburður við niðurstöður mælinga á sýnum sem safnað var 1972-1973 (Sigurjón Rist, 1974)

## BRÚARÁ VIÐ EFSTADAL



Mynd A5. Samanburður við niðurstöður mælinga á sýnum sem safnað var 1972-1973 (Sigurjón Rist, 1974)

## TUNGUFLJÓT VIÐ FAXA



Mynd A6. Samanburður við niðurstöður mælinga á sýnum sem safnað var 1972-1973 (Sigurjón Rist, 1974)